АКАДЕМИЯ НАУК УЗВЕКСКОЙ ССР Физико-технический институт им.С.В.Стародубцева

На правах рукописи

ЛИПИН ВЛАДИМИР ДМИТРИЕВИЧ

ФРАГМЕНТАЦИЯ ЯДЕР НЕОНА В р²⁰Ne-взаимодетствиях при 300 гэв/с

ДИССЕРТАЦИЯ

на соискание ученой степени кандидата физико-математических наук

Специальность: 01.04.16 - физика атомного ядра и элементарных частиц

Научные руководители: доктор физикоматематических наук А.А.Юлдашев, доктор физикоматематических наук Б.С.Юлдашев

СОДЕРЖАНИЕ

ВВЕДЕНИЕ	
ГЛАВА I. Характеристики вторичных протонов и модели	4
множественного рождения частиц в адрон-ядер-	
ных взаимодействиях при высоких энергия	. 9
§ І.І. Экспериментальные данные	I
§ I.2. Модели множественного рождения частиц в	
адрон-ядерных взаимодействиях при высоких	
энергиях	I8
§ І.З. Кумулятивные протоны	24
§ I.4. Корреляции вторичных протонов	. 26
§ I.5. Заключение	29
ГЛАВА II. Методика эксперимента	30
§ 2. I. Описание пузырьковой камеры, первичного	
пучка, магнитного поля	30
§ 2.2. Правила просмотра, идентификации событий	
и сечения взаимодействий	33
§ 2.3. Определение доли квазинуклонных событий	. 37
§ 2.4. Методика измерения протонов	39
§ 2.5. Учет потерь и фона от ядер	40
§ 2.6. Полуавтоматическая система обработки сним-	
ков с пузырьковых камер	42
§ 2.6. I. Просмотрово-измерительное оборудование	- 45
§ 2.6.2. Математическое обеспечение системы	.40
ГЛАВА III. Характеристики вторичных протонов в неуп-	.43
ругих взаимодействиях протонов с ядрами	
неона и нуклонами	
- § 3. І. Множественность вторичных протонов.	. 51
вторичных протонов	.bI

→ § 3.2. Импульсные спектры протонов
§ 3.3. Корреляции между р _и и р ₁
§ 3.4. Угловые распределения вторичных протонов 68
×§ 3.5. Корреляции между множественностями прото-
нов и их угловыми и импульсными спектрами75
§ 3.6. Характеристики протонов, испущенных назад
в лабораторной системе координат
→ ГЛАВА IУ. Корреляции вторичных протонов в рNе-взаимо-
действиях
§ 4. I. Двухпротонные корреляции
§ 4.2. Распределение по продольной и поперечной
составляющим переменной d
§ 4.3. Ассоциативные множественности вторичных
частиц в событиях с коррелированными парами
протонов
§ 4.4. Трехпротонные корреляции
ЗАКЛЮЧЕНИЕ
ЛИТЕРАТУРА

нест об эволюции адронов во внутрандарних военнодействиях (см.

велиних функциях влер, о редиусе вдерых сил и с.п.

ore geneer aktyaatime, was uponegenee mores akenepul

быти реаличист тооретических моделей (см., в лашей сакая /7/4

Principles of the Author Condens Reference Described Access of the

практиристик эторичних куплония, обращования в оках про-

ВВЕДЕНИЕ

Известно, что использование ядер в качестве мишеней во взаимодействиях с адронами высоких энергий позволяет, в принципе,
изучать широкий круг вопросов, связанных с различными аспектами
физики сильных взаимодействий. Важнейший из них - как происходит
процесс множественного рождения частиц в пространстве-времени.
Ядро в данном случае является уникальным анализатором. Отмечалось также /I/, что при изучении адрон-ядерных взаимодействий
при высоких энергиях имеются возможности для получения информации о локальных свойствах ядерной материи.

В результате интенсивных исследований hA-соударений в течении последних лет были разработаны и аппробированы различные методы анализа данных. Полученные материалы обеспечили существенный прогресс в понимании механизмов адрон-ядерных, адрон-нуклонных взаимодействий и структуры ядра. Тем не менее многие принципиальные вопросы еще ждут своего решения. Известно, например, что на описание процессов множественного рождения частиц в hA-соударениях при высоких энергиях в настоящее время претендует ряд теоретических моделей, использующих различные представления об эволюции адронов во внутриядерных взаимодействиях (см., например, /2-6/). Отсутствуют четкие теоретические представления о волновых функциях ядер, о радиусе ядерных сил и т.д.

Это делает актуальным, как проведение новых экспериментов, так и поиск характеристик, способных быть критичными при аппробации различных теоретических моделей (см., в данной связи /7/).

В последние годы особый интерес вызывают исследования фрагментации ядер под действием частиц высоких энергий, в частности, характеристик вторичных нуклонов, образованных в этих процессах.

ВВЕДЕНИЕ

Известно, что использование ядер в качестве мишеней во взаимодействиях с адронами высоких энергий позволяет, в принципе,
изучать широкий круг вопросов, связанных с различными аспектами
физики сильных взаимодействий. Важнейший из них - как происходит
процесс множественного рождения частиц в пространстве-времени.
Ядро в данном случае является уникальным анализатором. Отмечалось также /I/, что при изучении адрон-ядерных взаимодействий
при высоких энергиях имеются возможности для получения информации о локальных свойствах ядерной материи.

В результате интенсивных исследований hA-соударений в течении последних лет были разработаны и аппробированы различные методы анализа данных. Полученные материалы обеспечили существенный прогресс в понимании механизмов адрон-ядерных, адрон-нуклонных взаимодействий и структуры ядра. Тем не менее многие принципиальные вопросы еще ждут своего решения. Известно, например, что на описание процессов множественного рождения частиц в hA-соударениях при высоких энергиях в настоящее время претендует ряд теоретических моделей, использующих различные представления об эволюции адронов во внутриядерных взаимодействиях (см., например, /2-6/). Отсутствуют четкие теоретические представления о волновых функциях ядер, о радиусе ядерных сил и т.д.

Это делает актуальным, как проведение новых экспериментов, так и поиск характеристик, способных быть критичными при аппробации различных теоретических моделей (см., в данной связи /7/).

В последние годы особый интерес вызывают исследования фрагментации ядер под действием частиц высоких энергий, в частности, характеристик вторичных нуклонов, образованных в этих процессах. Было показано (см., например, /9-I4/), что изучение их свойств может дать нетривиальную информацию о механизмах адрон-ядерных взаимодействий, о характеристиках ядер-мишеней. В частности, при исследовании фрагментации ядер в мА-соударениях при высоких энергиях были обнаружены процессы, при изучении которых можно получить прямую информацию о локальных свойствах ядерной материи, о коллективных формах её движения (т.н. "кумулятивные" процессы, ядерные "ударные" волны и т.п.). Были развиты и аппробированы методы, позволяющие анализировать пространственно-временную картину процессов генерации вторичных частиц в области фрагментации ядер-мишеней.

Однако имеющиеся в настоящее время данные в значительной степени страдают неполнотой, и в связи с этим, зачастую, не позволяют сделать однозначный выбор между различными теоретическими интерпретациями обнаруженных явлений. Не ясен, в частности, вопрос о соотношении вкладов различных механизмов образования вторичных частиц ("испарительный", "каскадный", "кумулятивный" и т.д.) в общее сечение \ПА-взаимодействий.

BUI.

Целью настоящей циссертационной работы было получение новой экспериментальной информации о процессах образования вторичных протонов при фрагментации ядер неона под действием протонов с имплульсами 300 ГэВ/с.

Был проведен систематический сравнительный анализ данных, полученных в одинаковых экспериментальных условиях, по различным характеристикам вторичных протонов, образованных в протон-неон и протон-нуклонных взаимодействиях. Рассматривались также полученные в настоящем эксперименте характеристики так называемых кумулятивных протонов. С целью получения информации о пространственно-временных размеров области испускания вторичных протонов

в р Ne-взаимодействиях детально были проанализированы корреляции протонов с близкими импульсами.

Экспериментальный материал был получен при обработке стереофотографий с 30-дюймовой камеры Фермиевской Национальной Ускорительной Лаборатории (США), наполненной неон-водородной смесью и облученной в пучке протонов с импульсами 300 ГэВ/с.

Отметим, что основная масса имеющихся в настоящее время данных по характеристикам вторичных протонов, образованных в процессах фрагментации ядер под действием адронов высоких энергий, получена либо в электронных экспериментах, либо фотоэмульсионной методикой. Лля первых характерна высокая статистическая обеспеченность результатов, но узок интервал углов наблюдения. Эксперименты, проводимые с использованием фотоэмульсий, имея свои преимущества — 4п-геометрия, высокое разрешение при регистрации и идентификации вторичных частиц, сталкиваются с трудностями при выделении взаимодействий на различных ядрах. К тому же в них, как правило, отсутствуют импульсные измерения.

В то же время известно, что методика пузырьковых камер обладает целым рядом существенных достоинств:

- эксперимент проводится в условиях 4n-геометрии с ядрами определенного сорта;
- использование магнитного поля позволяет проводить идентификацию вторичных частиц по зарядам и с хорошей точностью измерять их импульсы;
- в зависимости от наполнения, условия эксперимента дают возможность эффективно идентифицировать по ионизации протоны с импульсами вплоть до $p \simeq 0.8 \div 1.4 \ \Gamma aB/c$;
- возможна регистрация нейтральных частиц (X квантов, V° частиц).

Имеются и некоторые недостатки:

- невозможность регистрации медленных протонов отдачи и продуктов испарения ядра (частицы с импульсами р 40. I ГэВ/с);
- неразличимость по ионизации быстрых частиц (p>0.8 : I.4 ГэВ/с. Однако при изучении затрагиваемых в настоящей работе проблем влияние их несущественно.

Отметим также, что данных, полученных в условиях 4π -геометрии, по импульсным характеристикам вторичных протонов, образованных в h A-взаимодействиях в области первичных энергий $E_0 > 40$ ГэВ в настоящее время нет.

Диссертация состоит из введения, 4-х глав и заключения.

Первая глава посвящена обзору экспериментальных данных по множественности, угловым и импульсным спектрам вторичных протонов (в том числе кумулятивных), образованных в адрон-ядерных взаимодействиях при высоких энергиях. Приводятся также данные по двухчастичным корреляциям протонов с близкими импульсами и их интерпретация в рамках существующих модельных расчетов. В этой же главе кратко обсуждаются основные положения некоторых теоретических моделей, предложенных для описания взаимодействий с ядрами адронов высоких энергий.

Во второй главе диссертации описана методика эксперимента, характеристики 30-дюймовой пузырьковой камеры и первичного пучка протонов. Здесь же кратко описана созданная при участии автора диссертации система обработки снимков с пузырьковых камер, использовавшаяся в настоящем эксперименте.

Третья глава диссертации включает основные данные по множественности вторичных протонов, инклюзивным и полуинклюзивным угловым и импульсным спектрам вторичных протонов в р Ne- и р N -взаимодействиях. Приводятся также данные по характеристикам протонов, вылетающих в р Ne^{20} -взаимодействиях под углами $\Theta_{\text{лаб}} > 90^{\circ}$ в л.с.к.

В <u>четвертой главе</u> изложены данные по изучению двухчастичных корреляций между вторичными протонами с близкими импульсами. Результаты сравниваются с предсказаниями существующей теории данного эффекта.

В заключении сформулированы основные результаты и выводы настоящей работы.

Материалы диссертации докладывались на сессиях ОЯФ АН СССР в Москве (1979—1982гг), на II Всесоюзном совещании по проблемам автоматизации физического эксперимента в области ядерной физики (Алма-Ата 1978г), на Всесоюзном совещании по кумулятивному эффекту и ядерному скейлингу (Ереван 1980г), на Всесоюзном Семинаре "Взаимодействие частиц и ядер высокой энергии с ядрами" (Ташкент 1981г), на II Всесоюзном совещании по проблемам фрагментации ядер (Москва 1982г), на научных семинарах ОИЯИ (Дубна), а также опубликованы в работах /15-22/.

минульсами 0.24 p = 1.0 ГаВ/с; "мериме" грени - (В -чистицы) = это планимы образом продужды инверения" возбужденных основлов ядра-минены (p, d, t, He,...

постац (пногы) и быстрых протонов;

рам учьсеми р - 0.2 Гэб/с. Вклад протонов составляет прибливиклько БОК.

, сорые и "черные частицы объединяются в группу так называ г скатысновыя ущейх частиц ('h-частицы).

Классијанация настиц в пузырькових канерах ориблизиченью у

ГЛАВА I. ХАРАКТЕРИСТИКИ ВТОРИЧНЫХ ПРОТОНОВ И МОДЕЛИ МНОЖЕСТВЕННОГО РОЖДЕНИЯ ЧАСТИЦ В АДРОН-ЯДЕРНЫХ ВЗАИМОДЕЙСТВИЯХ ПРИ ВЫСОКИХ ЭНЕРГИЯХ.

В настоящей главе приводится краткий обзор имеющихся экспериментальных данных по характеристикам вторичных протонов, образованных при взаимодействиях адронов высоких энергий с атомными ядрами. Рассмотрены также некоторые популярные теоретические модели множественного рождения частиц в А-соударениях при высоких энергиях.

Отдельно рассмотрены данные по корреляциям вторичных протонов с близкими импульсами и кумулятивным протонам.

Поясним, что в дальнейшем для удобства используется классификация вторичных частиц, принятая в экспериментах с фотоэмульсиями*):

- "светлые" треки ливневые релятивистские частицы (S –частицы) со скоростями $\beta > 0.7$ с; состоят преимущественно из рожденных частиц (пионы) и быстрых протонов;
- "серые" треки (9 -частицы); состоят в основном из протонов с импульсами 0.2 ≤ p ≤ I.0 ГэВ/с:
- "черные" треки (в -частицы) это главным образом продукты "испарения" возбужденных осколков ядра-мишени (р, d, t, He,...) с импульсами р ∠ 0.2 ГэВ/с. Вклад протонов составляет приблизительно 50%.

"Серые" и "черные" частицы объединяются в группу так называемых сильноионизующих частиц (/ - частицы).

ж) Классификация частиц в пузырьковых камерах приблизительно такая же.

§ І.І. ЭКСПЕРИМЕНТАЛЬНЫЕ ДАННЫЕ.

TEME

В настоящем параграфе приводятся экспериментальные данные по инклюзивным характеристикам вторичных протонов, образованных в процессах фрагментации ядер вызванных адронами высоких энергий. Рассмотрены множественности вторичных протонов, их угловые и импульсные спектры.

Отметим, что современные модели множественного рождения частиц в А-взаимодействиях при высоких энергиях расходятся прежде всего в оценках вкладов каскадных механизмов в образование вторичных частиц, а также в представлениях о характере внутриядерных перерассеяний этих частиц. Экспериментальной характеристикой наиболее близкой по смыслу к числу внутриядерных перерассеяний Э, является множественность вторичных протонов. В связи с этим анализ соответствующих данных позволяет, в принципе, проводить исследование зависимости Э от энергии, типа налетающей частицы, размеров ядра-мишени. Важно также то, что из всех,широко изучаемых в настоящее время экспериментальных характеристик А-взаимодействий, данные по множественности наиболее доступны.

Как зависит множественность сильноионизующих частиц от энергии первичного адрона E_0 ? Первые экспериментальные исследования показывали её рост с увеличением E_0 — факт тривиально интерпретируемый в рамках представлений о простом последовательном перераспределении E_0 внутри ядра, в процессах перерассеяний вторичных частиц. Однако, в дальнейшем было показано, что при $E_0 > 10$ ГэВ множественность h —частиц уже не зависит от E_0 в широкой области $10 \le E_0 \le 10^4 \div 10^6$ ГэВ (см., например /23,24/). При $E_0 > 10$ ГэВ устойчивостью отличаются также распределения по n_h , n_g , n_g — частицам. Например, в п $^-$ С-взаимодействиях для протонов с импуль—

сами $0.14 \le p \le 0.7$ ГэВ/с было получено, что распределения их по множественности не зависят от первичного импульса в интервале $4 \le p_0 \le 40$ ГэВ/с /25/.

Множественности релятивистских выбитых протонов (ир) (р>1.0 ГэВ/с) менее изучены, однако из имеющихся данных, полученных в п С-соударениях /26,27/ при первичных импульсах 4 и 40 ГэВ/с, можно сделать вывод о том, что <ир> также не зависит от первичного импульса (или очень слабо зависит). В /27/ отмечалось также, что средняя множественность релятивистских протонов, повидимому, прямо связана с числом внутриядерных перерассеяний >

Таким образом в области больших первичных энергий множественность и средние значения как сильноионизующих частиц, так и релятивистских протонов меняются очень слабо. Это указывает, в частности, на то, что $< \mathfrak{I} >$ и энергия возбуждения, передаваемая ядру, являются слабо изменяющимися с энергией характеристиками h A-взаимодействий.

В работе /28/ было показано, что множественности сильноионизующих частиц N_h , N_g , N_g в π^-A - и pA-соударениях при импульсе 200 ГэВ/с зависят от типа налетающей частицы. В тоже время отношения $\angle n_6 \gtrsim_{nA} / \langle n_6 >_{pA}, \langle n_3 >_{nA} / \langle n_3 >_{pA}, \langle n_h >_{nA} / \langle n_h >_{pA}$ практически совпадают с отношением $\langle n_5 >_{nA} / \langle n_5 >_{pA} \rangle$ и отношений средних значений числа внутриядерных столкновений $\langle \gamma >_{nA} / \langle \gamma >_{pA} \rangle$ (т.н. " γ -скейлинг"). Этот экспериментальный факт свидетельствует в пользу правильности предположения о существовании связи между множественностью фрагментов ядра-мишени и числом внутриядерных соударений γ .

В ряде работ /29-32/ отмечалось, что множественность вторичных протонов в реакциях п⁺A, для изосинглетных ядер, зависит от знака первичной частицы при заданном импульсе. Так, в п⁻A-соуда-

рениях протонов рождается меньше, чем в п⁺А. Экспериментальные данные также показывают /29,32/, что с ростом первичного импульса, эта разница уменьшается.

Возможным объяснением этому может служить тот факт, что при малых начальных импульсах вреакциях п⁺ N образуется больше п⁺- мезонов, чем п⁻-мезонов /33/, захват которых внутри ядра нуклонными парами, должен приводить к преимущественному образованию протонов.

Зависимость множественности вторичных протонов от знака первичного адрона ослабевает также с ростом А /29,30/, что может быть следствием увеличения среднего числа внутриядерных взаимо-действий <>> и влиянием перерассеяний.

Данные значительного числа работ (см., например /15,25,34, 35, 41/ и ссылки там же) указывают, что практически во всем рассматриваемом интервале первичных энергий зависимость множественности 5 -частиц от числа выбитых протонов (9 -частиц) приблизительно линейна:

$$\langle n_s \rangle = \alpha n_p + \beta$$
 (I.I)

Причем коэффициенты а и в зависят от первичной энергии (возрастарт логарифмически) и от типа налетающей частицы /36/. При фиксированном и р средняя множественность с частиц в рА-соударенях больше, чем в пА.

Существование такой корреляции соответствует предположению том, что множественность выбитых протонов связана с числом внутриядерных соударений и может служить мерой его оценки. Однасвязь эта нелинейна /37,38/.

Множественность релятивистских выбитых протонов зависит от вожественности вторичных релятивистсих рожденных частиц /39/, как

$$\langle n_{\rho} \rangle_{s} \simeq 0.7 \, n_{s} / \langle n_{s} \rangle$$
 (I.2)

Причем с ростом массового числа ядра-мишени число релятивистских протонов растет существенно быстрее, чем число п⁺-мезонов /37/, что указывает, в частности, на наличие процессов каскадирования в области фрагментации ядра. В пользу этого свидетельствует так-ке следующее. Существующие данные указывают на сильную А-зависимость множественности и -частиц (см., например /16,25,36,40,41/). Если использовать степенную параметризацию

$$\langle n_p \rangle_{hA} \sim A^{d} \langle n_p \rangle_{hN}$$
 (I.3)

то значение \varnothing оказывается ближе к величине 2/3, чем к 1/3, которую можно было бы ожидать в случае отсутствия каскадирования в области фрагментации ядра-мишени. Отметим также, что А-зависимость множественности S -частиц существенно слабее: $\varnothing_S \simeq 0.15$ при $E_O \geqslant 100 \; \Gamma_9 B^*$).

Более детальную информацию о процессах фрагментации ядер можно получить при анализе дифференциальных спектров и -частиц.

Экспериментальные данные показывают, что в лабораторной системе координат форма угловых инклюзивных спектров вторичных протонов, испущенных в hA-взаимодействиях при высоких энергиях, в целом монотонна и удовлетворительно воспроизводится экспонен-шальной зависимостью /42-44/.

$$f(\cos \theta) = \frac{1}{\sigma_{tot}} \frac{d\sigma}{d\cos \theta} \sim \exp(\kappa \cdot \cos \theta) \quad (I.4)$$

Значение d_S для S-частиц растет с первичной энергией. Приэтот рост сильнее для более тяжелых ядер, что, вообще говоза указывает на неадекватность параметризации (I.3)

Причем коэффициент К не зависит от энергии первичной частицы /44/ и зависит от импульсов вторичных протонов. С их ростом существенно растет ассиметрия формы угловых спектров в л.с.к. /44, 45/.

Отметим также, что форма угловых распределений вторичных протонов, как показывают, например, данные работ /46,47/, слабо зависит от их множественности.

Экспериментальные данные показывают, что имеется зависимость формы угловых инклюзивных спектров вторичных протонов от массового числа ядра-мишени (см./43/). Однако, как отмечалось в работе /42/, начиная с углов $\Theta > 120^{\circ}$ в л.с.к. данная А-зависимость пропадает. Это интерпретировалось авторами, как указание на существование двух механизмов образования вторичных протонов (истехночая т.н. "испарительные" протоны): так называемых "квазиупрутих" процессов, в которых протоны, перерассеиваясь, вылетают претоущественно вцеред в л.с.к. (вклад таких процессов с ростом атомного номера ядра мишени изменяется как $\sim A^{0.4}$); и "глубоконетругих" процессов — процессов происходящих при малых прицельных параметрах. Для последних форма спектров от A не зависит.

В ряде работ /48/ в угловых спектрах вторичных протонов в nA- и AA-взаимодействиях с большой множественностью (т.н."центральные соударения) были обнаружены нерегулярности в области углов 6~60-70° в л.с.к., которые интерпретировались как проявление
коллективной формы движения ядерной материи - так называемой ядерной "ударной" волны. Суть этой интерпретации такова /49/. Если
рассматривать столкновение адронов и ядер с ядрами при высоких
знергиях в терминах газодинамики, то при скорости Vo - частицыснаряда, превышающей "скорость-звука" в ядерной материи Vo > 0.2с,

нуса Маха, что должно, в свою очередь, приводить к преимущественному испусканию частиц вблизи угла Маха

$$\cos \Theta_N = V_S / V_0 \tag{1.5}$$

где V_S - скорость фронта ударной волны.

TARMO CEÒ

Но, как показал проведенный в работах /50,51/ анализ, существование данного явления нельзя считать доказанным, так как наблюдаемые нерегулярности могут быть обусловлены другими процессами (см., например, /42,50/).

В работах /42,52/ для протонов с энергиями $T_{\text{кин}} \ge 100 \text{ МэВ}$ в угловых спектрах в области $150-180^{\circ}$ в л.с.к. была обнаружена нерегулярность: провал выходящий за три стандартных отклонения – явление не находящее себе обяснения в настоящее время. Однако 53/, где рассматривались угловые распределения вторичных пронов, образованных в 3 А-взаимодействиях при энергии 30 в работах /42.52/ и /53/ рассматривались протоны из раличных при вработах /42.52/ и /53/ рассматривались протоны из раличных при энергинах интервалов.

Экспериментальные данные по импульсным спектрам вторичных ротонов, образованных в им-соударениях при высоких энергиях, в вказывают, что их форма, так же, как и в угловых спектрах, в влом монотонна и слабо зависит от типа налетающей частицы и её вергии (см., например, /44/). Отметим, что независимость формы вторичных протонов от энергии первичного врона для тяжелых ядер начинается с больших первичных энергий сравнению с легкими /54/.

Инвариантные дифференциальные сечения вторичных протонов с шлульсами р ≤ I.О ГэВ/с, удовлетворительно воспроизводятся двумя эспонентами (см., например, /45,46,55-57/)

$$f(\rho) = \frac{E}{G_{tot}} \frac{d^3G}{d\rho^3} = A_1 e^{-B_1 \rho^2} + A_2 e^{-B_2 \rho^2}$$
 (I.6)

Параметр наклона для высокоимпульсной части спектра B₂ растет с увеличением угла испускания вторичных протонов /52/.

Важно отметить, что средний поперечный импульс вторичных протонов (g-частиц), в отличии от быстрых рожденных частиц (s-частиц), зависит от массового числа ядра-мишени. Если ис-пользовать степенную параметризацию $\langle p_{\perp} \rangle \sim A^{d_{\perp}}$, то значение d_{\perp} оказывается равным $d_{\perp} = 0.10 \pm 0.02 /58/.$

Во многих работах для изучения процессов образования протонов в различных кинематических областях фазового пространства используются нормированные инклюзивные спектры

$$R(p) = \left(\frac{1}{\sin ap}\right)_{hA} / \left(\frac{1}{\sin ap}\right)_{hN}$$
 (I.7)

где $(\frac{1}{G_{in}} \frac{\partial G}{\partial \rho})_{hA}$ — импульсное распределение вторичных протонов, образованных в hA-взаимодействиях (нормированное на полное сечение неупругих hA-соударений - G_{in}), а $(\frac{1}{G_{in}} \frac{\partial G}{\partial \rho})_{hN}$ — соответст-ственно, импульсный спектр вторичных протонов, образованных в hN-взаимодействиях (нормированный на полное неупругое сечение hN-соударений).

Анализ данных показывает /26,59/, что при параметризации $R(p) \sim A^d$ в области импульсов вторичных протонов $p \perp 1.0 \text{ ГэВ/с}$ величина d сильно зависит от p. При $p \perp 0.2 \text{ ГэВ/с}$ $d \simeq 1.1-1.2$ с ростом импульсов монотонно убывает. Для протонов с импульсар p > 1.0 ГэВ/с, как было показано в /58/, величина d уже не зависит от p и приблизительно соответствует значению – 0.3.

Вид зависимости от импульсов протонов указывает, повидимому, что спектр вторичных выбитых протонов неоднороден по происхождению — согласно данным имеется существенный вклад от выскадных механизмов, вымирающий с переходом в высокоимпульсную высть спектра. Изучение процессов рождения частиц с большими поперечными импульсами, в принципе, может дать информацию о взаимодействиях на малых расстояниях. С этой целью проводились эксперименты по изучению характеристик частиц с большими поперечными импульсами в адрон-адронных и адрон-ядерных взаимодействиях /60,61/. В частности, была обнаружена аномально сильная А-зависимость выхода адронов с большими поперечными импульсами. Так в параметризации

$$(E\frac{d^36}{d\rho^3})_{hA} \sim A^{d_\perp}$$
 (I.8)

шля протонов при $p_{\perp} > 4$ ГэВ/с было полученно $d_{\rho_{\perp}} \simeq 1.3$ /60/. Занное значение $d_{\rho_{\perp}}$ существенно превышает величину, которую вожно было бы ожидать из экстраполяции данных при низких p_{\perp} в область $p_{\perp} \simeq 4$ ГэВ/с (см./60/.

В настоящее время предприняты попытки объяснить данный эффект в рамках различных подходов; например, в модели когерентной трубки /62/, в ядерной партонной модели флуктонов /63/, путем перерассеяния партонов при прохождении их через ядерную среду /64/ и т.д. Тем не менее, как отмечалось, например в /6/, в настоящее время не имеется удовлетворительного объяснения этих экспериментальных фактов.

Важной величиной при анализе данных по h A-взаимодействитри высоких энергиях является величина свободного пробега
вронов в ядре. Попытка определения её величины была сделана в
эксперименте с магнитным спектрометром /65/. Наблюдаемую А-зависимость двухпротонных компланарных корреляций в области квазитругого пика в рА-взаимодействиях при E₀ = 800 МэВ, авторы работы аппроксимировали параметризацией эффекта перерассеяния через длинну среднего свободного пробега протона h. Была получе-

на величина $\lambda_h = 2.4$ ферми. Причем 20%-ное изменение в расчетах величины λ_h приводило к существенному расхождению с экспериментальными данными. В /65/ отмечалось также, что полученная оценка величины λ_h , несколько выше, ожидаемой для свободных NN-взанимодействий, но меньше той, которая получается из мнимой части оптического потенциала.

Из анализа компланарных корреляций в реакциях A + A при

Е₀ = 800 МэВ/нуклон этой же группой /66/, была оценена доля многократных перерассеяний вторичных протонов с импульсами р ≥ 100

№ 100 МэВ/с, которая оказалась для легких ядер приблизительно равной

- 0.6. Оценки делались исходя из данных по сечениям квазиупругих

рр-рассеяний с предположением о гауссовом распределении плотности нуклонов в ядре. Авторы /66/ отмечали, что использованные
приближения могут привести к 30-40% ощибке в сделанных оценках.

Естественно ожидать, что с уменьшением массового числа вдра-снаряда доля многократных перерассеяний вторичных протонов также должна уменьшатся.

§ 1.2. МОДЕЛИ МНОЖЕСТВЕННОГО РОЖДЕНИЯ ЧАСТИЦ В АДРОН-ЯДЕРНЫХ ВЗАИМОДЕЙСТВИЯХ ПРИ ВЫСО-КИХ ЭНЕРГИЯХ.

Как уже отмечалось, ввиду отсутствия в настоящее время амосогласованной теории сильных взаимодействий, а также из-за еполноты имеющихся представлений о динамике и А-соударений, на писание множественного рождения частиц в и А-взаимодействиях высоких энергиях претендует ряд моделей, использующих раз-

Условно эти модели можно разделить на две большие группы: тели коллективного типа и так называемые каскадные модели.

Существование этих двух направлений отражает двойственность имеприхся экспериментальных указаний. С одной стороны, данные демонстрируют А-независимость многих характеристик (подавление
каскадных механизмов), в особенности это касается быстрых рожденных частиц. С другой показывают влияние размеров ядра, сутествование низкоэнергетического каскада, как это было видно, в
частности, из приведенных выше данных.

Отметим, что практически все существующие модели сталкиватся с трудностями при описании явлений в области фрагментации вдра-мишени (в частности, характеристик вторичных протонов), явтяющихся предметом рассмотрения в настоящей работе. В связи с этим в данном кратком обзоре мы приводим только суть различий в представлениях о пространственно-временной картине внутриядервзаимодействий, используемых в некоторых популярных теоретиеских моделях множественного рождения.

Одним из примеров такого подхода является гидродинамичесмодель Ландау /3,4,67,68/, являющаяся одним из представите-

в основе которой лежат представления о некоем сгустке энергии (кластере), формирование которого до стадии распада на реальные частицы описывается уравнениями релятивистской гидродинамики. Пространственно-временная картина рождения частиц имеет три этапа. Первый – рождение кластера при взаимодействии первичного адрона с группой нуклонов ядра ("трубка"). Второй – расширение застера, описываемое уравнениями релятивистской гидродинамики, то объема, в котором возможен распад на вторичные частицы. Третий – распад кластера.

Несмотря на некоторые сложности с описанием лидирующих астиц (они не входят в кластер) в данной модели (в пределах её применимости – область больших множественностей вторичных частиц <n_s> = 10 ÷ 20) с помощью ограниченного числа параметров удается воспроизвести многие детали процесса множественной генерации частиц /4/. Необходимо, однако, отметить, что существуют трудности при интерпретации использованных в модели приближений рамках теоретико-полевых методов /69,70/.

Другим представителем моделей коллективного типа, является называемая модель когерентной трубки, развиваемая в работах ногих авторов /3,71-74/. В данной модели предполагается, что на тающий адрон одновременно взаимодействует со всеми И нукломи, расположенными на одном прицельном параметре в трубке с чением, равным сечению адрон-нуклонного взаимодействия. Взамодействие с трубкой считается эквивалентным взаимодействию с жилоном, но при эффективной массе мишени в И раз большей. В жоторых вариантах этой модели вводится также зависимость длинтрубки от первичной энергии /74/.

Модель дает удовлетворительное описание одночастичных

спектров вторичных быстрых частиц и данных по их средним множественностям /68/, но имеет трудности в воспроизведении ряда других экспериментальных характеристик, в частности, данных по быстротным корреляциям вторичных рожденных частиц /6/.

К моделям каскадного типа относятся модели в которых предполагается пространственно-временная выделенность каждого акта
взаимодействия с нуклонами ядра-мишени. Необходимо отметить относительность данного критерия, обусловленную тем, что влияние
различных факторов (законы сохранения энергии-импульса, пространственно-временная протяженность элементарного акта взаимодействия с нуклоном и т.д.) нарушает в какой-то степени эту независи-

ado on

Практически во всем диапазоне изучаемых энергий в настояшее время используются расчеты по так называемой каскадно-испа**жтельной модели /23,75-79/.** В первоначальном её варианте /23/ тользовалась квазикласическая картина взаимодействия частиц три ядра. При этом предполагалась мгновенность элементарного взаимодействия адрона с нуклоном ядра с величиной свободпробега адрона меньшей средних межнуклонных расстояний. течный результат получался розыгрышем по методу Монте-Карло возможных этапов взаимодействия первичной и вторичных часэта модель оправдывала себя при низких энергиях (см./23, Однако экспериментальные данные, полученные при энергиях Т> 10 ГэВ, потребовали существенных модернизаций, в частности, прдставлений о длинне формирования вторичных частиц /75/, в воглощении мягких пионов внутри ядра /76,77/, об уменьшении плотности (трейлинг-эффект) /76,78/, о возможности взаействия с нуклоном ядра сразу нескольких вторичных частиц № Т.Д.

Специфическая черта сильных взаимодействий при высоких энергиях - коллимирование продуктов распада в узком конусе вокруг направления движения первичного адрона - сохраняющаяся также > hА-взаимодействиях, позволила успешно применять для описания свойств быстрых рожденных частиц эйкональное приближение, развитое в работах Глаубера /80/. Теоретико-полевое обоснование глауберовского формализма было сделано Грибовым /81/. Развитая в этих работах техника расчета многократных взаимодействий перэмчного адрона с нуклонами ядра была использована Шабельским 7,82/ для описания распределений по множественности быстрых товденных частиц. Неупругие каналы в данной модели рассчитываютиз соотношений унитарности накладываемых на упругую амплиту-👿 адрон-нуклонного рассеяния. Важно отметить, что в модели не тываются внутриядерные взаимодействия вторичных частиц, т.е. тецполагается, что формирование адронов происходит уже вне ядра тельных инклюзивных спектров вторичных рожденных темц R (p) при p → 0 и закон <n₂>~ A^{2/3} приписывается каскадитванию медленных нуклонов отдачи /82/. Однако отметим, что сотетствующих расчетов нет и в настоящее время модель описывает тыко характеристики быстрых рожденных частиц /82/.

В последнее время при анализе адрон-ядерных взаимодействий роко используются представления о кварках, как о составляющих ституентах адрона, способных взаимодействовать независимым разом. В различных подходах адрон состоит либо из двух (мезон) трех (барион) слабо взаимодействующих кварков (т.н. импульстриближение) — аддитивная кварковая модель /83/, либо растривается как континиум точечных кварк-партонов, а также торных частиц — глюонов /84/.

Например, в кварковой модели Каппелы-Крживицкого /85/ па-

Специфическая черта сильных взаимодействий при высоких знергиях - коллимирование продуктов распада в узком конусе воктут направления движения первичного адрона - сохраняющаяся также А-взаимодействиях, позволила успешно применять для описания свойств быстрых рожденных частиц эйкональное приближение, развитое в работах Глаубера /80/. Теоретико-полевое обоснование тауберовского формализма было сделано Грибовым /8I/. Развитая в этих работах техника расчета многократных взаимодействий первичного адрона с нуклонами ядра была использована Шабельским 7,82/ для описания распределений по множественности быстрых товденных частиц. Неупругие каналы в данной модели рассчитываются из соотношений унитарности накладываемых на упругую амплитуз адрон-нуклонного рассеяния. Важно отметить, что в модели не тываются внутриядерные взаимодействия вторичных частиц, т.е. тепполагается, что формирование адронов происходит уже вне ядра. Рост относительных инклюзивных спектров вторичных рожденных жетиц R (p) при p → 0 и закон < n₉>~ A^{2/3} приписывается каскадитованию медленных нуклонов отдачи /82/. Однако отметим, что соответствующих расчетов нет и в настоящее время модель описывает только характеристики быстрых рожденных частиц /82/.

В последнее время при анализе адрон-ядерных взаимодействий роко используются представления о кварках, как о составляющих внетитуентах адрона, способных взаимодействовать независимым разом. В различных подходах адрон состоит либо из двух (мезон) трех (барион) слабо взаимодействующих кварков (т.н. импульстриближение) – аддитивная кварковая модель /83/, либо растривается как континиум точечных кварк-партонов, а также выторных частиц — глюонов /84/.

Например, в кварковой модели Каппелы-Крживицкого /85/ па-

тарщий адрон имеет много (в принципе, неограниченное число)

варк-партонов, каждый из которых может взаимодействовать внут
и ядра, приводя к образованию "гребенок" как в мультиперифери
ской модели, число взаимодействующих конституентов определяет
моделью Глаубера, а расчет сводится к учету т.н. непланарных

заграм, перекрывающихся во времени. Модель удовлетворительно

воспроизводит распределения по множественности и спектры быст
рожденных частиц /10/.

Другим примером может служить так называемая аддитивная варковая модель, развиваемая Николаевым с сотрудниками /6,86, 37,88/. В основе её лежат представления о составляющих кварках, епособных взаимодействовать независимым образом. В данном подхоте кварки имеют партонную структуру мультипериферического типа. варк-кварковые взаимодействия есть вначале столкновения мягких тертонов, вызывающие постепенную адронизацию партонных состояний воставляющих кварков /89/. В модели имеется параметр, мо - длин-= формирования, который можно рассматривать нак пространствен--временной интервал необходимый частице, чтоб обрести способвзаимодействовать с"нормальным" сечением, т.е. равным (N). Вторичные частицы в данной модели каскадируют и вклад процессов в общее сечение составляет ~ 40-50% /88/. Модель вает значительное количество данных по инклюзивным спектиножественности вторичных рожденных частиц. Отметим также, в настоящее время она реализована в виде алгоритма типа ———Карло на ЭВМ /88/ и претендует на эксклюзивное описание выэнергиях. Касаясь характеристик вторичных протонов с имр >0.3 ГэВ/с (в модели не учитываются механизмы "испа-________), авторы утверждают /88/, что обычное каскадное размножение не обеспечивает в расчетах описание их инклюзивных спектров.

Тоэтому в модели в качестве цополнительного, используется меха
визм взаимодействия адронов в ядре с т.н. малонуклонными корре
дированными системами /12/.

§ 1.3. КУМУЛЯТИВНЫЕ ПРОТОНЫ.

Самостоятельной областью исследований в последние годы стало изучение характеристик частиц (в частности, протонов) вывтающих в hA-взаимодействиях в область фазового пространства, запрещенную кинематикой адрон-нуклонного рассеяния (с учетом верми-движения) – так называемых кумулятивных частиц /89/.

Следует отметить, что в настоящее время нет однозначной терпретации механизма рождения кумулятивных протонов. Причина этому в следующем. Если исходить из обычных представлений средто поля об импульсном распределении нуклонов внутри ядра, то жать было показано в /90/ ни ферми-движение, ни многократное растельне (см., например, /91/) не могут служить основными механизрождения кумулятивных протонов, хотя они и способны играть тественную роль как поправки, особенно в области малых импуль-— до 0.3 ГэВ/с. Необходимо либо предположить существование в так называемой "высокоимпульсной" компоненты, компенсирув ядре (А-І) нуклонами /92-94/, либо исходить из представтемя о существовании в ядре аномальных состояний, когда нескольвыжилонов собираются на малом (по сравнению с размерами ядра) терия друг от друга, сравнимом с размерами самих нуклонов желонуклонные корреляции /I2/, флуктоны /95/, кластеры /96/, варковые мешки /97/ и т.д.)

Отметим также, что существует альтернативный подход, в жах которого вылет кумулятивных протонов объясняется за счет поглощения мягких пионов внутри ядра нуклонными парами 38,97,98/.

Существующая совокупность экспериментальных данных по инзаным характеристикам кумулятивных протонов, сводится к шим фактам /52/.

Инвариантное инклюзивное сечение рождения кумулятивных проудовлетворительно параметризуется в виде

$$f(\rho) = \frac{E}{\sigma_{tot}} \frac{d^3\sigma}{d\rho^3} = C_0 \exp(-B(\theta)\rho^2) \qquad (I.9)$$

Параметр В практически не зависит от вида налетающей час
массового числа ядра-мишени, но при этом имеется сильная
миссть В от угла вылета кумулятивных протонов. Значение В
мется от 5 (ГэВ/с) $^{-2}$ при малых углах ($\Theta_{\text{лаб}} \simeq 90^{\circ}$) до ~ 14 $\Theta_{\text{лаб}} \simeq 180^{\circ}$.

Постоянная C_0 с ростом энергии первичной частицы растет.

энергии порядка нескольких (ГэВ) сильная зависимость C_0 от
счезает. Отметим, что постоянство C_0 для тяжелых ядер наблю-

Перечисленная выше совокупность экспериментальных данных объединяется под общим названием "ядерный" скейлинг /99/.

Существующие данные показывают для кумулятивных протонов с тьсами р > 0.4 ГэВ/с более сильную А-зависимость по сравнению зависимостью всех вторичных протонов. Причем А-зависимость теся с изменением типа налетающей частицы /52/, и если апшимировать выход кумулятивных протонов степенной зависимостью для показателя

закспериментальные данные показывают:

- 4/3 для протон-ядерных взаимодействий;
- 3 ≃ I для пион-ядерных взаимодействий;
- I для фотон-ядерных взаимодействий.

то если для тяжелых изотопов наблюдалось отсутствие выходов протонов от нейтронного содержания /52/, то вотопов легких ядер выход протонов растет при увеличении

однако они противоречивы и требуют своего дальнейшего утонеобходимость этого следует из того, что такие данные оказаться критичными к существующим теоретическим моделям, прощим на описание процессов образования кумулятивных час-

🧃 І.4. КОРРЕЛЯЦИИ ВТОРИЧНЫХ ПРОТОНОВ.

жергиях, как уже отмечалось, сталкиваются с трудностями тискриминации существующих представлений о пространственно-енной картине внутриядерных соударений. В данной связи осо-значение приобретают корреляционные методы анализа инклюзивданных, развитые в работах Копылова-Подгорецкого /104-106/.

В основе их подхода лежит метод Брауна-Твисса /107/, примемися в астрофизике для оценки размеров звезд. Суть его такоРассмотрим два источника, испускающих тождественные частицы
мизкими по величине четырехимпульсами Q_1 и Q_2 . Эти источники
мизкими так, что нельзя различить из какого какая частица
миспущена. Тогда в амплитуде, описыающей эти источники, помисся интерференционный член, зависящий при $Q_1 \simeq Q_2$ от $\Delta = Q_1 - Q_2$

солее точно от безразмерной комбинации $S\Delta/N$ (S - некий гранственно-временной интервал между источниками). Из этоетует, что измерение двойных корреляций тождественных часет дать информацию о пространственно-временных условиях ерации. Влияние интерференции должно приводить к появлеексимума (минимума) в двухчастичной корреляционной функции созонов (фермионов) при $\Delta \rightarrow 0$. По ширине этого максимума при сопоставлении с соответствующими модельными оценможно судить о пространственно-временных размерах области зации данных частиц.

Заметим, что двухчастичные корреляции могут быть вызваны кулоновским и ядерным взаимодействиями в конечном состоя— /108-109/. Причем так же, как и эффект бозе (ферми) статис— эти эффекты зависят от пространственно-временных размеров ти генерации данных частиц. И если для пионов, например, взаимодействия в конечном состоянии мал /110/, то для барипри Ф Ф О он становится определяющим /113/. При рассмотрении астичных корреляций протонов при Ф Ф О, важным становится определящиями (деструктивными) "кулоновскими" еляциями и положительными корреляциями, обусловленными ядерезаимодействием в конечном состоянии. Отметим также, что на ину эффекта корреляции протонов оказывает влияние их поляри— чем выше поляризация, тем меньше величина максимума в конечной функции при данных пространственно-временных разме— области генерации протонов.

последовательный расчет эффекта корреляции вторичных протоблизкими импульсами, с учетом всех выше упомянутых эффекшля различных пространственно-временных размеров области их жания, был процелан в работах /III, II2/.

В настоящее время рассматриваемый корреляционный анализ признание (см., например, /114/ и ссылки там же). Полузначительное количество данных по корреляциям пионов в hNhА-взаимодействиях. Значения V° - размера области генерации в этих экспериментах оказались приблизительно равными в широком тервале первичных энергий (V° ≈ 3-4 ферми /II4/). Корреляции протонов (в частности, протонов) в адрон-ядерных взаимодействиях тены хуже, а имеющиеся данные противоречивы и, зачастую, именевысокую статистическую обеспеченность. Так в hА-взаимотельнях, из сопоставления с расчетами Кунина /III/, были полуоценки размеров области генерации протонов № 3-4 ферми дали меньшую величину Vo /II9/. Кроме того в /II9/ наблюдатакже уменьшение соответствующих значений к с ростом мноественности в отбираемых событиях, так в т.н. "центральных" тарениях было получено № 2 1.5 ферми.

В ряде работ /II9, I20/ при рассмотрении корреляций вторичпротонов с близкими импульсами делались попытки оценить прошьный и поперечный размеры области их испускания. В /I20/, где

лизировались данные по кумулятивным протонам образованным в

А-взаимодействиях, были получены оценки продольного и попеного размеров соответственно $V_{\parallel} = 5.6 \pm 1.0$ ферми и $V_{\perp} = 1.0$ ферми. В /II9/ для протонов рожденных в АА-соударениях

Отметим также, что данные некоторых работ /II6, II7/ указыпо-видимому, на усиление корреляций вторичных протонов с тотом их импульсов.

Среднеквадратичные расстояния между источниками протонов в яд
в для Γ_0 , использованного в /III/ соответствуют $\sqrt{2}\Gamma_0 = \Gamma_0^*$.

§ 1.5. ЗАКЛЮЧЕНИЕ.

MISEL TO

В заключение данной главы сделаем краткое резюме.

За последние годы накоплен значительный экспериментальный зтериал по характеристикам вторичных протонов, образованных в оцессах фрагментации ядер, вызванных адронами высоких энергий. Зализ этих данных способствовал существенному прогрессу в поними механизмов образования этих протонов, но в то же время постаил ряд вопросов, требующих своего дальнейшего изучения. Отменекоторые из них.

Имеющиеся экспериментальные данные указывают на существованескольких механизмов образования вторичных протонов в просах фрагментации ядер - "испарительный", "каскадный", "кумутельный" и т.д. Однако задача однозначного выделения их вкладов встоящее время не решена.

Требуют своего дальнейшего изучения полученные в отдельных ериментах указания на существование коллективных форм движе-

Ввиду отсутствия в настоящее время однозначной интерпретации зама рождения кумулятивных протонов, представляется актуальвоведение дальнейших исследований их свойств.

по корреляциям вторичных протонов с близкими импульсами.

ГЛАВА II. МЕТОДИКА ЭКСПЕРИМЕНТА

Экспериментальные данные, обсуждаемые в настоящей работе, чены с помощью 30-дюймовой пузырьковой камеры Фермиевской помощью Лаборатории (США), облученной в пучке протонов с предложение исследовать взаимодействия час-с ядрами неона в этой камере было выдвинуто ташкентской груподобрено руководством ФНАЛ /122/.

Ниже описывается методика эксперимента. Приводятся: характики пузырьковой камеры, первичного пучка, а также правиросмотра стереоснимков, идентификации вторичных частиц и класвации событий. Описывается процедура учета доли квазинуклонсобытий. Кратко рассмотрена также созданная при непосредстучастии автора диссертации, полуавтоматическая система
отки снимков с пузырьковых камер, использовавшаяся в настоэксперименте.

§ 2.1. ОПИСАНИЕ ПУЗЫРЬКОВОЙ КАМЕРЫ, ПЕРВИЧНОГО ПУЧКА, МАГНИТНОГО ПОЛЯ.

30-доймовая камера была создана для Фермиевской Национальшеборатории (США) и запущена в эксплуатацию в 1972г.

В настоящем эксперименте /122/ камера экспонировалась в пионном пучке протонов с импульсом 300 ГэВ/с. Первичный направлялся с протонного синхрофазотрона на сепаратор, разна на расстоянии ~I км от камеры. Проведенные измерения ито разброс по импульсам в пучке, входящем в камеру, не ~0.5%. Примесь сопровождающих частиц составила \angle 0.2% тественно за счет мюонов). Это, в частности, дает возможноственно точностью определить сечение взаимодействий по

желу зарегистрированных событий в эффективном объеме камеры /15/.

Схематическое изображение конструкции камеры приведено на мс. 2. I. Камера показана в сечении со стороны выхода пучка. Она представляет собой цилиндр высотой $\simeq 37$ см, основанием которого мужат стеклянные окна диаметром $\simeq 75$ см и толщиной 10.6см. На выдом окне нанесено по II реперных меток (всего 22). Оптическая мстема камеры содержит 4 эллиптические ксеноновые ламиы, 2 больме конденсирующие линзы и 4 фотокамеры. Фокальное расстояние метой из 2-х линз L = 200см. Фотографирование осуществлялось пленку шириной 35мм. Подробнее конструкция камеры и её опти-

Магнитное поле камеры имеет цилиндрическую симметрию отнотельно оси камеры. Пропускаемый по обмоткам электромагнитов
создавал магнитное поле с напряженностю в центре камеры $\simeq 2.5$ тесла. Его неоднородность в видимом фотокамерами объеме
веры не превышала $\sim 5\%$.

В качестве наполнителя использовалась смесь неона и водоропри температуре 28.5К и давлении 92.6П. Молярная фракция неов смеси составляла = 0.309. Плотность и радиационная
такой смеси составляют /124/ соответственно g = 0.249и $X_0 = 128$. Ісм, что позволяет, в частности, регистрировать
ванты с эффективностью $\sim 125\%$ /15/.

Начало системы координат камеры находилось в середине верхстекла. Координата Z внутри камеры считалась положительной. възвление оси У совпадало с направлением первичного пучка, а възвление положительных частиц в магнитном поле камеры совпас направлением оси X.

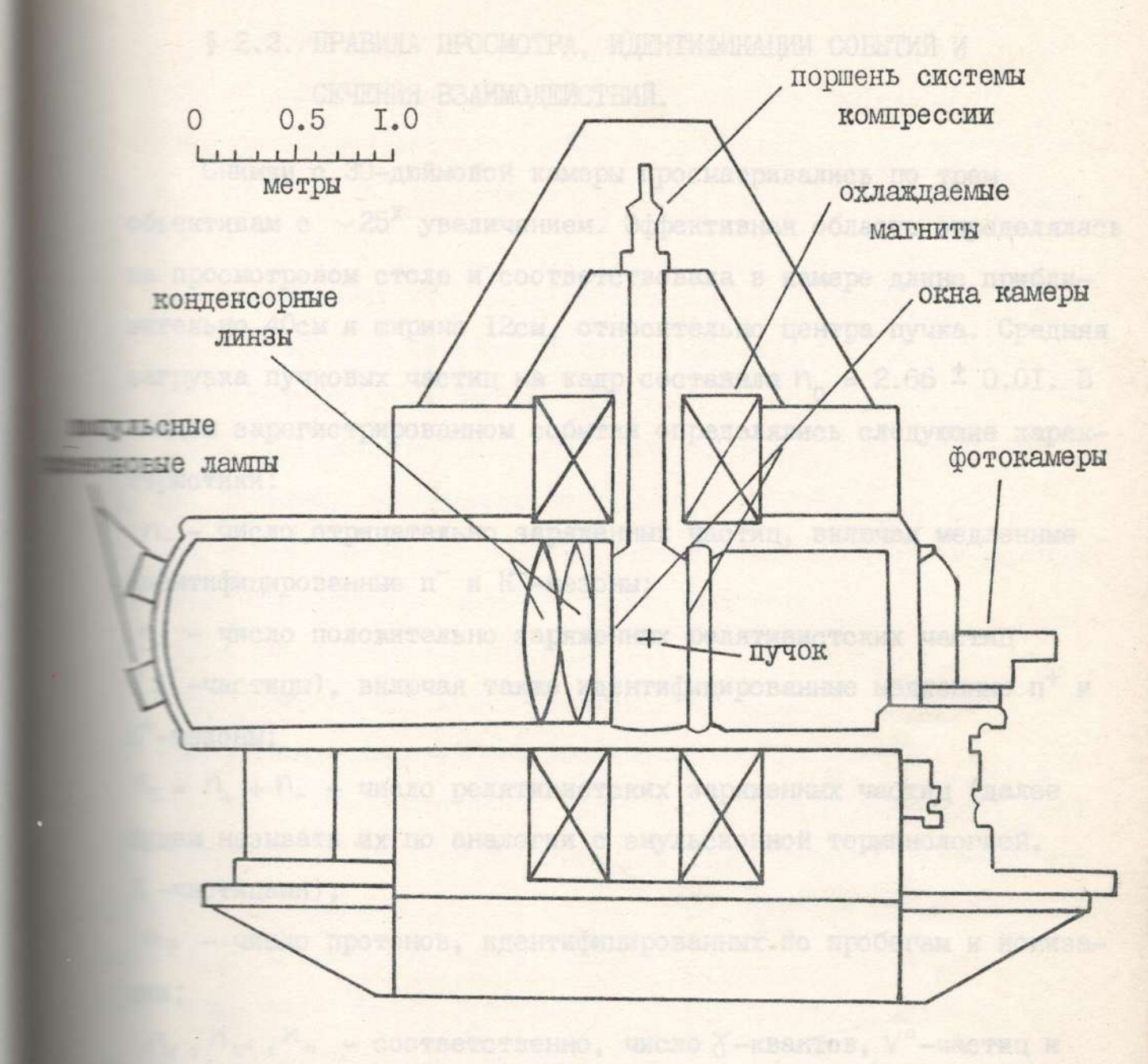


Рис. 2. I. Схематическое изображение 30-ти дюймовой пузырьковой камеры в сечении со стороны выхода первичного пучка.

110 мов/е в камера практически на аксерс. в

§ 2.2. ПРАВИЛА ПРОСМОТРА, ИДЕНТИФИКАЦИИ СОБЫТИЙ И СЕЧЕНИЯ ВЗАИМОДЕЙСТВИЙ.

Снимки с 30-дюймовой камеры просматривались по трем объективам с ~25^X увеличением. Эффективная область определялась на просмотровом столе и соответствовала в камере длине приблизительно 40см и ширине I2см, относительно центра пучка. Средняя загрузка пучковых частиц на кадр составила $n_0 = 2.66 \pm 0.01$. В важдом зарегистрированном событии определялись следующие характеристики:

— число отрицательно заряженных частиц, включая медленные
 — шентифицированные п и К – мезоны;

— число положительно заряженных релятивистских частиц

— частицы), включая также идентифицированные медленные п и

— мезоны;

 $N_{\pm} = N_{+} + N_{-}$ — число релятивистских заряженных частиц (далее тудем называть их по аналогии с эмульсионной терминологией, $N_{\pm} = N_{+} + N_{-}$

— число протонов, идентифицированных по пробегам и иониза-

№, N_{V°}, N_н — соответственно, число X-квантов, V°-частиц и тральных звезд, ассоциированных с первичным взаимодействием.

тестрация нейтральных частиц проводилась во всем просматривафотокамерами объеме камеры.

Вторичные протоны в данной NeH_2 -смеси эффективно идентировались в интервале импульсов $0.11 \le p \le 1.2$ ГэВ/с. Протоны
пульсами менее II0 МэВ/с в камере практически не видны, а
пульсами более I.2 ГэВ/с трудно отличимы по ионизации от H^+ -мезонов^{*)}.

три на следующей странице.

Все взаимодействия, зарегистрированные в выбранной эффекой области камеры, разделялись на группы "рр"-, "ри"- и

"е"-соударений в соответствии со стандартными критериями отпринятыми в экспериментах с пузырьковыми камерами с тяженаполнением.

К взаимодействиям типа "рр" относились события, в которых:

- **шело** вторичных заряженных частиц четно;
- сумма зарядов этих частиц Q = +2;
- жело идентифицированных протонов не более I ($N_p \le I$);
- т протона, вылетевшего назад в л.с.к. ($N_{\tilde{p}} = 0$).

К взаимодействиям типа "pn" относились события, в которых:

- вторичных заряженных частиц нечетно;
- стих зарядов этих частиц Q = +I;
- тело идентифицированных протонов не более I ($N_p \leq I$);
- т протона, вылетевшего назад в л.с.к. ($N_{\tilde{p}} = 0$).

К "рр"? (соответственно "ри"?) относились события, в котожеловия а), б) и в) выполнены, а сумму зарядов Q точно општь затруднительно (короткие треки, близкие вторичные взажествия или треки очень быстрых (р > 100 ГэВ/с) частиц), но жест быть равной +2 (или+1), например 6-ти лучевое событие отрицательными частицами.

Все события, не удовлетворяющие критериям "рр" или "ри" относились к взаимодействиям типа "р N е".

отдельных случаях можно было идентифицировать протоны по протоны вылении вплоть до импульсов р ≈ I.6 ГэВ/с, если протоны выленод малыми глубинными углами из звезд расположенных в верхности пузырьковой камеры.

Дважды было просмотрено 2603І стереокадров, из которых рабочими оказались 20837 (рабочими назывались кадры без взаимонествий первичных частиц во входном окошке камеры). Эффективность двойного просмотра \mathcal{E}_{12} , оказалась близкой к 100% за исклюнием малолучевых ($n_{\text{ch}} \leq 3$) звезд, для которых в среднем $\mathcal{E}_{12} = 3\%$. Однолучевые звезды регистрировались при углах $\Theta > 2^{\circ}$, почти полностью исключало случаи когерентного упругого распочти первичных протонов на ядрах неона, т.е. зарегистрирования при просмотре события относились к случаям неупругих $P_{\text{ch}} = 3\%$ почти полностью исключало случай неона, т.е. зарегистрирования при просмотре события относились к случаям неупругих $P_{\text{ch}} = 3\%$ почти ре-соударений, в которых имеется потеря части $P_{\text{ch}} = 3\%$ почти из-за малых пробегов протонов отдачи.

Согласно данным по множественности вторичных частиц в ppдарениях /125/ было определено, что доля К⁻-мезонов и антипроветственно, т.е. около 94% отрицательно заряженных частиц
ветственно, т.е. около 94% отрицательно заряженных частиц
втотся п⁻-мезонами. Положительно заряженные релятивистские
втицы состоят из п⁺- и К⁺-мезонов и быстрых (р > 1.2 ГэВ/с) нетентифицированных протонов. Доля К⁺-мезонов среди S⁺-частиц
оценкам не превышает 6%.

Экспериментальные данные были поправлены на Далиц-пары, ковертировавшие 8-кванмежащие к центру звезд 5-электроны, ковертировавшие 8-кванмечастицы и вторичные взаимодействия. В 8.4% событий невозбыло определить множественности и заряды всех вторичных
ми. Эта информация восстанавливалась розыгрышем по методу
ме-Карло с использованием полученных экспериментальных данных
звезд с определенными N_S , N_+ , N_- и N_ρ .

Общее число найденных событий в NeH₂-смеси с учетом попра-⇒ эффективность двойного просмотра оказалось равным ≈ 578 ± 100. По данным просмотра в выбранном эффективном объеме камеры определено сечение взаимодействия протонов в NeH₂-смеси $\mathbb{P}(PNeH_2)$. Нетрудно показать, что $\mathbb{O}(PNeH_2)$ равно

5(PNeH2)=85in(PNe)+2(1-8)5*(PP) (2.1)

= 8 = 0.309 - молярный состав неона;

(pNe) - неупругое сечение pNe-взаимодействий (как указывавыше, при просмотре регистрировались только события, сооттетвующие $G_{in}(pNe)$);

(pp) - полное сечение "видимых" соударений на свободных про-

- доля упругих pp-событий, нерегистрируемых вследствии мапробегов протонов отдачи в NeH₂-смеси.

В настоящем эксперименте регистрация протонов проводилась ная с импульсов р \$110 МэВ/с, что соответствует пробегам При этом, как показывает анализ дифференциальных сечетругого рр-рассеяния при 300 ГэВ/с /126/, в условиях настоэксперимента имеется потеря приблизительно 30% упругих заимодействий, т.е. коэффициент К в (2.2) равен К = 0.3.

из данных просмотра сечение $G(pNeH_2)$ оказалось равным $G_{in}(pNeH_2) = (162.8 \pm 2.5)$ мбн,

тведенная ошибка является статистической.

с использованием соотношения (2.1) и данных по измерениям (рр) и Сес(рр) при 300 ГэВ/с /126/, были определены сече
— супругого взаимодействия протонов с ядрами неона:

 $G_{in}(pNe) = (355.5 \pm 8.1)$ мбн.

Величина G_{in} (pNe) состоит из вклада неупругих сечении жогерентных, G_{prod} (pNe), и когерентных, G_{coh} (pNe), pNe-вза-

Используя данные работы /I27/ (рЕт-взаимодействия при Γ эВ/с) и предполагая, что $G_{coh}(pA) \sim A^{2/3}$, можно оценить сенеупругих когерентных рNе-взаимодействий:

$$\Theta_{pod}(pNe) = \Theta_{in}(pNe) - \Theta_{coh}(pNe) = (342 \pm 8.2) \text{ MGH.}$$

Полученные в настоящем эксперименте результаты по 6: (pNe) об (pNe) находятся в хорошем согласии с данными по сечениям и мА-взаимодействий в области энергий близких к 300 ГэВ и сданными при более низких энергиях /129/ (если проинтер-шировать эти данные по массовому числу ядра-мишени /15/).

§ 2.3. ОПРЕДЕЛЕНИЕ ДОЛИ КВАЗИНУКЛОННЫХ СОБЫТИЙ.

При анализе множественностей вторичных частиц в р Ne-взашействиях, соударения на свободных протонах смеси были вычстатистически двумя способами.

В первом, общее число р Nе-взаимодействий и распределения тественности в них определялись путем вычитания рр-соударе- использованием измеренных сечений р Ne- и рр-взаимодейст- распределений по множественности заряженных частиц в рр-шениях при 300 ГэВ/с /126,130/.

эторой способ заключался в определении полного числа pNeшений, N(pNe) с помощью соотношения (см., также /25/):

Значение коэффициента с (доля "pp"-взаимодействий на квавезободных нуклонах ядра неона) определялась через сечения pp в р N e H₂-соударений:

$$d = 1 + \frac{2(1-8)G^{*}(pp)}{G(pNeH_2)} \cdot \frac{N_{tot}}{N("pp")}$$
 (2.5)

 $N_{\rm tot}$ — полное число найденных событий в $N_{\rm eH_2}$ —смеси с учепоправок на эффективность регистрации. $S_{\rm em}=0.309$ — молярный неона. $S_{\rm em}^*$ (pp) — полное сечение "видимых" соударений на $S_{\rm em}$ протонах $S_{\rm em}$ смеси (см. (2.2)).

Нак показал анализ, оба метода вычитания взаимодействий на одных протонах NeH₂-смеси дают одинаковые в пределах погтей распределения по множественности вторичных частиц в ме-взаимодействиях.

Необходимо отметить, что события, классифицированные при просмотре как "pp"-взаимодействия, имеют распределение по мновственности всех заряженных частиц аналогичное /15/, полученв эксперименте с водородной камерой /126/.

Так как в настоящем эксперименте измерялись только идентифизованные вторичные протоны, то упругие pp-взаимодействия вычистатистически, с учетом данных по сечению упругих pp-соушений при импульсе 300 ГэВ/с /126/.

В результате введения поправок на эффективность регистрации после вычитания взаимодействий на свободных протонах NeH₂-полное число неупругих рNe-соударений составило (pNe) = 5792 ± 172.

Полное число протонов зарегистрированных при просмотре в транной эффективной области в событиях типа "pp", "p и" и транной составило — 10491.

соударев

§ 2.4. МЕТОДИКА ИЗМЕРЕНИЯ ПРОТОНОВ.

Измерения найденных при просмотре протонов производились в следующей последовательности.

На полуавтоматических устройствах ПИК /131/ измерялись ретера и координаты точек треков на 2-х стереопроекциях. Далее
терограммой ГеофитФТИ /132/ восстанавливалась пространственная
тертина взаимодействия, определялись основные параметры частиц теространственные координаты центра звезды, длина измеренного третеров.

Импульс коротких протонов (∠ 4 см) расчитывался только по пробегу в камере, а при длине более 4 см, как по пробегу так вривизне трека.

После анализа методических распределений координат вершины эды, угловых спектров пучковых протонов была выбрана следующая вективная область для первичных взаимодействий:

по оси Х -3 ÷ - Псм;

по оси У -26 + +20см;

по оси ₹ +8 ÷ +27;

 $1.54 \leq \beta \leq 1.59$;

-0.013 \(\psi \) +0.009,

угол между плоскостью XУ и касательной к треку (глубинный В - угол между осью X и проекцией касательной к следу в трести XУ в центре звезды.

Выбор таких ограничений соответствует минимальной длине жемого вторичного трека L = 15см, а также позволяет избаот примеси провзаимодействовавших в стенке камеры частиц.
Общее число измеренных событий с протонами после введения

граничений на эффективный объем для звезд составило N = 4392.

Для определения погрешности в определении пространственных сординат точек в камере, несколько раз измерялись координаты нек взаимодействия первичных треков. Полученные значения средвадратичных ошибок измерения пространственных координат Х,У, с оказались равными соответственно:

 $G_{\star} = 0.066 \text{ MM}, G_{\star} = 0.103 \text{ MM}, G_{\star} = 0.418 \text{ MM}.$

При определении импульсов частиц и их ошибок учитывались тические разбросы точек на следе, неопределенности в значении ентного поля, а также ошибки, обусловленные многократным рас---- Характеристикой качества измерения трека являлись расчитые на одну степень свободы величины $\int_{x,y}^{2}$ и $\int_{x,z}^{2}$ - степень разпоса измеренных точек относительно гладкой кривой (параболы), праемой в программе геометрической реконструкции, в плоскоси XZ соответственно. На основаниии методического анализа - распределений, критериями хорошего качества измерения тревыбраны их следующие значения $\int_{x,y}^{2} \leq 1.0$ и $\int_{x,y}^{2} \leq 1.0$, что тветствовало уровню достоверности 0.9. Для протонов отобпо этим критериям, средняя величина относительной ошибки теления импульсов 5 р/р оказалась равной: \leq 1%, для треков, еренных по пробегу и для протонов, измеренных по кривизне = p = (4.5 ± 0.1)%. Средние ошибки измерения углов составили: $= 0.0037, (5\beta) = 0.0017$ paguah.

§ 2.5. УЧЕТ ПОТЕРЬ ПРОТОНОВ И ФОНА СТ ЯДЕР.

торошее качество снимков с 30-дюймовой камеры, как уже мось, позволило эффективно идентифицировать протоны по в импульсном интервале 0.II ∠ р ∠ I.2 ГэВ/с. Однако, измерений, для дальнейшего анализа были оставлены толь-

тротоны с импульсами 0.13 ≤ p ≤ 1.0 ГэВ/с. Введение указанной рукней границы на импульсы протонов позволило в значительной ре исключить фон от п и К мезонов, доля которых среди треков, тентифицированных по ионизации как протоны и имеющих импульсы р 1.2 ГэВ/с составляет по оценкам ≤ 18% (для частиц, вытраницы под большими глубинными углами: |८|>60°). Введение нижраницы исключает потери протонов, вызванные невысокой эфтивностью регистрации медленных протонов отдачи.

После введения этих ограничений полное число протонов с имсами 0.13 ≤ p ≤ 1.0 ГэВ/с составило N = 9374.

На отобранные протоны вводились веса по азимутальному углу и глубинному углу с (из требования изотропности спектра по при введении весов учитывались небольшие потери среди крузнергичных протонов (р > 0.7 ГэВ/с), вылетающих в верхнюю повыдерений и незначительную примесь п и К незонов среди тревылетающих в нижнюю половину камеры под углами | с | > 60°. Обнормировки весов по у и с выбиралась максимально благонормировки весов по у и с выбиралась максимально благотной для однозначной идентификации протонов с высокой эффектестью: | с | 60°; 0 с у с 0.63 рад; 2.52 с у с 3.77 рад;

 приходится на область импульсов p < 0.2 ГэВ/с /23/.

дя обработки данных, полученных с помощью методики пузырькамер, необходимо располагать системами, автоматизирующими обработки фильмовой информации.

Существующие и развиваемые автоматизированные системы, пред-

- штоматические системы, использующие сканирующие устройства скоростью съема информации /135/;
- всех этапах обработки фильмовой информации /135/.

правило, автоматические системы обработки дают хорошие таты в случае обработки снимков с малым числом первичных и событиями простой топологии. Их средняя производительсоставляет $\sim 0.3 \times 10^6$ событий в год.

Однако существует ряд причин, приводящих к значительным днениям при эксплуатации таких систем: плохое качество вов, большая множественность вторичных частиц в событиях, мация этих частиц в узком конусе в экспериментах при высовнергиях и т.д. Необходимо отметить также, что внедрение втических систем связано с большими материальными затрататеребует хорошей технологической базы и значительного штата выквалифицированных специалистов.

В отличии от автоматических, полуавтоматические системы

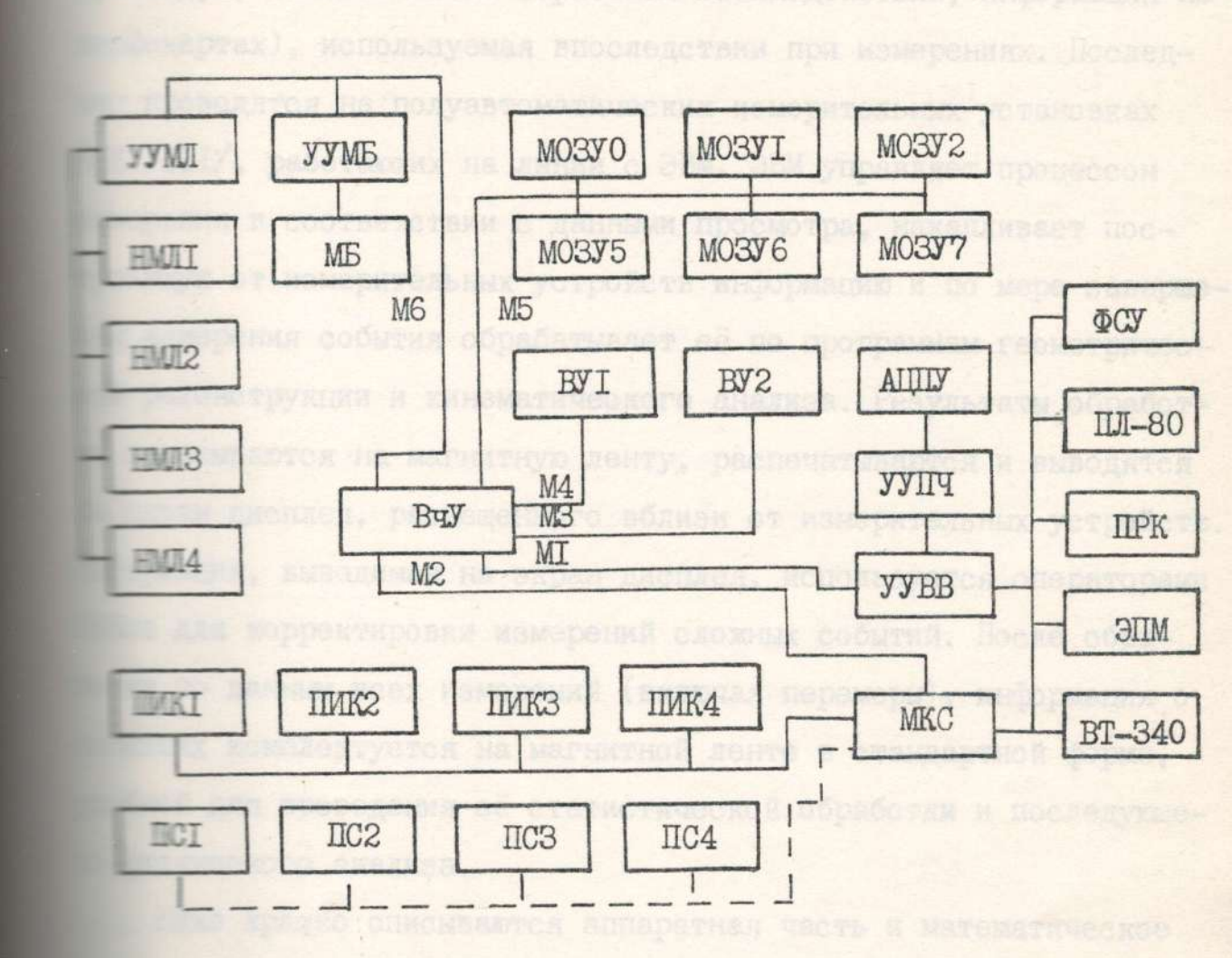
женее прихотливы и, несмотря на сравнительно низкую скорость жерений, оказываются в отдельных случаях более эффективными 135/. Добавим также, что для небольших организаций они, по-ви-

Описываемая нами полуавтоматическая система обработки фильвой информации с пузырьковых камер /19-21/ создавалась в сраввтельно небольшом институте и это наложило свою специфику. Сисориентировалась на имеющиеся вычислительные мощности, готоизмерительные приборы и программы. Определяющими были следутребования:

- система должна позволять обрабатывать несколько десятков тысяч тереофотографий в год;
- шпаратная часть и математическое обеспечение должны быть досшочно гибкими, обеспечивая возможность обрабатывать даннные шичных экспериментов;
- тдельные этапы обработки снимков должны быть согласованы так, экспериментатор был по-возможности освобожден от ручной приводящей к многочисленным ошибкам.

Структура созданной нами системы приведена на рис. 2.2. Она тавляет собой управляющий измерительно-вычислительный комсозданный на базе ЭВМ М-222 и просмотрово-измерительного дования (4 просмотрово-измерительных стола (ПС) и 4 полузатических измерительных установок ПИК /131/). Для расширевозможностей диалога операторов измерительных устройств в внешних устройств ЭВМ был введен алфавитно-цифровой дисВидеотон-340".

Обработка стереофотографий в системе организована следующим советствии с требованиями проводимого экспери—



Ржс. 2.2. Блок-схема измерительно вычислительного комплекса

метировиный стол (ПС) проинванамен для иров-

■ента. На отобранные события заводится документация (журналы просмотра, схематические зарисовки взаимодействий, информация на терфокартах), используемая впоследствии при измерениях. Последте проводятся на полуавтоматических измерительных установках выерения в соответствии с данными просмотра, накапливает посправиную от измерительных устройств информацию и по мере завершеизмерения события обрабатывает её по программам геометричесреконструкции и кинематического анализа. Результаты обработ-📨 записываются на магнитную ленту, распечатываются и выводятся экран дисплея, размещенного вблизи от измерительных устройств. выводимая на экран дисплея, используется операторами для корректировки измерений сложных событий. После обрапо данным всех измерений (включая перемеры), информация о тиях комплектуется на магнитной ленте в стандартной форме, проведения её статистической обработки и последующетезического анализа.

Ниже кратко описываются аппаратная часть и математическое

2.6.1. ПРОСМОТРОВО-ИЗМЕРИТЕЛЬНОЕ ОБОРУДОВАНИЕ.

Установки ПС и ПИК - это полуавтоматические приборы, в ковоординаты измеряемой точки на стереофотографии определявотоматически, а такие операции как установка нужного кадвознавание изображения и точный подвод измерительной метки
водится оператором.

тереофотографий и проведения предварительных измерений не хуже 20мкм. Он имеет одну проекционную систему,

прости: "быстрый" ход — I м/сек и "медленный" ход — 20 мм/сек. Теличение проекционной системы сменное — I2 ÷ 25^X. В настоящем велерименте ПС использовались только для просмотра.

ПИК — это полуавтоматическое измерительное устройство смонтованное на базе микроскопа УИМ-2I /I3I/. ПИК оснащен автоматитованным лентопротяжным устройством и электрическим приводом
терительной метки. Датчиками перемещений измерительного стола
тат дифракционные решетки. Максимальное поле измерения 100х
2. Шаг линий дифракционных решеток — 10мкм. С учетом того,
схемы логической обработки сигналов с датчиков перемещений
тольног функции 4-х кратного нониуса, цена отсчета проводимых
ТКах измерений составляет — 2.5мкм.

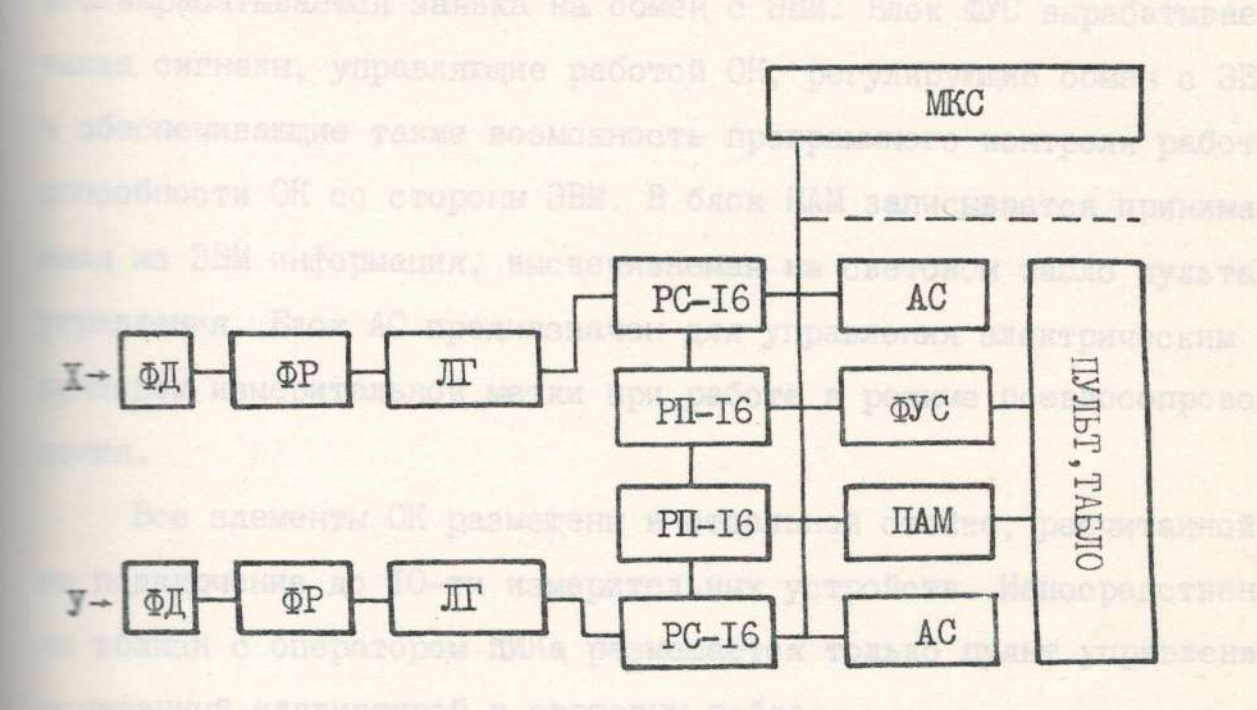
На рис. 2.3 приведена блок-схема отсчетного канала (ОК), обзавищего работу измерительных устройств. ОК включает в себя

- трирователи сигналов датчиков перемещений (ФР);
- погической обработки сигналов (ЛГ);
- резерсивный 16-ти разрядный счетчик (РС-16);
- Ти разрядный регистр памяти (РП-16);
- провательуправляющих сигналов (ФУС);
- втосопровождения (АС);
- вые памяти (ПАМ);
- табло.

Принцип работы ОК следующий. Сигналы с фотодиодов датчика

— ечений через формирователи (ФР) поступают в блок логической

тки сигналов (ЛГ), далее в реверсивный 16-ти разрядный счет-



SECOM

Рис. 2.3. Блок-схема отсчетного канала измерительных устройств.

интов магистрали MI за MSC закрешлен висини приоритет, пос-

(РС-16). Реализованная схема логической обработки сигналов применялась в /131/. Регистрация измеренной точки происхопо нажатию соответствующей кнопки на пульте управления. При содержимое РС-16 паралельно переписывается в РП-16 и блоком вырабатывается заявка на обмен с ЭВМ. Блок ФУС вырабатывает сигналы, управляющие работой ОК, регулирующие обмен с ЭВМ сеспечивающие также возможность программного контроля работопо обности ОК со стороны ЭВМ. В блок ПАМ записывается принимаиз ЭВМ информация, высвечиваемая на световом табло пульта равления. Блок АС предназначен для управления электрическим при работе в режиме псевдосопровож-

Все элементы ОК размещены в отдельной стойке, расчитанной содключение до IO-ти измерительных устройств. Непосредственвблизи с оператором ПИКа размещается только пульт управления,
шенный клавиатурой и световым табло.

Обмен с ЭВМ осуществляется паралельным 40 разрядным кодом мультиплексор (МКС), представляющий собой коммутатор на вонентов. МКС, как и дисплей ВТ-340, подключен к ЭВМ через вгистраль МІ. При управлении вводом-выводом данных МКС промения последовательный опрос измерительных устройств с целью вления сообщений, ожидающих передачи в ЭВМ. Дисциплина обслушия - безприоритетная, выбор прибора для обслуживания из ожидающих, осуществляется в циклической последовательности. На каком-либо из приборов имеется информация, то дальней опрос прекращается до завершения обмена с ЭВМ. Так как среди вентов магистрали МІ за МКС закреплен высший приоритет, поставля информация обрабатывается сразу же (т.н. режим реально-времени).

§ 2.6.2. МАТЕМАТИЧЕСКОЕ ОБЕСПЕЧЕНИЕ СИСТЕМЫ.

Математическое обеспечение системы включает в себя управляпрграмму "Дистрек" /21/ и программу геометрической реконстшим и кинематического анализа "ГеофитФТИ" /132/. Рассмотрим
их структуру.

Управляющая программа "Дистрек" была создана на базе прог-"Диспетчер" математического обеспечения ЭВМ М-222 /134/. расширены блоки обработки прерываний магистрали МІ и добавпрграммы исполнители:

- "вывод на дисплей BT-340";
- "ввод с МКС";
- "вывод через МКС".

позволило осуществлять обмен с дисплеем и измерительными ройствами в программном режиме. Управление обменом с измеривыными устройствами производит программа-монитор (ПМ), постоянразмещенная в системном кубе МОЗУ ЭВМ. ПМ контролирует состоизмерения на всех устройствах и осуществляет настройку освыных программных блоков на обслуживание абонентов, вышедших связь. Функции обслуживания включают в себя:

- правление процессом измерения в соответствии с последователь— этапов данного эксперимента;
- троведение предварительного контроля за качеством проводимого терения;
- векопление данных измерения;
- тормирование принимаемой с ПИКов информации в формате входных программы "ГеофитФТИ";
- «беспечение возможности редактирования накопленных данных и женения последовательности этапов измерения;

- ганизация банка измереных событий;
- тограммный контроль работоспособности ОК и измерительных уст-

Взаимодействие с фоновой задачей ЭВМ — программой "Геофитосуществляется через прерывание таймера ЭВМ.

Программа "ГеофитФТИ" была разработана в ФТИ АН УзССР /132/
зе программ "I-6" и "2-4" /136/ для обработки снимков с прох пузырьковых камер ОИЯИ (г.Дубна). В настоящем эксперименторитмы программ и организация обработки в "ГеофитФТИ" не
жлись. Были внесены, только, оптические константы 30-дюймозмеры, таблица значений её магнитного поля и параметры её
-смеси.

Отметим в заключение данного параграфа, что совмещение из
и с обработкой позволило существенно упростить способы хра
и упорядочения данных и использовать значительный резерв

организации обработки измерительной информации явилось то,

организации обработки измерительной информации явилось то,

тераторам измерительных устройств предоставлялась возможность

измерения благо
пормации, выводимой на экран дисплея. Это особенно важно

таботке событий с большой множественностью и сложной топо-

РЛАВА III. ХАРАКТЕРИСТИКИ ВТОРИЧНЫХ ПРОТОНОВ В НЕУПРУГИХ ВЗАИМОДЕЙСТВИЯХ ПРОТОНОВ С ЯДРАМИ НЕОНА И НУКЛОНАМИ

В настоящей главе представлены результаты экспериментальножеследования характеристик вторичных протонов в некогерентинклюзивных реакциях

$$p + 20 Ne - p + X$$
 (3.1)

Отметим, что в области первичных энергий $E_0 > 40$ ГэВ /45/

ветериментальных данных (полученных в условиях 4п-геометрии)

мпульсным и угловым спектрам вторичных протонов в hA-взаимоветвиях практически не имеется.

Приводятся данные по множественности, импульсным и угловым трам протонов с импульсами 0.13 ≤ p ≤ 1.0 ГэВ/с. Рассмотрены треляции между множественностями протонов и их инклюзивными треми. Проведен сравнительный анализ неупругих процессов (3.1)

$$p + p - p + X$$
 (3.2)

$$p + n \rightarrow p + X$$
 (3.3)

жественности и инклюзивные спектры протонов, вылетающих назад $> 90^{\circ}$) в л.с.к.

§ 3.1. МНОЖЕСТВЕННОСТЬ ВТОРИЧНЫХ ПРОТОНОВ

Средние множественности вторичных протонов для разных имсных интервалов в реакциях (3.1) – (3.3) приведены в таблице Отношение $R(\langle n_p \rangle) = \langle n_p \rangle_{pN_e} / \langle n_p \rangle_{pN}$, как видно из данных,

Таблица 3.1. Средние множественности и соответствующие характеристики вторичных протонов в р Ne-, рр- и ри -взаимодействиях при 300 ГэВ/с.

		KI HIM	ibi ibi		
Импульсы протонов	и7 /15,11 начес	<pre>Lnp>pNe</pre>	Seor	G 9 B	S No S No S
(Lab/c)	046 aa6 4 180°	0 4 gag 4 900	ما م	7 d d .	K= CnpspN
0.13-0.2	0.452±0.010	0.231±0.007	0.032±0.007	0.018±0.005	9.24±1.95
0.2-0.5	0.756±0.015	0.539±0.012	0.152±0.010	0.082±0.009	4.61±0.41
0.5-1.0	0.455±0.010	0.404±0.010	0.135±0.008	0.073±0.0II	3.88±0.31
0.13-1.0	1.663±0.025	1.174±0.017	0.319±0.010	0.173±0.011	4.89±0.2I
годп кцД	Для протонов, испущенных	к вперед в л.с.к. (Ө _{тоб} ≤ 90°).	(⊕, oK ≤ 90°).	N DDE O BAR SHOCK P COO VICEN	9 A 6 H MH P M G H
			Jan		

следствием различия импульсных спектров вторичных протонов в следствием различия импульсных спектров вторичных протонов в следствием различия импульсных спектров вторичных протонов в

Распределение по множественности протонов с импульсами

2 ≤ p ≤ I.0 ГэВ/с в р Nе-взаимодействиях представлено на рис.З.І.

тедняя множественность таких протонов оказалась равной

1.2I ± 0.02. Медленные протоны, имеющие импульсы р ∠ 0.2

в/с, были исключены так как в основной своей массе эти протоняляются продуктами "испарения" возбужденных остаточных ядер, развала ядра неона (см., § 3.2 и § 3.3) и слабо коррелироватороцессами образования пионов.

Кривая на рис. З. I соответствует расчетам по модели /38/, пасно которой вторичные нуклоны рассматриваются, как продуквыбивания внутриядерных нуклонов (нуклоны отдачи) в процессах перассеяния первичной и вторичных частиц. Согласно этой моденаждое столкновение внутри ядра дает независимый вклад в обраспределение. Распределение Р (пр) от каждого из этих столкновений описывается функцией

$$P_{\nu=1}^{A} = (1-x)^{\nu} \cdot x^{n_{p}}$$
 (3.4)

 $= X = \frac{\langle n_p \rangle / \langle v \rangle}{1 + \langle n_p \rangle / \langle v \rangle};$

- среднее число внутриядерных столкновений (в р Ne-соударе-

- средняя множественность протонов, определяемая из экспери-Для \mathcal{V} -столкновений формула (3.4) принимает вид

$$P_{\gamma}^{A}(n_{p}) = C_{n_{p}}^{h_{p}+V-1}(1-x)^{V} \cdot x^{n_{p}}$$
 (3.5)

Распределение по множественности протонов получается сумв станием по всем √ , то есть

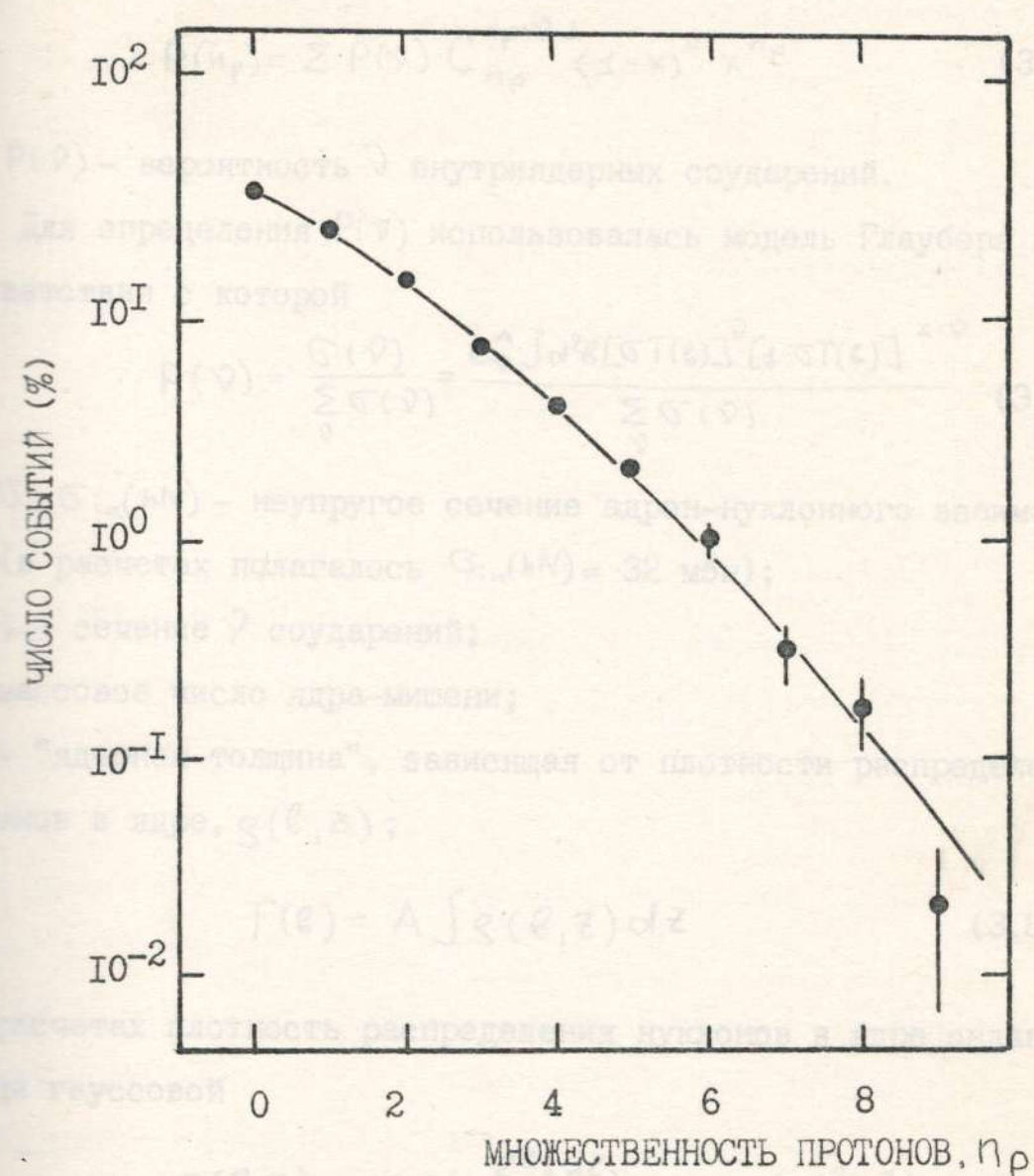


Рис.З.І. Распределение по мнжественности вторичных протонов с импульсами 0.2≤ р≤І.0 ГэВ/с в р№е-взаимодействиях. Кривая - расчет по модели, описанной в тексте.

$$P(n_p) = \sum P(\gamma) \cdot C_{np}^{n_p + \gamma - 1} (1 - \chi)^{\gamma} \cdot \chi^{n_p}$$
 (3.6)

⇒ Р(У) - вероятность Э внутриядерных соударений.

Для определения P(v) использовалась модель Глаубера в

пответствии с которой

$$P(\lambda) = \frac{2(\lambda)}{2(\lambda)} = \frac{C_{\lambda}^{4} \int_{0}^{2} \left[c_{\lambda} \int_{0}^{2} \left[c$$

те бебім(hN) - неупругое сечение адрон-нуклонного взаимодейст-

- вые (в расчетах полагалось $G_{in}(hN) = 32$ мбн);
- сечение у соударений;
- массовое число ядра-мишени;
- "ядерная толщина", зависящая от плотности распределения в ядре, g(ℓ,≥);

$$T(\ell) = A \int g(\ell, z) dz \qquad (3.8)$$

расчетах плотность распределения нуклонов в ядре задавалась распределения нуклонов в ядре задавалась распределения нуклонов в ядре задавалась

$$S(6,z) \sim \exp(-\frac{6^2+z^2}{a^2}) \sim \exp(-d^2r^2)$$
 (3.9)

 $\mathcal{L}^2 = 0.166 \, \text{фм}^{-2} \, \text{взятым из данных по рассеянию элек-}$ /139/.

сравнения экспериментального распределения с расчетным что модель независимого испускания нуклонов достаточно описывает распределение по множественности протонов в заимодействиях.

§ 3.2. ИМПУЛЬСНЫЕ СПЕКТРЫ ПРОТОНОВ.

Распределения по импульсам вторичных протонов в реакциях

3.1)-(3.3) представлены на рис.3.2. Данные в рNe-взаимодейсттах приведены для протонов, вылетающих под углами $0 \le \Theta_{\text{na6}} \le 180^{\circ}$ т.е. все вторичные протоны) и $0 \le \Theta_{\text{na6}} \le 90^{\circ}$ (испущенные вперед вл.с.к.).

В протон-нуклонных соударениях спектры вторичных протонов

$$G(\rho) = \frac{1}{\sigma_{in}} \frac{d\sigma}{d\rho} = A \rho^{d} \exp(-\beta \rho^{2}) \qquad (3.10)$$

параметрами:

 $\rho = 0.89 \pm 0.12$; $\rho_{\rho\rho} = 3.02 \pm 0.28$; $\rho_{pp} = 1.67 \pm 0.32$; $\rho_{pp} = 1.67 \pm 0.32$; $\rho_{pp} = 1.67 \pm 0.32$; $\rho_{pp} = 1.06 \pm 0.23$; $\rho_{pp} = 1.67 \pm 0.47$; $\rho_{pp} = 1.30 \pm 0.44$; $\rho_{pp} = 1.06 \pm 0.23$; $\rho_{pp} = 1.30 \pm 0.44$; $\rho_{pp} = 1.67 \pm 0.32$;

Совпадение параметров и в в (3.10) для pp- и pn-соудауказывает на подобие в формах импульсных распределений втопротонов в реакциях (3.2) и (3.3).

Из данных для рNе-взаимодействий видно, что в импульсном тре протонов имеется статистически обеспеченное отклонение онотонного убывания С(р) с р в области р ≈ 0.3-0.5 ГэВ/с.

не такой структуры ("плечо") наблюдалось также в п С-взаимо-твиях при 4 ГэВ/с /141,142/, 5 ГэВ/с /143/, 40 ГэВ/с /45,46/,

заимодействиях при 7 ГэВ/с /142/, а также в ряде работ при энергиях по фотоядерным /144/, протон- и ядро-ядерным рениям /145/. Это явление, которое имеет тенденцию к более проявлению на относительно легких ядрах (см., в этой /146/) интерпретируется рядом авторов /144,147/, как прокороткодействующих корреляций внутриядерных нуклонов.

протонов обнаруживается также, если представлять экспе-

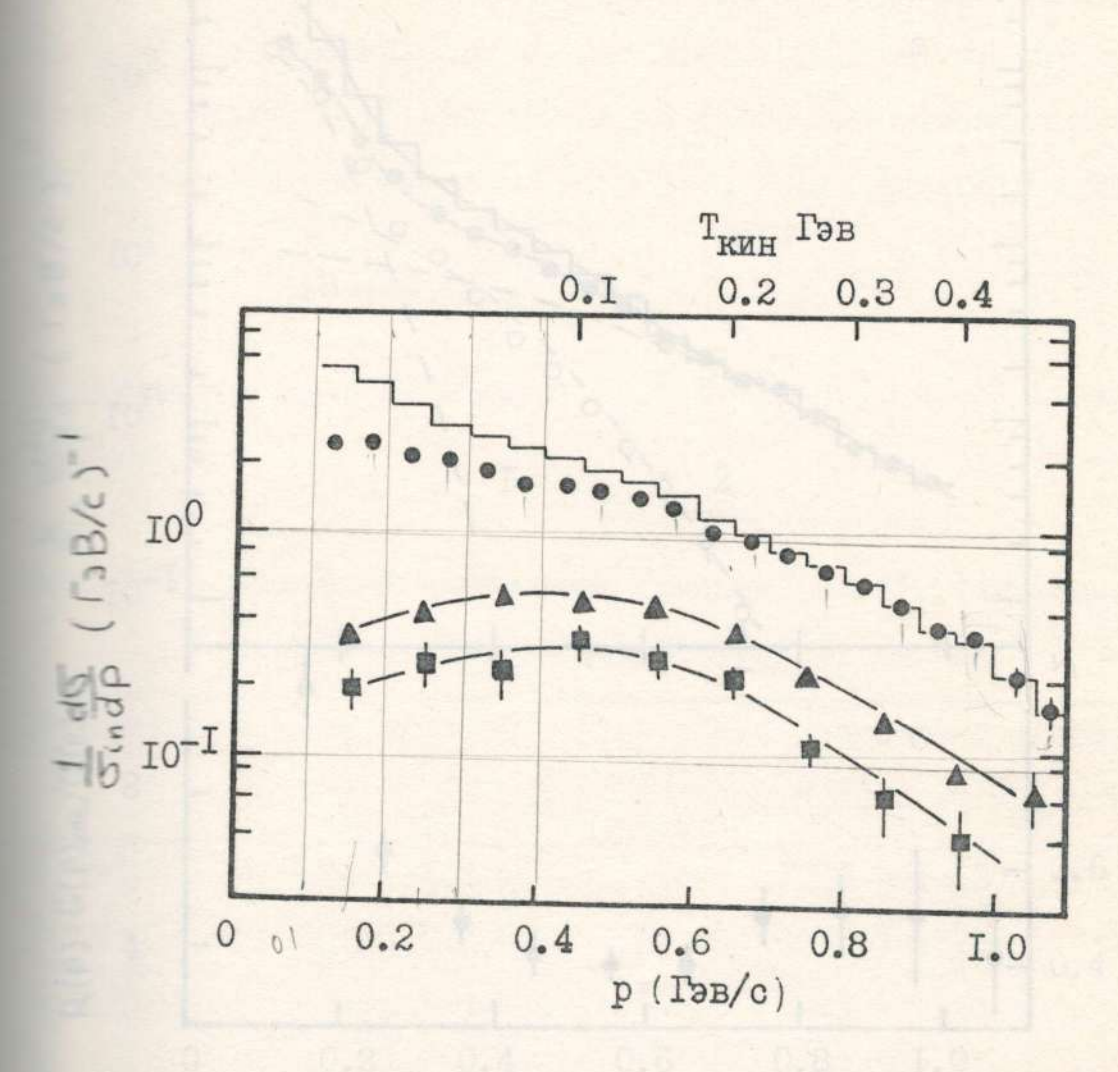
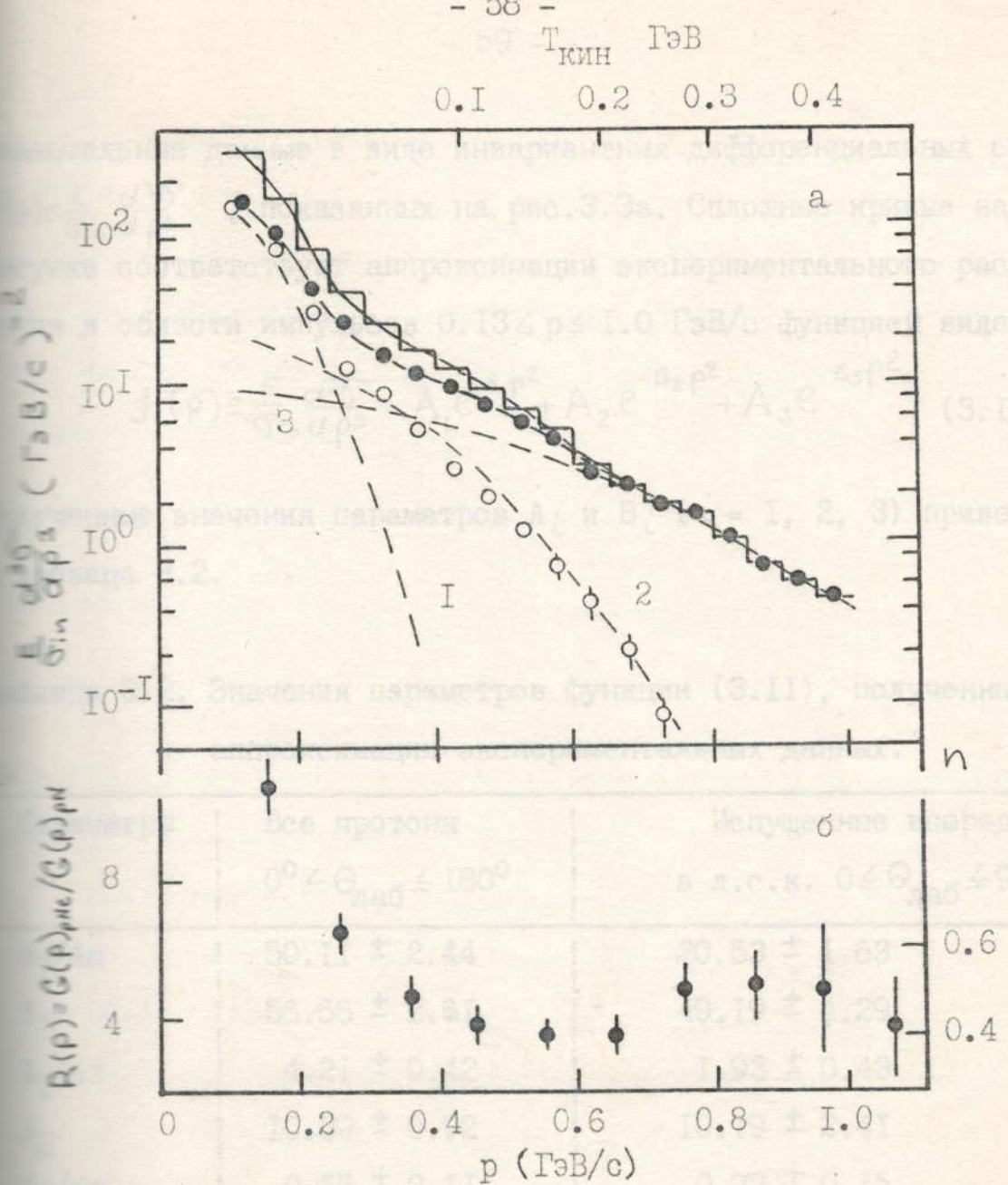


Рис.3.2. Импульсные спектры вторичных протонов в соударениях протонов с ядрами неона (гистограмма – $0^{\circ} \leq \Theta_{\text{лаб}} \leq 180^{\circ}$; $\phi = 0^{\circ} \leq \Theta_{\text{лаб}} \leq 90^{\circ}$), с протонами (ϕ) и нейтронами (ϕ) при 300 ГэВ/с. Кривые – результаты аппроксимации р ϕ –данных функцией (3.10).



- за) Инвариантные дифференциальные сечения протонов в р N е-взаимоцействиях (гистограмма – $0^{\circ} \le \theta_{\text{даб}} \le 180^{\circ}$; $\phi - 0^{\circ} \le \theta_{\text{даб}} \le 90^{\circ}$; $\phi - 90^{\circ} \le \theta_{\text{даб}} \le 180^{\circ}$). Сплошные кривые - результаты аппроксимации функцией (3.11). Штриховые кривые (1,2,3) показывают вклад каждого экспоненциального члена функции (3.11).
 - б) Отношение ди ференциальных спектров протонов в р N е- и р N -взаимодействиях при 300 ГэВ/с. Правая шкала соответствует значениям показателя N в параметризации (3.16).

ентальные данные в виде инвариантных дифференциальных сечений $\mathbf{p} = \frac{E}{G_{\text{tot}}} \frac{d^3G}{d\rho^3}$, показанных на рис. 3. 3а. Сплошные кривые на этом унке соответствуют аппроксимации экспериментального распредежия в области импульсов $0.13 \le p \le 1.0$ ГэВ/с функцией вида

$$f(\rho) = \frac{E}{G:n} \frac{d^3G}{d\rho^3} = A_1 e^{-B_1 \rho^2} + A_2 e^{-B_2 \rho^2} + A_3 e^{-B_3 \rho^2}$$
(3.11)

таблице 3.2.

аппроксимации экспериментальных данных.

Параметры	Все протоны	Испущенные вперед в л.с.к. $0 \le \Theta_{\text{na6}} \le 90^{\circ}$	
ь соли при	0° ≤ ⊖ _{лаб} ≤ I80°		
A _I /4п могу	50.II ± 2.44	20.53 ± 1.63	
B _I Turne of	56.66 ± 2.6I	49.I9 ± 4.29	
12/4п	4.2I ± 0.42	I.93 ± 0.43	
32	I0.39 ± 0.92	10.19 ± 2.41	
13/4п	0.65 ± 0.II	0.77 ± 0.15	
3	3.12 ± 0.18	3.30 ± 0.19	
/ч.с.с.	1.41	1.01	

f(p)) в данном случае неудовлетворительно ($\int_{-\infty}^{\infty} 4.c.c. \approx 5$)

Вклады каждой экспоненциальной функции в (3.II) показаны на 3.За в виде штриховых кривых. При этом обращают на себя внисте следующие особенности.

Полученное значение параметра В_Іоказывается очень близким величине параметра наклона импульсного спектра нуклонов вследнии фермиевского движения. Действительно, если воспользоваться уссовой функцией (3.9) для распределения плотности нуклонов в неона, то импульсный спектр внутриядерных нуклонов, как непоказать через фурье-преобразование, будет иметь вид

$$f(p) \sim \exp(-3ep^2)$$
 (3.12)

параметр ж связан с 2 в (3.9) соотношением

$$\mathcal{H} = 1/4d^2 \tag{3.13}$$

 $\mathcal{A}^2 = 0.166 \text{ фм}^{-2} \text{ (см. § 3.1)}$ в выражение (3.13) полужение $\mathcal{A}^2 = 38.8 \text{ (ГэВ/с)}^{-2}$, что неплохо совпадает с параметром если принять во внимание неопределенности в задании \mathcal{A}^2 , принять для неона $\simeq 10-20\%$ /139/.

Таким образом, можно утверждать, что подавляющая (~80%) то наблюдаемых протонов, испушенных как вперед, так и назад то.к. и имеющих импульсы $p \le 0.2$ -0.25 ГэВ/с, образуется от ессов "испарения" возбужденных остаточных ядер (т.е. нукломерт импульсы, присущие только внутриядерному движению). нуклоны, согласно общепринятой точке зрения, весьма слабо едированы с процессами рождения пионов и подтверждением служит, например, очень слабая зависимость средних множестей п—мезонов от числа протонов с импульсами $p \le 0.25$ см., таблицу 3.3. Напомним, что $< n_p >$ растет с $< n_p >$ довольшьно, $< n_p >$ = 3.8 + 0.6 $< n_p >$ если учитывать все (т.е. включая ичные $< n_p >$ 0.3 ГэВ/с) вторичные протоны в $< n_p >$ 8.8 соударениях

от числа протонов с импульсами 0.13 ≤ p ≤ 0.25 ГэВ/с в р N е-взаимодействиях при 300 ГэВ/с.

ne	т тоя Г заних	2 00 000	3 a hpc	4
<==>	5.69±0.12	6.38±0.20	6.34 [±] 0.32	6.95±0.80

Кривая 3 на рис.3.За соответствует вкладу третьего экспошиального члена в выражении (3.II). Значение параметра В_З
зывается совпадающим в пределах погрешностей с данными для
тотон-нуклонных соударений. Этот результат, следовательно, моозначать, что третий экспоненциальный член в (3.II) отражаимпульсный спектр протонов, являющихся в основном, продуктавыбивания внутриядерных нуклонов в процессах перерассеяния
выбивания вторичных частиц^ж). Вклад таких протонов, как видно
рис.3.За, становится доминирующим при р ≈0.4-I.0 ГэВ/с.

Наконец, особый интерес вызывает кривая 2. На рис. 3. За

виде светлых точек показан импульсный спектр протонов, вылещих назад в л.с.к. и видно, что второй экспоненциальный член

(3.11) хорошо воспроизводит данные в области р≈0.3-0.7 ГэВ/с.

этом значение параметра В₂, полученное при аппроксимации

ектра протонов, вылетающих вперед в л.с.к. в пределах погрештей совпадает с данными других экспериментов по изучению

ектров протонов, вылетающих назад в л.с.к. в широком интервапервичных энергий /52,99/. Следовательно, можно утверждать,

Проведенный анализ показывает, что фермиевское движение жлонов незначительно меняет форму импульсного распределения жлонов отдачи.

части протонов, вылетающих в переднюю полусферу и для ов испущенных назад в л.с.к. с импульсами р≈0.3-0.7 ГэВ/с ответственен единый механизм, интепретация которого оящее время затруднительна. В принципе, не исключено, что ая доля таких нуклонов образуется в процессах поглощения пионов или резонансов в ядрах малонуклонными система—
37,98/.

Таким образом, экспериментальные данные, по-видимому, поварт что импульсное распределение протонов в р N е-взаимодейявляется суперпозицией спектров от трех (как минимум) мевов образования нуклонов, относительный вклад которых в
тельной степени зависит от импульсов вторичных протонов.
Отношение дифференциальных сечений

ротонов испущенных вперед в л.с.к., в рNе- и рN-взаимовиях представлено на рис.3.36. При получении спектров для воздарений pp- и pn-данные усреднялись по нуклону-мишени*)

$$G(p) = \frac{1}{2} \left[G_{pp}(p) + G_{pn}(p) \right]$$
 (3.15)

тункцией р и при р \geqslant 0.5 ГэВ/с R (р) приблизительно постоянравно R (р) = 3.88 \pm 0.31 (см., таблицу 3.1) в интервале 0.5 \leq р \leq 1.0 ГэВ/с. Это значение существенно превышает

ж тому, что спектр протонов в р N -взаимодействиях имеет погрешности.

величину <>>> (<>>= 2.0), что может свидетельствовать о больдой роли процессов перерассеяния в образовании вторичных протонов с импульсами существенно превышающими фермиевские.

Правая шкала на рис.3.36 соответствует показателю и в параметризации

$$R(\rho) \sim A^{\prime\prime}$$
 (3.16)

тде A — массовое число ядра мишени. Из экспериментальных данных следует, что $n \simeq 0.9$ для медленных протонов ($p \simeq 0.15$ ГэВ/с) и $n \simeq 0.45 \pm 0.07$ при импульсах $0.5 \leq p \leq 1.0$ ГэВ/с. Последнее значение больше чем N = 1/3, предсказываемое в моделях адронерных взаимодействий, в которых не учитываются процессы пережесеяния (каскад) вторичных частиц.

Анализ данных показывает, что за такое поведение R(p) стветственна, в основном, продольная составляющая импульсов ротонов p_{ij} — из рис. 3. 4а видно, что $R(p_{ij}) = C_{pNe}(p_{i})/C_{pN}(p_{i})$ в ложе время, отношение ектров поперечных импульсов протонов в $R(p_{\perp}^2) = C_{pNe}(p_{\perp}^2)/C_{pN}(p_{\perp}^2)$ в интервале $R(p_{\perp}^2) = C_{pNe}(p_{\perp}^2)/C_{pN}(p_{\perp}^2)$ в области $R(p_{\perp}^2) = 0.5$ ($R(p_{\perp}^2) = 0.5$ области $R(p_{\perp}^2) = 0.5$ области R

Как видно из рис. 3.5 функция $G(p_{\perp}^2)$ удовлетворительно опи-

$$G(\rho_{\perp}^{2}) = \sigma_{in}^{-1} \frac{d\sigma}{d\rho_{\perp}^{2}} = A_{\perp} \exp(-\beta_{\perp} \rho_{\perp}^{2})$$
 (3.17)

параметрами: $A_{\perp} = 6.67 \pm 0.30$; $\beta_{\perp} = 7.53 \pm 0.19 (ГэВ/с)^{-2}$;

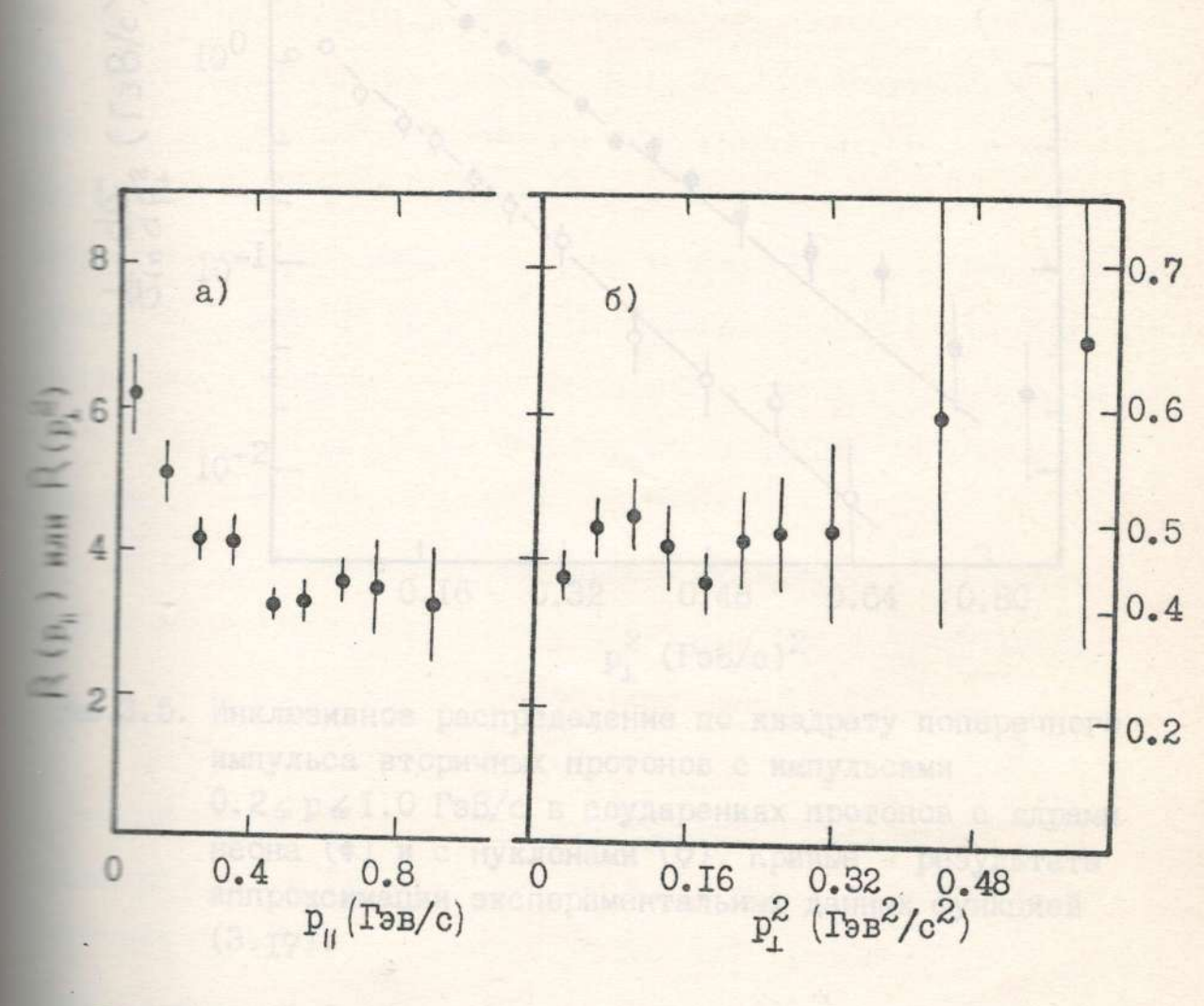


Рис.3.4. Отношение дифференциальных сечений по продольным (а) и квадратам поперечных (б) импульсов протонов с 0.2 ≤ p ≤ I.0 ГэВ/с в pNe- и pN- взаимодействиях.

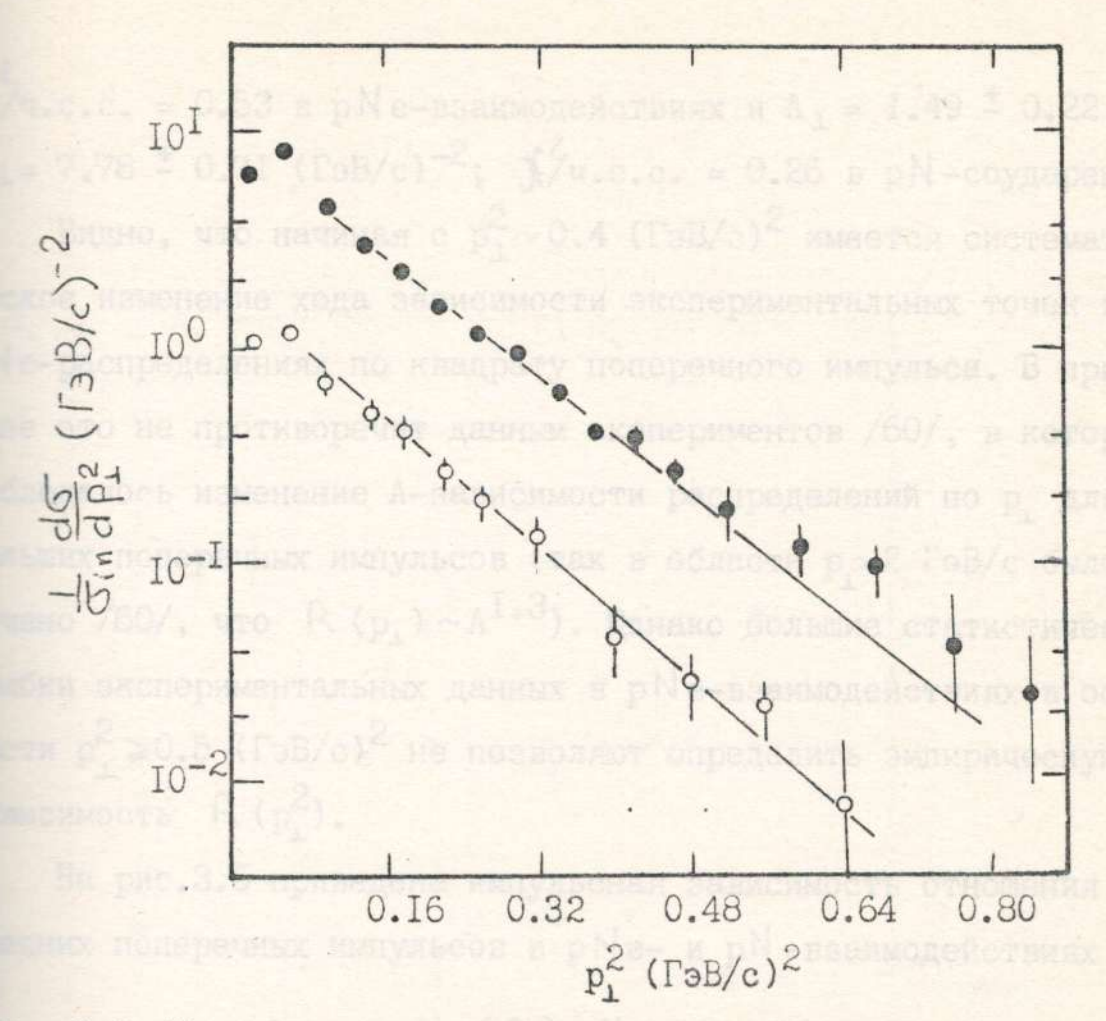


Рис.3.5. Инклюзивное распределение по квадрату поперечного импульса вторичных протонов с импульсами 0.2 ≤ p ≤ I. О ГэВ/с в соударениях протонов с ядрами неона (♦) и с нуклонами (♦). Кривые – результаты аппроксимации экспериментальных данных функцией (3.17).

 $N_{\text{ч.с.с.}} = 0.53$ в рNе-взаимодействиях и $A_{\perp} = 1.49 \pm 0.22$; $A_{\perp} = 7.78 \pm 0.71$ (ГэВ/с)⁻²; $\Lambda_{\text{ч.с.с.}} = 0.26$ в рN-соударениях.

Видно, что начиная с $p_{\perp}^2 \sim 0.4$ $(\Gamma_9B/c)^2$ имеется систематиское изменение хода зависимости экспериментальных точек в
ме-распределениях по квадрату поперечного импульса. В принвто не противоречит данным экспериментов /60/, в которых
млюдалось изменение А-зависимости распределений по p_{\perp} для
млюдалось изменение А-зависимости распределений по p_{\perp} для
млюдалось изменение (так в области $p_{\perp} > 2$ ГэВ/с было помено /60/, что $p_{\perp} = 2$ Сувина облышие статистические
мли экспериментальных данных в $p_{\perp} = 2$ Взаимодействиях в обмли $p_{\perp}^2 > 0.5$ (ГэВ/с) не позволяют определить эмпирическую

На рис.3.6 приведена импульсная зависимость отношения тедних поперечных импульсов в pNe- и pN-взаимодействиях

$$\mathcal{D}(\rho) = \frac{\langle \rho_{\perp} \rangle_{\rho N_e}}{\langle \rho_{\perp} \rangle_{\rho N}} \tag{3.18}$$

правой шкале рисунка приведены значения показателя N_{\perp} в раметризации $\delta(p) \sim A^{N_{\perp}}$ Обдельно приведены также отношения $\delta(p)$ для протонов вылетающих вперед (гистограмма) и назад светлые кружки) в л.с.к. Как видно из рисунка, данные настоего эксперимента указывают на существование A-зависимости в редних поперечных импульсах вторичных протонов в pNe-соударемих, сильнее проявляющейся с переходом в высокоимпульсную спектра. Подчеркнем также существенное различие в повении функции $\delta(p)$ для протонов вылетающих назад $(90^{\circ}2)^{\circ}6$ даб $\leq 90^{\circ}1$ в pNe-взаимодействиях в л.с.к.

§ 3.3. КОРРЕЛЬЦИИ МЕЖДУ р и р ...

В настоящей работе были рассмотрены также корреляции меж-

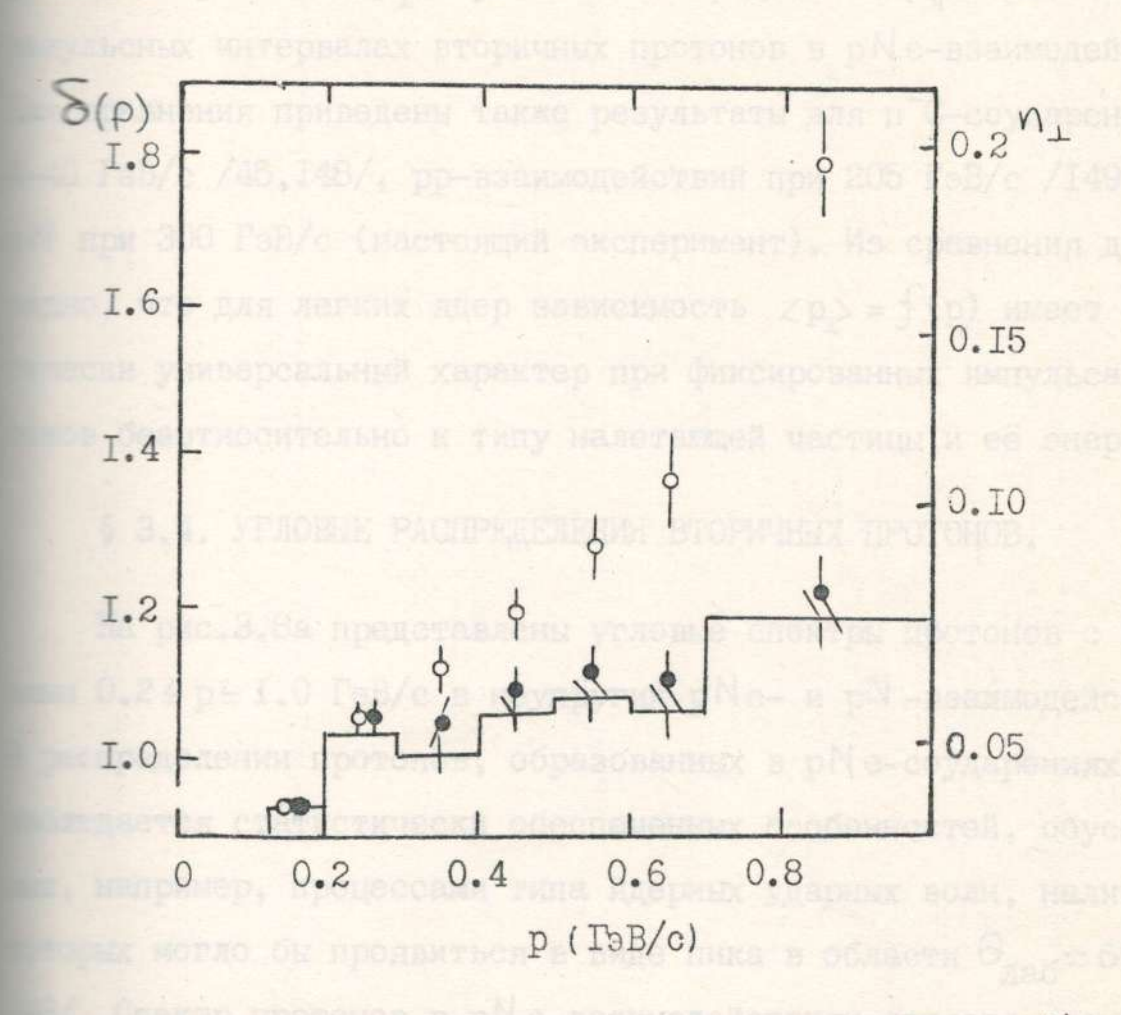


Рис. 3.6. Импульсная зависимость функции 3.18 в р $N = 10^{\circ}$ взаимодействиях (10° - 10°

продольными и поперечными импульсами протонов в реакциях 3.1)-(3.3). На рис.3.7 представлены зависимости средних попеных импульсов < р_> протонов от продольных р_| в различных импульсных интервалах вторичных протонов в р N е-взаимодействиях. Сравнения приведены также результаты для п C-соударений при СрВ/с /45,148/, рр-взаимодействий при 205 ГрВ/с /149/ и при 300 ГрВ/с (настоящий эксперимент). Из сравнения данных при 300 ГрВ/с (настоящий эксперимент). Из сравнения данных но, что для легких ядер зависимость < p_> = f(p_) имеет пракески универсальный характер при фиксированных импульсах пробезотносительно к типу налетающей частицы и её энергии.

§ 3.4. УГЛОВЫЕ РАСПРЕДЕЛЕНИЯ ВТОРИЧНЫХ ПРОТОНОВ.

На рис.3.8а представлены угловые спектры протонов с импуль—

0.2 ≤ р ≤ I.0 ГэВ/с в неупругих р № - и р № -взаимодействиях.

вспределении протонов, образованных в р № е-соударениях, не

правется статистически обеспеченных особенностей, обусловлен
например, процессами типа ядерных ударных волн, наличие

торых могло бы проявиться в виде пика в области $\Theta_{\text{лаб}} \simeq 60-70^{\circ}$ спектр протонов в р № е-взаимодействиях является монотон
возрастающей функцией $\cos \Theta_{\text{лаб}}$ и достаточно удовлетворитель
() 2 /ч.с.с. = I.2) описывается простой экспоненциальной зави-

вараметрами $8 = 0.50 \pm 0.01$ и $8 = 1.14 \pm 0.03$.

В угловом распределении протонов в рN-соударениях наблютея "плато" в области $0.2 \le \cos \theta_{\rm Rab} \le 0.6^*$. Анализ показывает,

Упругие рр-взаимодействия исключены.

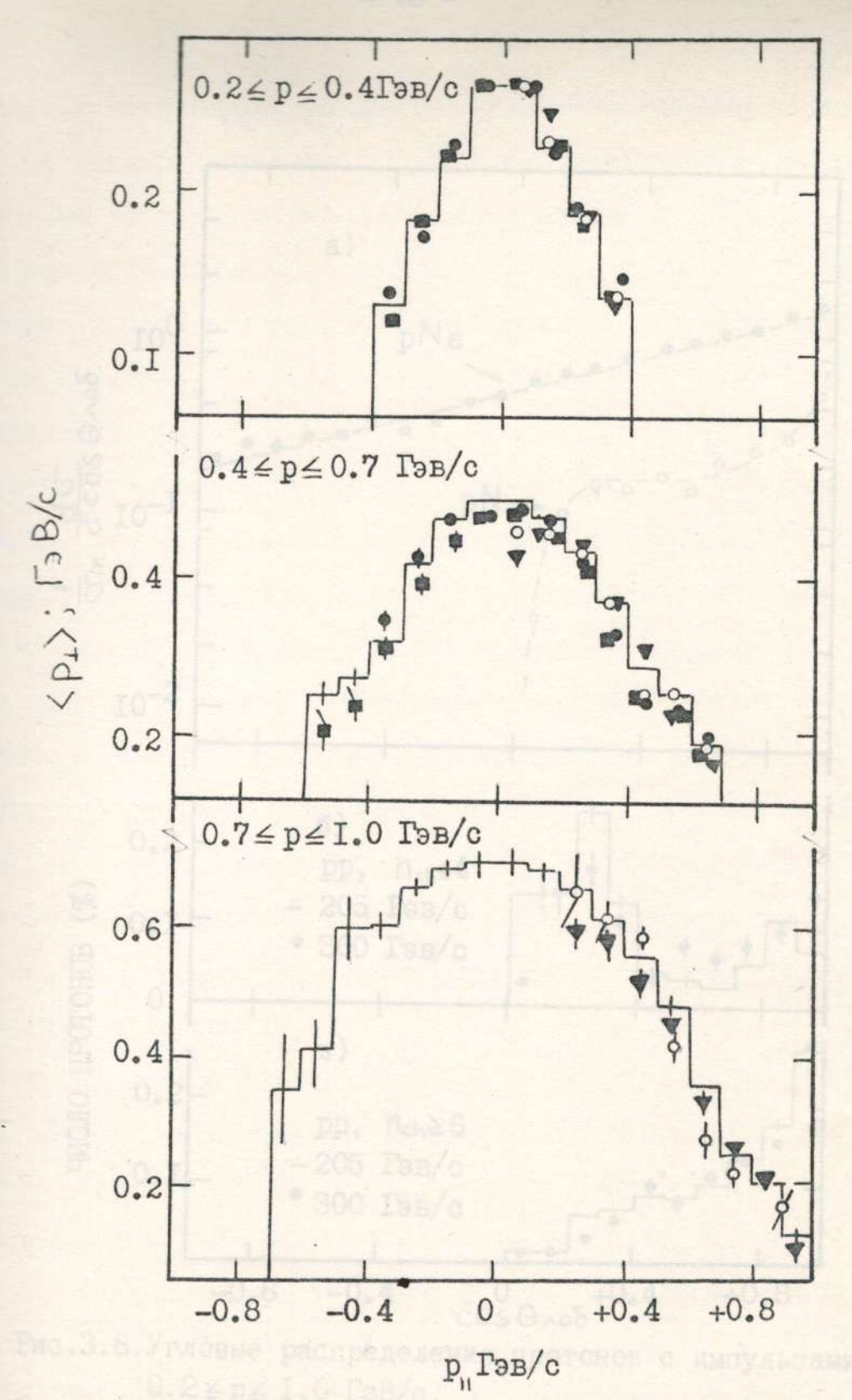


Рис.3.7. Зависимость $\langle p_1 \rangle$ от p_0 в л.с.к. для разных импульсных интервалов вторичных протонов в pNe-соударениях при 300 ГэВ/с (гистограмма). Точки: ϕ - π -С, 4 ГэВ/с /148/; ϕ - π -С, 40 ГэВ/с /45/; ψ - pp, 205 ГэВ/с /149/; ϕ - pN, 300 ГэВ/с (настоящий эксперимент).

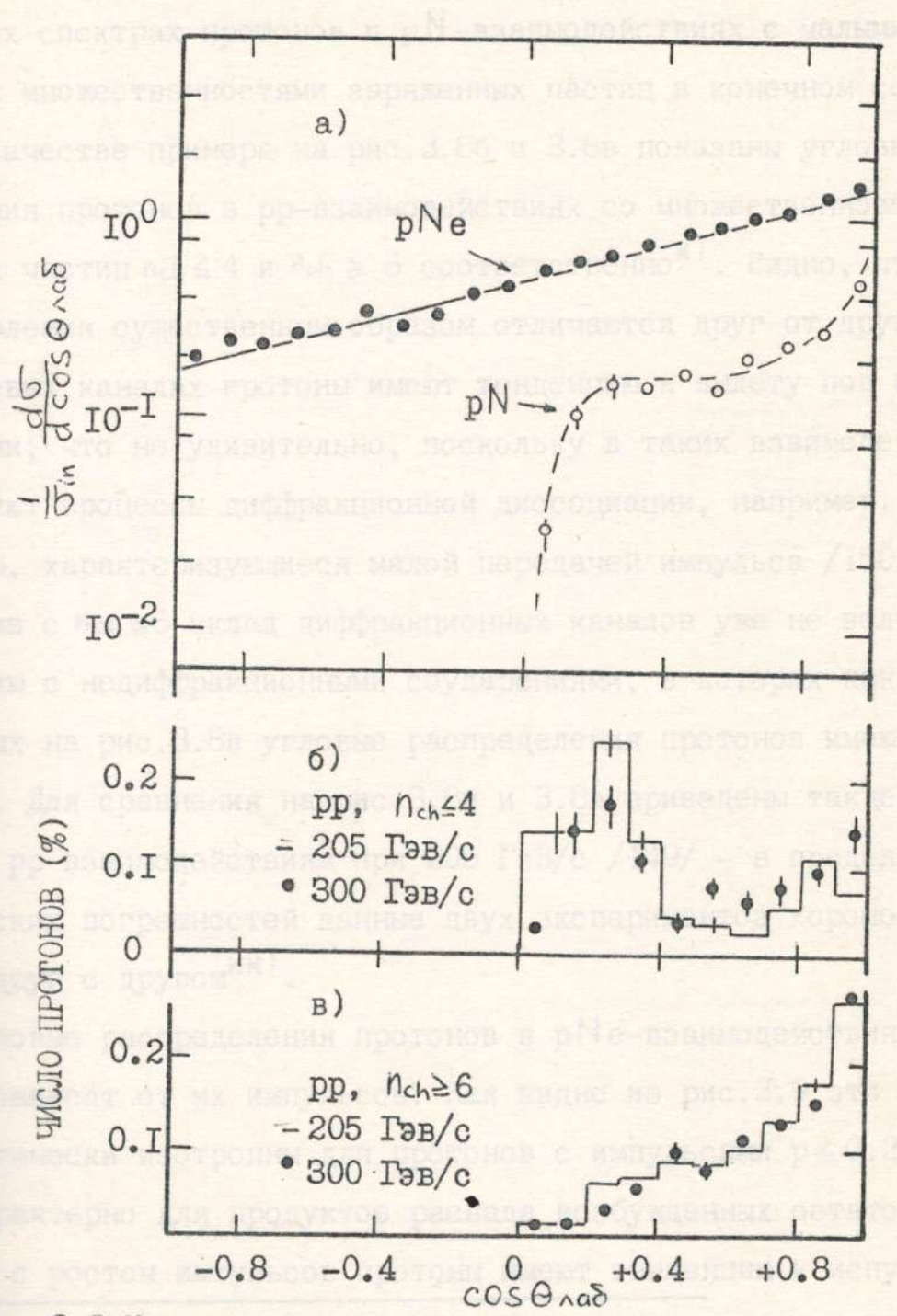


Рис.3.8.Угловые распределения протонов с импульсами 0.2 ≤ p ≤ I.0 ГэВ/с.

- а) pNe (•) и pN (•)-взаимодействия при 300 ГэВ/с; сплошная линия результат аппроксимации данных функцией (3.19), штриховая проведена для наглядости б) pp-взаимодействия с nch44: : - данный экс-
- перимент, гистограмма 205 ГэВ/с /149/.
- в) pp-взаимодействия с nch≥6: ♦ данный эксперимент, гистограмма - 205 ГэВ/с /149/.

наличие этой структуры обусловлено существенным различием ■ ▼ГЛОВЫХ СПЕКТРАХ ПРОТОНОВ В р N -взаимодействиях с малыми и вышими множественностями заряженных частиц в конечном состояв качестве примера на рис. 3.86 и 3.8в показаны угловые растеления протонов в рр-взаимодействиях со множественностью заженных частиц nch ≤ 4 и nch ≥ 6 соответственно*). Видно, что эти пределения существенным образом отличаются друг от друга. В протоны имеют тенденцию к вылету под большиуглами, что не удивительно, поскольку в таких взаимодействиях тируют процессы диффракционной диссоциации, например, рр тт)р, характеризующиеся малой передачей импульса /150/. В сотиях же с ись ≥6 вклад диффракционных каналов уже не велик по выению с недиффракционными соударениями, в которых как видно панных на рис. 3.8в угловые распределения протонов имеют друвид. Для сравнения на рис. 3.86 и 3.8в приведены также резульпо рр-взаимодействиям при 205 ГэВ/с /149/ - в пределах статических погрешностей данные двух экспериментов хорошо соглатея друг с другом**).

Вжлад неупругих каналов с Nch ≤ 4 в pp-взаимодействиях при
В ГэВ/с составляет ~ 23% от полного сечения pp-соударений /126/.

ть ференциальное сечение инклюзивной реакции (3.2), как из-

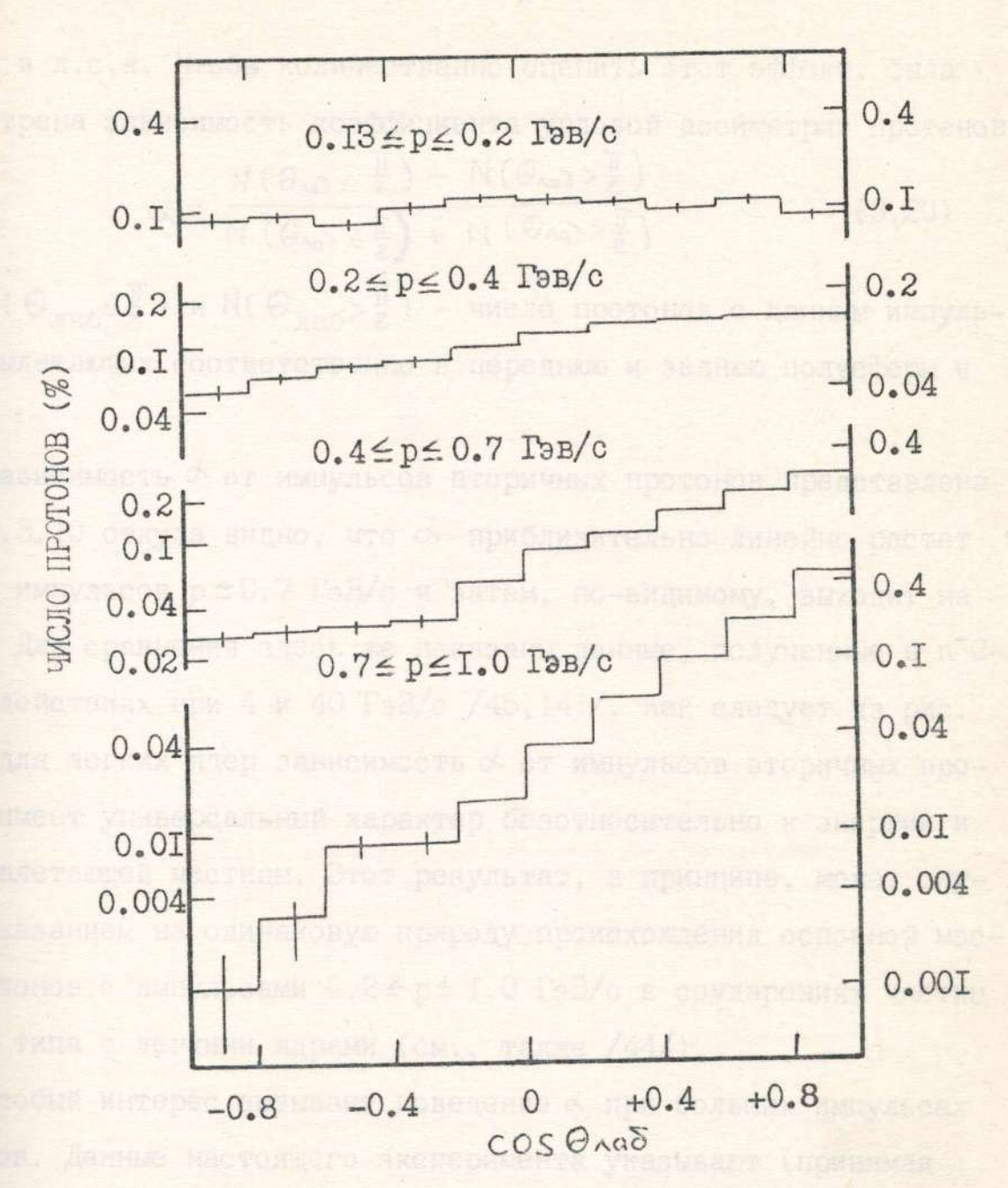


Рис.3.9. Угловые спектры протонов в различных импульсных интервалах протонов в р Ne-взаимодействиях при 300 ГэВ/с.

жеред в л.с.к. Чтобы количественно оценить этот эффект, была жемотрена зависимость коэффициента угловой ассиметрии протонов

$$\mathcal{A} = \frac{N(\Theta_{Na\delta} \leq \frac{11}{2}) - N(\Theta_{Na\delta} > \frac{11}{2})}{N(\Theta_{Na\delta} \leq \frac{11}{2}) + N(\Theta_{Na\delta} > \frac{11}{2})}$$
 (3.20)

 $\mathbb{N} (\Theta_{\mathrm{Ja6}} \leq \frac{\mathbb{T}}{2})$ и $\mathbb{N} (\Theta_{\mathrm{Ja6}} > \frac{\mathbb{T}}{2})$ – число протонов с данным импуль-

Зависимость от импульсов вторичных протонов представлена

рис. З. 10 откуда видно, что об приблизительно линейно растет

до импульсов р≈0.7 ГэВ/с и затем, по-видимому, выходит на

для сравнения здесь же показаны данные, полученные в п С
подействиях при 4 и 40 ГэВ/с /45, 141/. Как следует из рис.

для легких ядер зависимость об от импульсов вторичных про
имеет универсальный характер безотносительно к энергии и

налетающей частицы. Этот результат, в принципе, может слу
указанием на одинаковую природу происхождения основной мас
уклонов с импульсами 0.2 ≤ р ≤ 1.0 ГэВ/с в соударениях частиц

типа с легкими ядрами (см., также /44/).

Особый интерес вызывает поведение опри больших импульсах тонов. Данные настоящего эксперимента указывают (принимая знимание относительно большие статистические ошибки), что р >0.7 ГэВ/с коэффициент угловой ассиметрии существенно слазависит (или не зависит) от импульсов вторичных протонов. этот результат подтвердится в более точных экспериментах, то может, в принципе, означать, что доля протонов, вылетаюназад в лабораторной системе координат с импульсами р > 0.7 гостоянна. Это в свою очередь, может быть следствием заметной доли кумулятивных протонов при импульсах р > 0.7

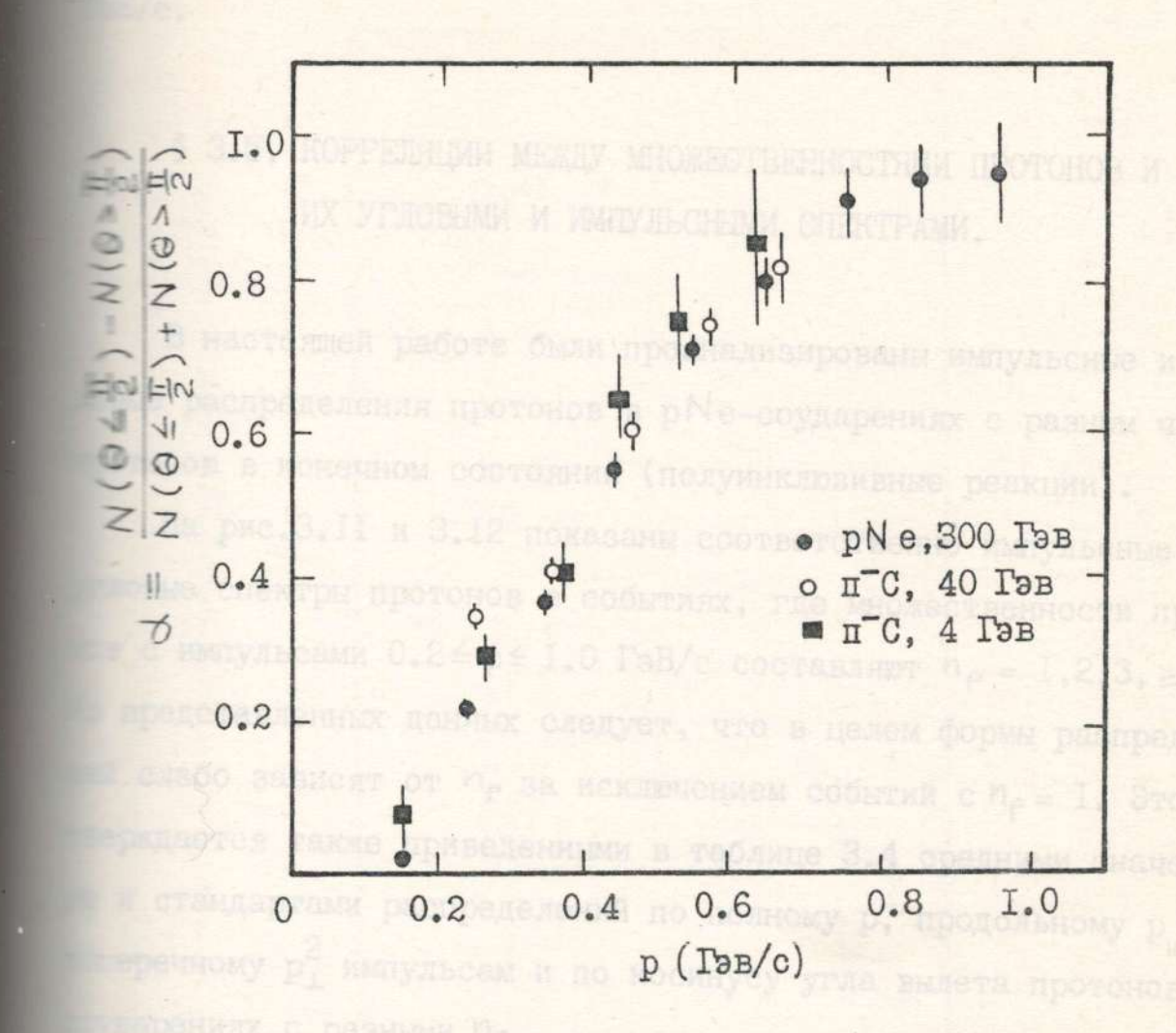


Рис.3.10. Зависимость коэффициента угловой ассиметрии от импульсов вторичных протонов в р N е-взаимодей-ствиях при 300 ГэВ/с (♠); для сравнения показаны данные для п С-взаимодействий при 4 и 40 ГэВ/с /45,148/.

TaB/c.

§ 3.5. КОРРЕЛЯЦИИ МЕЖДУ МНОЖЕСТВЕННОСТЯМИ ПРОТОНОВ И ИХ УГЛОВЫМИ И ИМПУЛЬСНЫМИ СПЕКТРАМИ.

В настоящей работе были проанализированы импульсные и угвые распределения протонов в р Ne-соударениях с разным числом тотонов в конечном состоянии (полуинклюзивные реакции).

На рис. 3. II и 3. I2 показаны соответственно импульсные и товые спектры протонов в событиях, где множественности протоссимильсами $0.2 \le p \le 1.0$ ГэВ/с составляют $N_p = 1,2,3,\ge 4$. представленных данных следует, что в целом формы распределествабо зависят от N_p за исключением событий с $N_p = 1$. Это подерждается также приведенными в таблице 3.4 средними значениями стандартами распределений по полному p, продольному p и стандартами распределений по косинусу угла вылета протонов в тарениях с разными N_p .

Из рис. 3. II, 3. I2 и таблицы 3.4 видно, что при мр 2 дан—
совпадают в пределах статистических погрешностей, тогда как

№ е-взаимодействиях с образованием одного протона с импуль—
о. 2 ≤ р ≤ I. О ГэВ/с протоны сильнее сколлимированы вперед в

е.к. и имеют большие импульсы. Этот результат является, ско—
всего, следствием того тривиального факта, что в событиях

мр = I большой вклад дают соударения с квазисвободными нукло—
ядра, тогда как при мр > 2 уже важны перерассеяния, приво—
е к потерям энергии протонами на внутриядерные соударения

соответственно к более изотропным угловым распределениям.

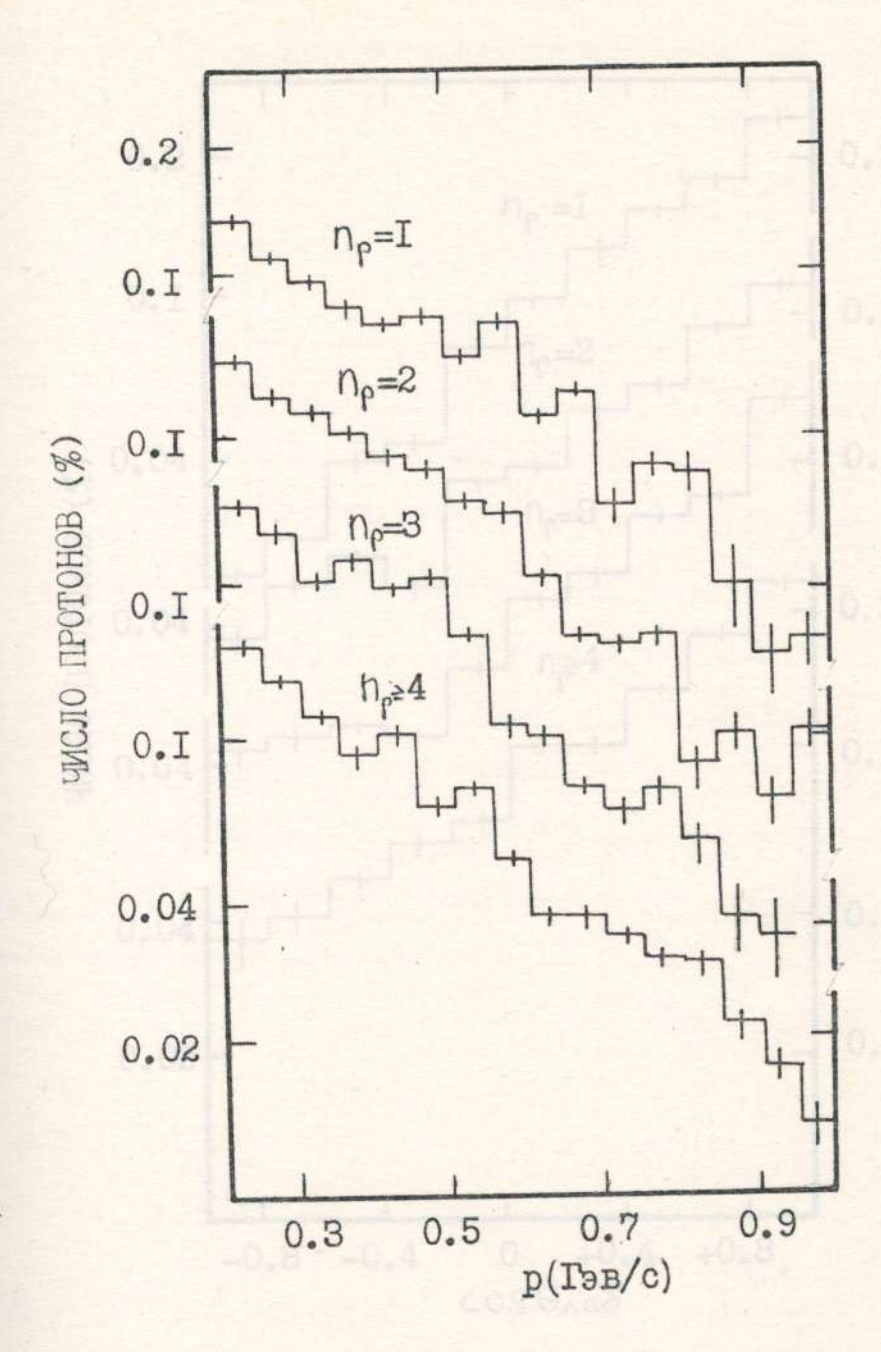


Рис.З.II. Импульсные спектры протонов с 0.2 ≤ p ≤ I.0 ГэВ/с в р N е-взаимодействиях с различной множествен- ностью протонов в конечном состоянии.

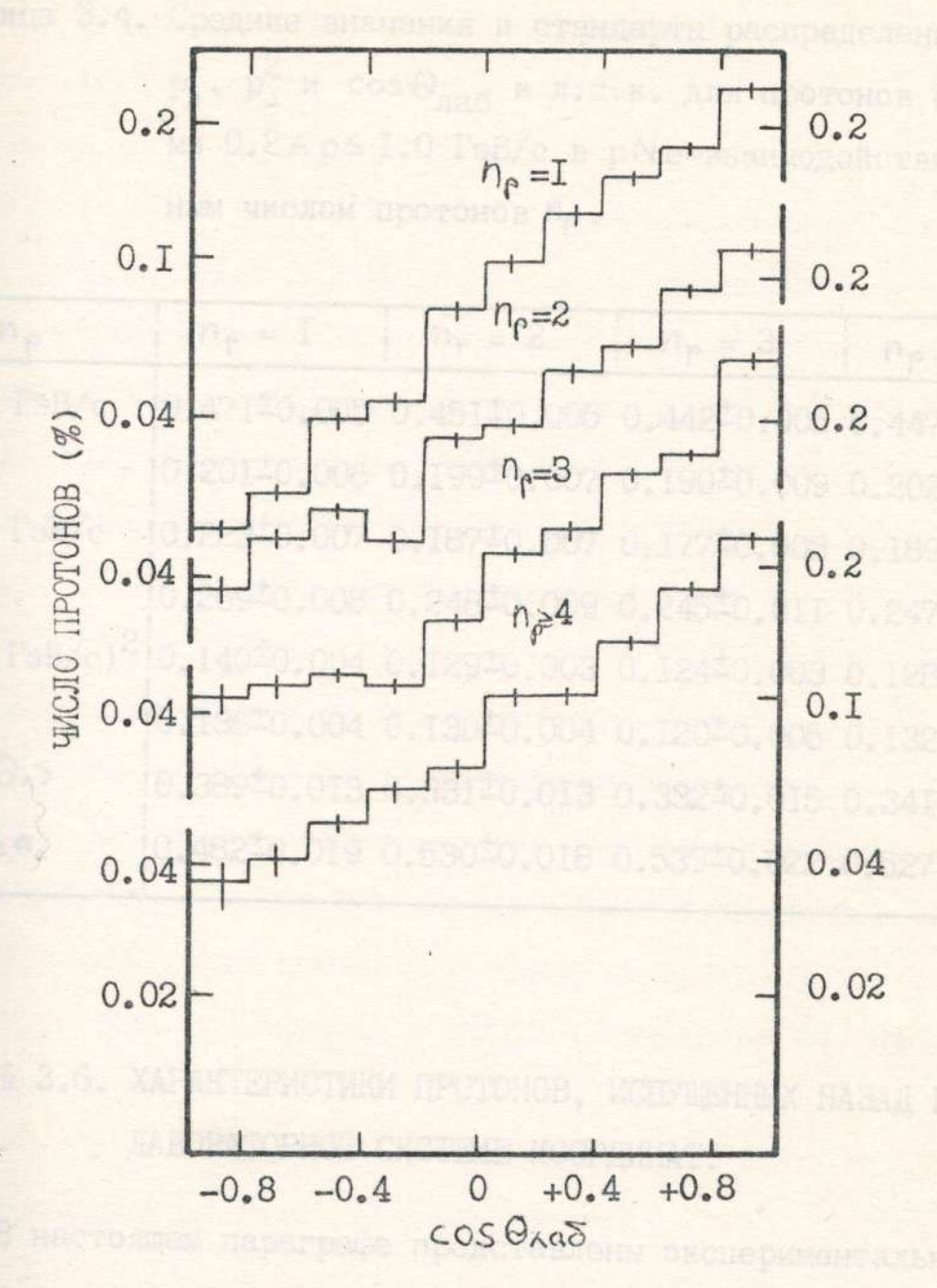


Рис.3.12. Угловые спектры протонов с 0.2≤ р ≤ 1.0 ГэВ/с в р N е-взаимодействиях с различной множественностю протонов в конечном состоянии.

Таблица 3.4. Средние значения и стандарты распределений по р р_п, р₁² и сос О_{лаб} в л.с.к. для протонов с импульсами 0.2 ≤ р ≤ I.0 ГэВ/с в р N е-взаимодействиях с разным числом протонов N_p.

np	$n_p = I$	np = 2	$n_p = 3$	$ n_p \ge 4$
>>, ГэВ/с	0.471±0.005	0.451 + 0.005	0.442±0.005	
De micrane	0.20I±0.006	0.199±0.007	0.190±0.009	0.202±0.008
⇒, ГэВ/с	0.223±0.007	0.187±0.007	0.177±0.008	0.189±0.006
200	0.269±0.008	0.248±0.009	0.245±0.011	0.247±0.0II
√, (ГэВ/с) ²	0.140±0.004	0.129±0.003	0.124±0.003	0.128±0.003
DP2	0.136±0.004	0.130±0.004	0.120±0.005	0.132±0.005
=03 0,>	0.389±0.013	0.331±0.013	0.332±0.015	0.34I±0.0I2
Deoson	0.482±0.019	0.530±0.018	0.539±0.022	0.527±0.02I

§ 3.6. ХАРАКТЕРИСТИКИ ПРОТОНОВ, ИСПУЩЕННЫХ НАЗАД В ЛАБОРАТОРНОЙ СИСТЕМЕ КООРДИНАТ.

В настоящем параграфе представлены экспериментальные дан-

$$p + {}^{20}Ne - \bar{p} + X$$
 (3.21)

1-/да In = 0.544 - ожидаемов кая Пунссон

разованием протонов под углами $\theta_{\text{лаб}} > 90^{\circ}$ в импульсном ревале $0.13 \leq p \leq 1.0$ ГэВ/с. Общее число таких протонов составанием горованием событий, в которых содержится хотя бы один променущенный в заднюю полусферу составило ($N(w_{\rho} \geq 1)/N_{\text{tot}}(\rho N_{\epsilon})$) $\frac{1}{6} \pm 0.8$ % от полного числа p N = 83аимодействий.

На рис.3.13 представлено распределение по множественности тумулятивных протонов с импульсами $0.2 \le p \le 1.0 \text{ ГэВ/с}^{*}$). Среденяя множественность таких протонов оказалась равной $0.13 \le p \le 0.296 \pm 0.005$. Медленные протоны, имеющие импульсы $0.13 \le p \le 0.2 \text{ ГэВ/с}$ в данном случае не рассматривались, так как они в основном являются продуктами "испарения" возбужденных остаточных ядер неона (см. §3.2) — в среднем на одно p = 1.0 = 1

На рис.3.14 показана импульсная зависимость отношения дифтеренциальных средних множественностей

$$R(p) = \frac{\langle n_p^k \rangle}{\langle n_p^4 \rangle} = \frac{[\sigma_{in}^{-1} d\sigma/d\rho]_{k9m}}{[\sigma_{in}^{-1} d\sigma/d\rho]_{tot}}$$
(3.22)

 $1 = \langle N_{\rho}^{k} \rangle$ и $\langle N_{\rho}^{t} \rangle$ соответственно средние множественности кумятивных и всех протонов ($0^{\circ} \angle \Theta_{\pi a \delta} \angle 180^{\circ}$) при фиксированном р.

Как видно из данных, доля протонов, испущенных в лабораторной системе координат, сильно уменьшается с ростом импульсов.

Очень интересным представляется поведение отношения R (р) В дальнейшем для удобства протоны с p>0.2 ГэВ/с, вылетающие зад в л.с.к. будем называть кумулятивными (см./I/).

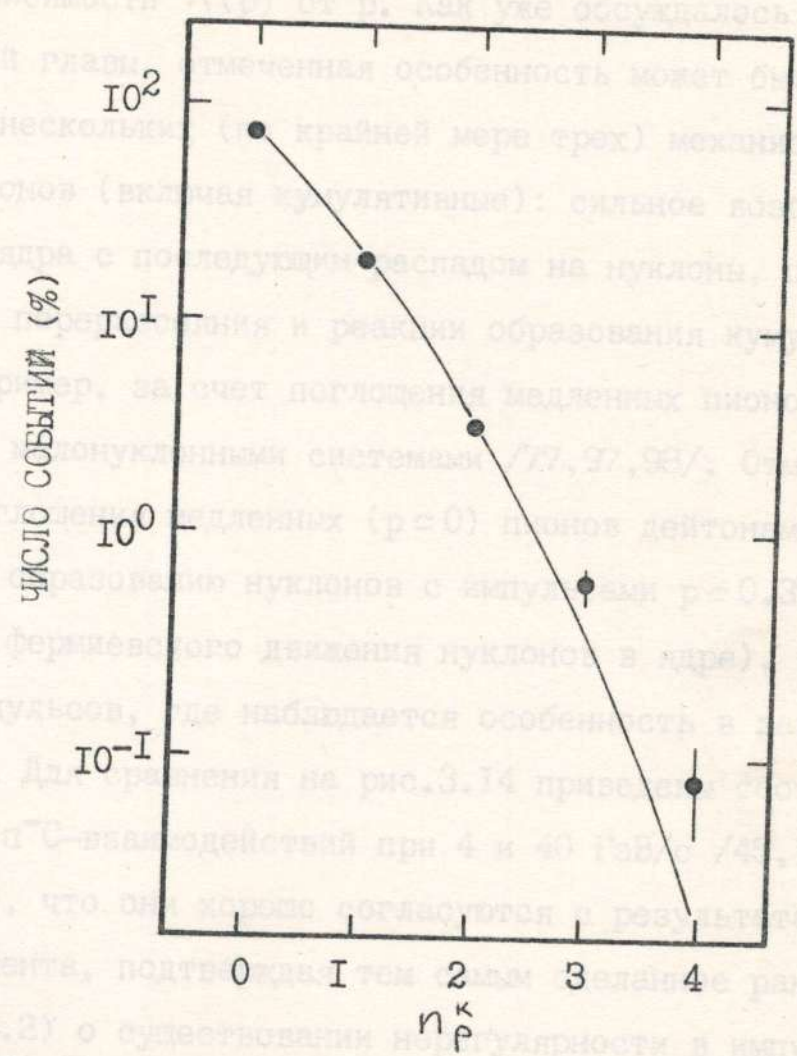


Рис.3.13. Распределение по множественности протонов с импульсами 0.2 ≤ p ≤ I.0 ГэВ/с, вылетающих назад (90° ∠ Θ_{лаб} ≤ I80°) в лабораторной системе координат. Кривая – распределение Пуассона.

в области р ≈ 0.2-0.5 ГэВ/с, где экспериментальные данные укавают на существование некоторой структуры ("плато" или "пле- в зависимости R(p) от р. Как уже обсуждалось в параграфе в настоящей главы, отмеченная особенность может быть отраженивклада нескольких (по крайней мере трех) механизмов образования протонов (включая кумулятивные): сильное возбуждение остеточного ядра с последующим распадом на нуклоны, процессы внутпротонов, например, за счет поглощения медленных пионов и мезонных тезонансов малонуклонными системами /77,97,98/. Отметим, что теакции поглощения медленных (р ≈ 0) пионов дейтонами (п+ 0 → рр) тиводят к образованию нуклонов с импульсами р ≈ 0.370 ГэВ/с без учета фермиевского движения нуклонов в ядре), т.е. в той области импульсов, где наблюдается особенность в зависимости R(p) от р. Для сравнения на рис. 3.14 приведены соответствующие танные для п⁻С-взаимодействий при 4 и 40 ГэВ/с /45, I4I/. Из ритика видно, что они хорошо согласуются с результатами настоящеэксперимента, подтверждая тем самым сделанное ранее утверждеже (см. §3.2) о существовании нерегулярности в импульсном спекте вторичных протонов в области р ~ 0.3-0.5 ГэВ/с в ҺА-взаимодействиях на легких ядрах.

На рис.3. 15а показаны зависимости средних множественностей мезонов ("рожденные" частицы в случае рNе-соударений) от лолвого числа вторичных протонов с импульсами $0.2 \le p \le 1.0$ ГэВ/с в обытиях, где имеются ($N_p^K \ge 1$) и отсутствуют ($N_p^K = 0$) кумулятиве протоны. Видно, что в обоих случаях LN(n) > 0 возрастает примаительно линейно со множественностью протонов и при этом в ределах статистических погрешностей значения LN(n) > 0 практичесене зависят от наличия (или отсутствия) протонов, вылетающих

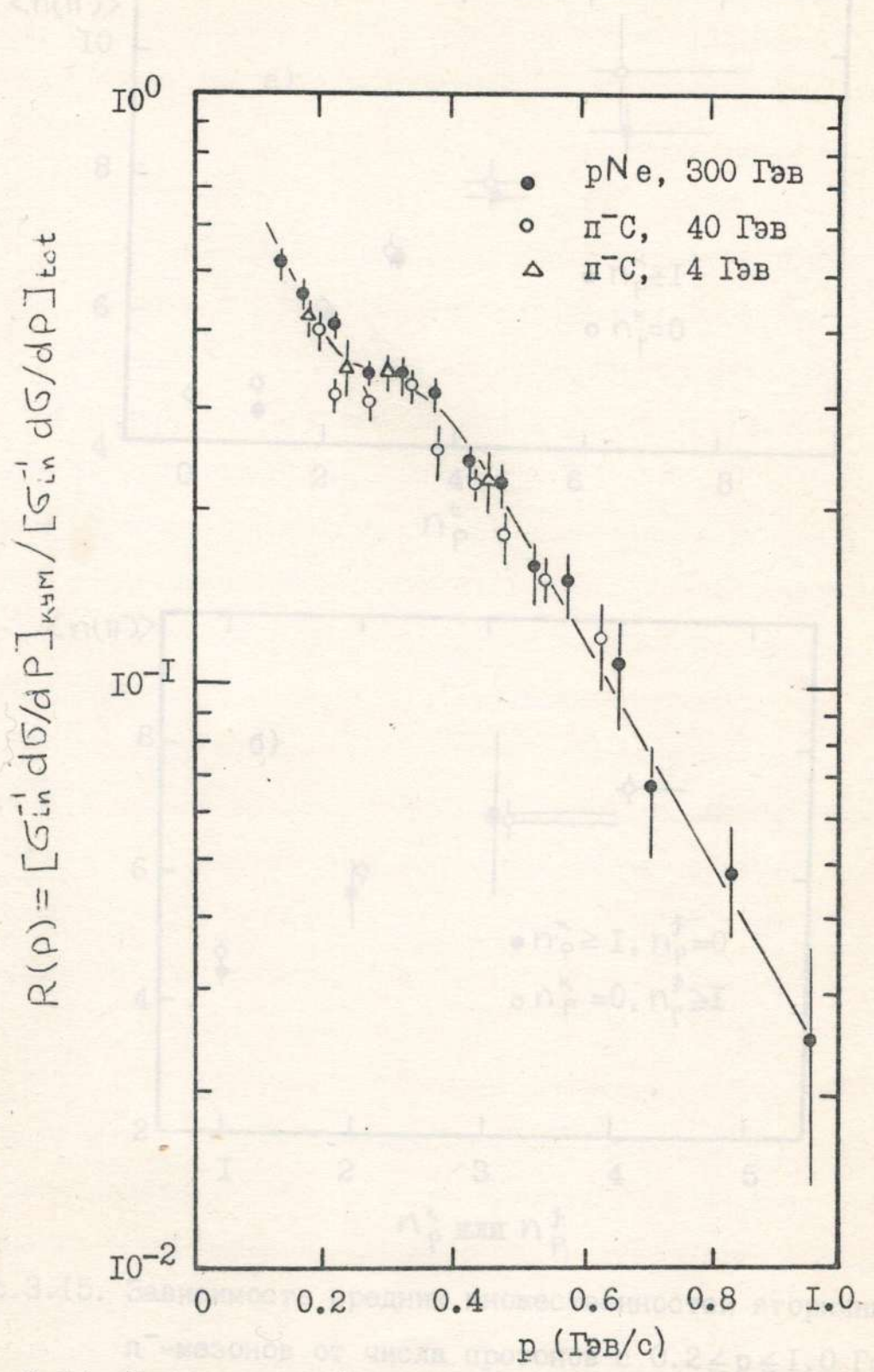
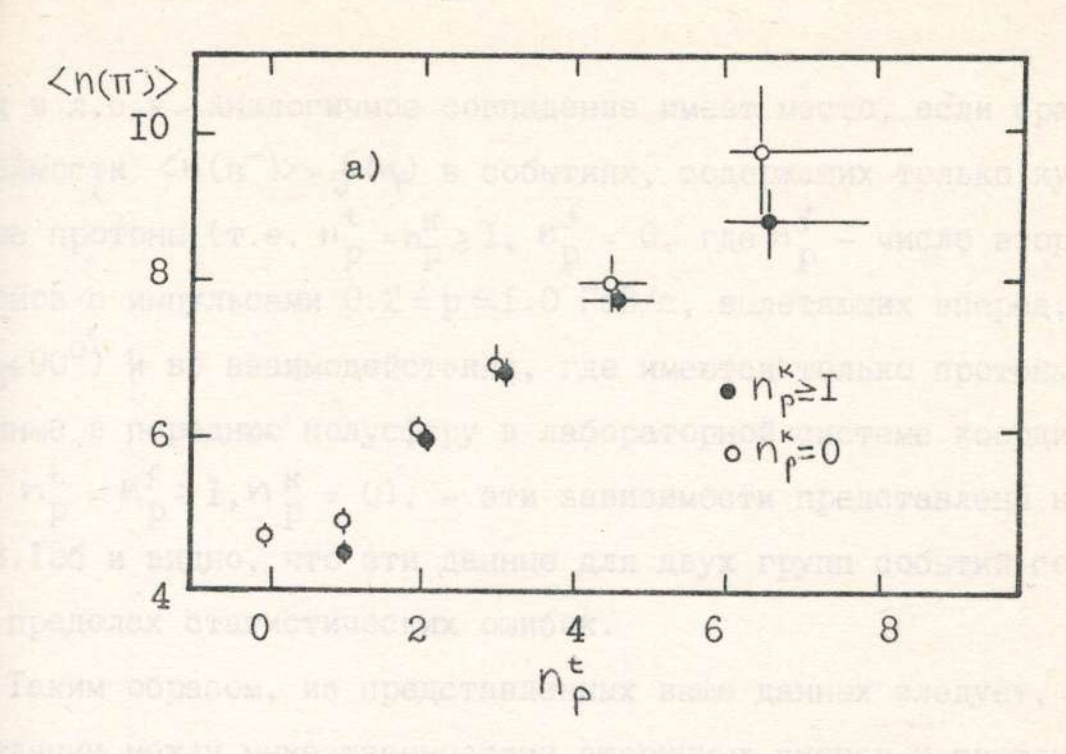


Рис.3.14. Импульсная зависимость доли протонов, вылетающих под углами 90°2 О_{лаб} ≤ 180° в рN е-взаимодействиях при 300 ГэВ/с. Для сравнения показаны данные для 4 и 40 ГэВ/с /45,148/. Кривая проведена для наглядности.



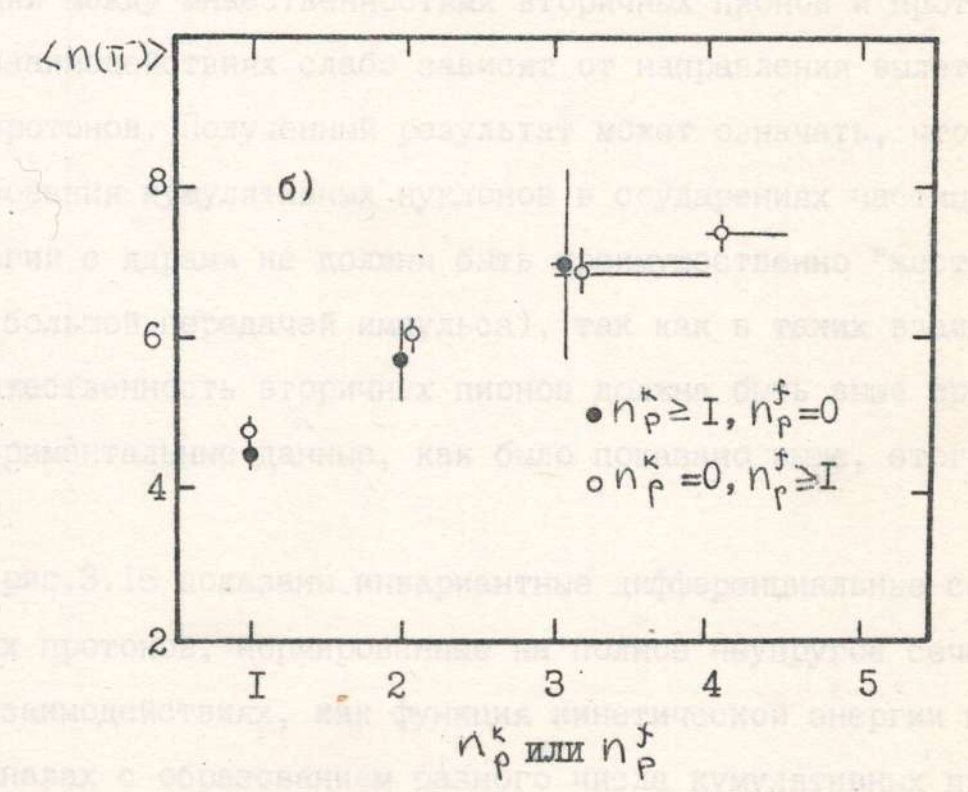


Рис.3.15. Зависимость средних множественностей вторичных п—мезонов от числа протонов с 0.2 ≤ p ≤ I.0 ГэВ/с:

- а) для событий, где имеются (ф) и отсутствуют (ф) кумулятивные протоны;
- б) для событий, где имеются только кумулятивные (◆)
 протоны и только протоны, вылетающие вперед в
 л.с.к. (♦).

висимости $\langle n(n^-) \rangle = \int \langle n_p \rangle$ в событиях, содержащих только кумуляньные протоны (т.е. $N_p^{\ell} = N_p^{K} \geqslant I$, $N_p^{f} = 0$, где N_p^{f} — число вторичных отонов с импульсами $0.2 \le p \le I.0$ ГэВ/с, вылетающих вперед, $I_{AB} = 0$ и во взаимодействиях, где имеются только протоны, исменье в переднюю полусферу в лабораторной системе координат т.е. $N_p^{\ell} = N_p^{f} \geqslant I$, $N_p^{K} = 0$, — эти зависимости представлены на в пределах статистических ошибок.

Таким образом, из представленных выше данных следует, что протонов р реляции между мнжественностями вторичных пионов и протонов р евзаимодействиях слабо зависят от направления вылета втоных протонов. Полученный результат может означать, что процесобразования кумулятивных нуклонов в соударениях частиц высомарений с ядрами не должны быть преимущественно "жесткими" в с большой передачей импульса), так как в таких взаимодейстых множественность вторичных пионов должна быть выше среднего, экспериментальные данные, как было показано выше, этого не по-

На рис.3.16 показаны инвариантные дифференциальные сечения эторичных протонов, нормированные на полное неупругое сечение р Ne-взаимодействиях, как функция кинетической энергии протова в каналах с образованием разного числа кумулятивных протова (все, $n_p^K = 1$, $n_p^K = 2$, $n_p^K \geqslant 3$).

Кривые на рисунке соответствуют аппроксимации эксперименальж данных функцией

$$f(\tau) = \frac{E}{\sigma_{in}} \frac{\alpha^{3} \sigma}{\sigma p^{3}} = A_{i} e^{-B_{i}T} + A_{2} e^{-B_{2}T}$$
(3.23)

тде Т-кинетическая энергия протонов.

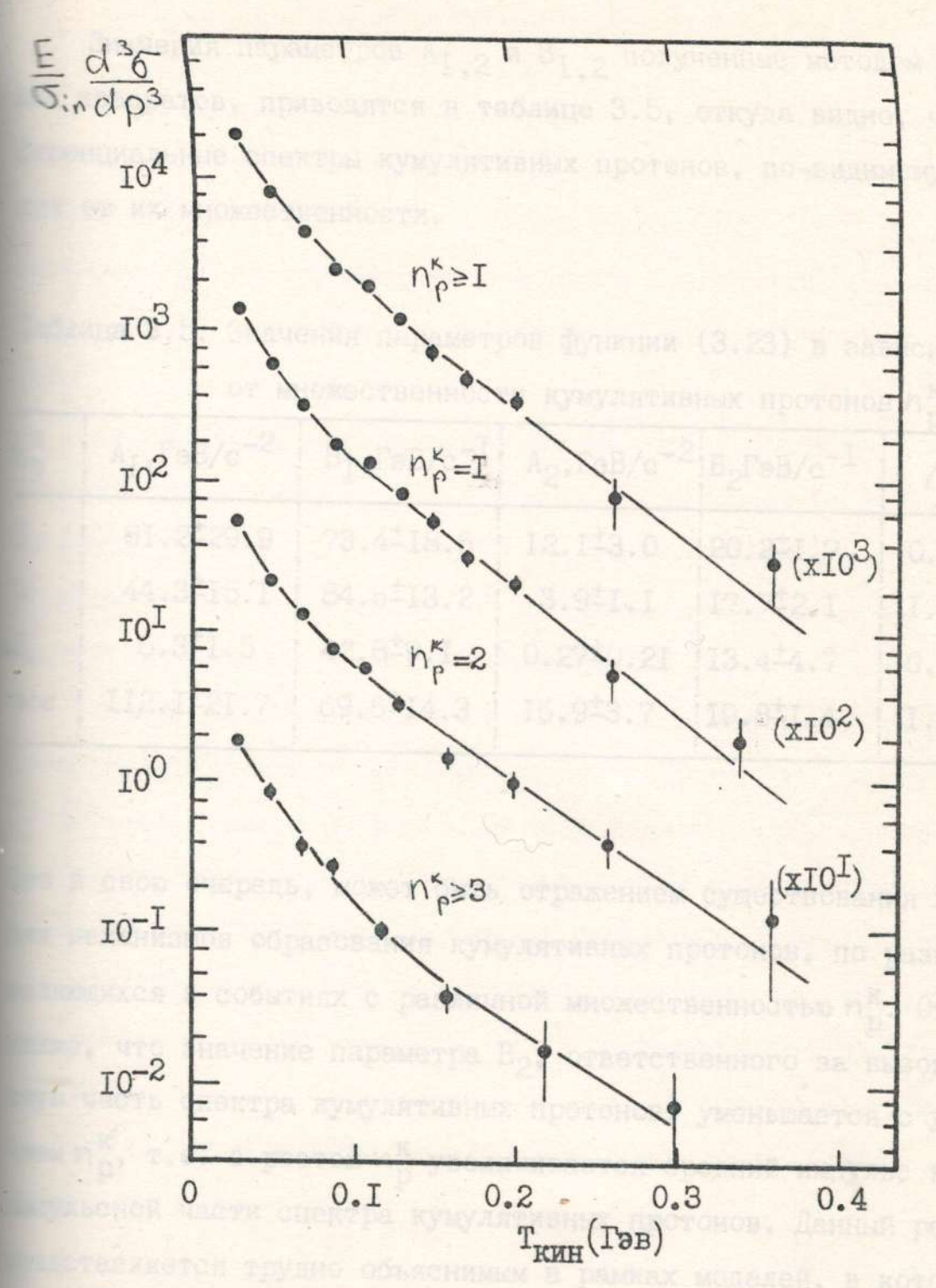


Рис.3.16. Нормированные на полное неупругое сечение инвариантные дифференциальные сечения кумулятивных протонов при разных пр. Кривые - результаты аппроксимации функцией (3.23).

Значения параметров $A_{I,2}$ и $B_{I,2}$ полученные методом наименьквадратов, приводятся в таблице 3.5, откуда видно, что диференциальные спектры кумулятивных протонов, по-видимому, завиот их множественности.

3.5. Значения параметров функции (3.23) в зависимости от множественности кумулятивных протонов n_{D}^{K} .

E H	A _I ,ГэВ/с ⁻²	$B_{\rm I}$, $\Gamma \partial B/c^{-{ m I}}$	А2,ГэВ/с-2	В2ГэВ/с-І	/ч.с.с.
I and	8I.2±29.9	73.4±18.6	12.1±3.0	20.2±I.7	0.81
2	44.3 [±] 15.1	84.6 [±] 13.2	3.9±I.I	17.7±2.1	I.2
3	6.3 [±] I.5	42.8±9.I	0.27±0.2I	13.4±4.7	0.6
ace	II2.I±2I.7	69.6±14.3	I6.9±3.7	19.8±1.4	I.4

в свою очередь, может быть отражением существования нескольмеханизмов образования кумулятивных протонов, по разному провиже, что значение параметра B_2 , ответственного за высокоимпульчасть спектра кумулятивных протонов, уменьшается с увеличем p, т.е. с ростом p увеличивается средний импульс высоком p увеличивается средний импульс осм p увеличивается протонов, данный результат
м p увеличивается трудно объяснимым в рамках моделей, в которых осм p увеличивается трудно объяснимым в рамках моделей, в которых осм p увеличивается протонов, являются

примера на рис. 3.18 представлени нормированные на пол-

Для суммарного распределения величина B_2 в пределах погрешей совпадает с данными других экспериментов ($T_0 = I/B_2 = 50$) в широком диапазоне первичных энергий для различных типов

талкивающихся частиц и ядер /99/.

В угловых спектрах кумулятивных протонов с импульсами $2 \le p \le 1.0$ ГэВ/с не наблюдается (рис3.17) статистически обественных нерегулярностей в области углов 150° – 180° (см./52/). Нетим, что этот результат находится в согласии с данными по торождению кумулятивных протонов при низких энергиях (E_{\circ} =4 ГэВ) 3/.

Следует обратить внимание на то, что в событиях с $N_p^R = 2$ в сласти углов $100^0 \le \theta_{\rm na6} \le 120^0$ имеются указания на возможное отмонение угловых распределений от монотонной (приблизительно эксменциальной) зависимости. В настоящее время мы не имеем однозинной интерпретации данного явления.

Анализ полученных данных также показывает, что импульсные сектры кумулятивных протонов сильно зависят от угла их вылета. качестве примера на рис.3.18 представлены нормированные на поленеупругое сечение р N е-взаимодействий инвариантные дифференальные сечения в зависимости от импульсов кумулятивных протовальные сечения в зависимости от импульсов кумулятивных протовальные для разных угловых интервалов. На этом же рисунке для сравнелия показаны данные для р 12С- и р 27 AС-взаимодействий при 400 в /152/ и видно, что результаты двух экспериментов хорошо сограсуются друг с другом (экспериментальные точки соединены кривыдля наглядности).

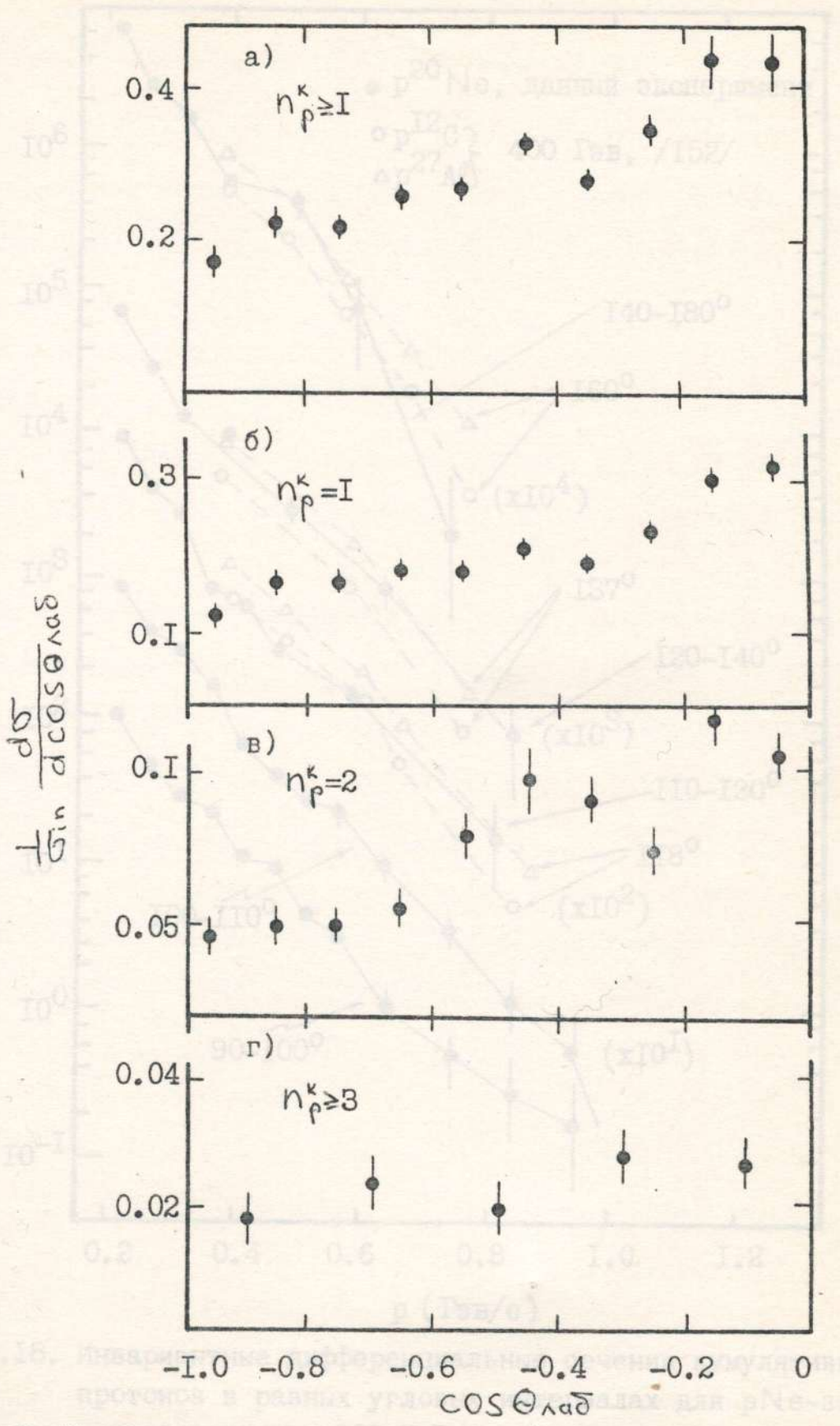


Рис.3.17. Угловые спектры кумулятивных протонов при разных n_p^{κ} .

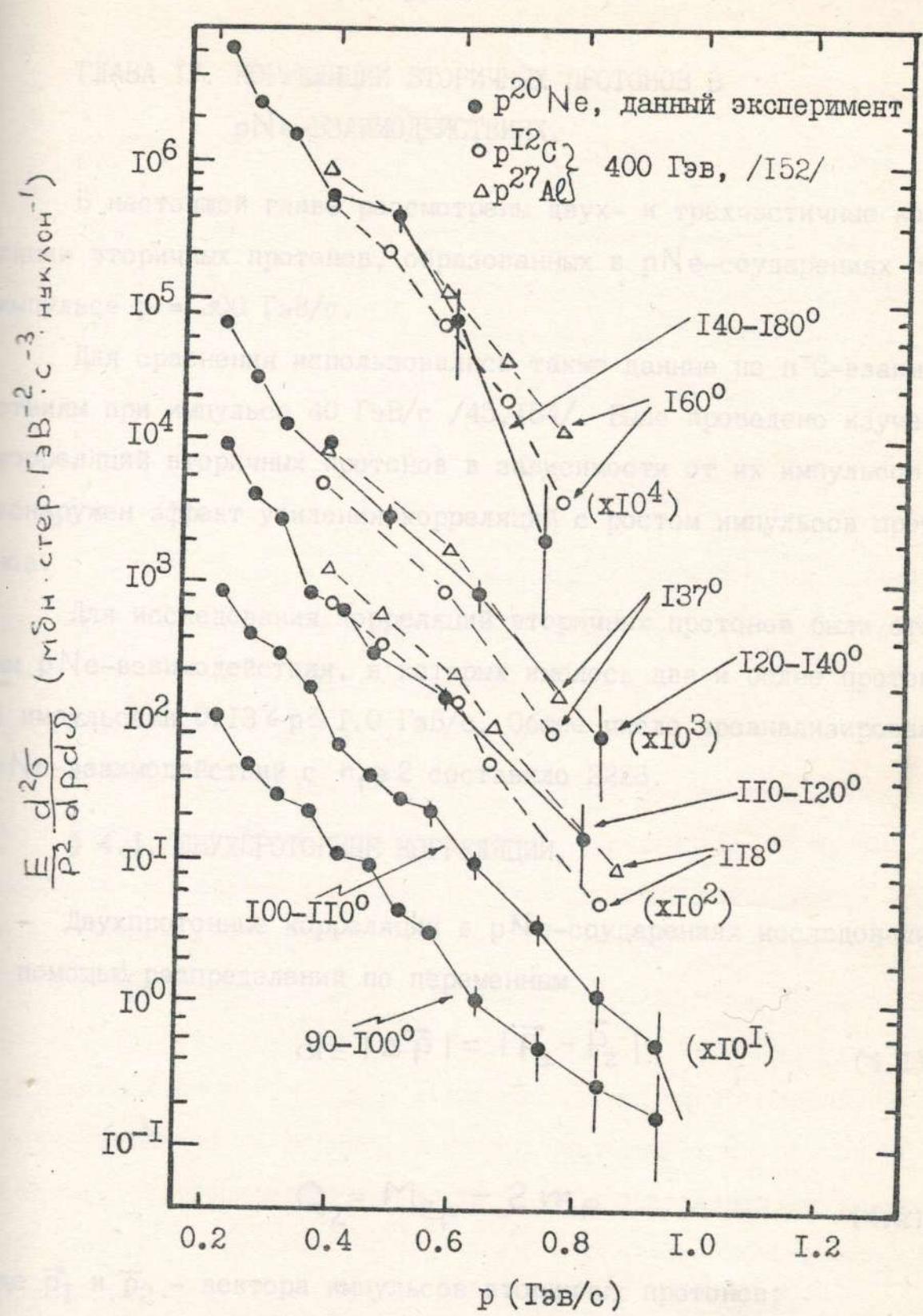


Рис.3.18. Инвариантные дифференциальные сечения кумулятивных протонов в разных угловых интервалах для р Ne-вза-имодействий при 300 ГэВ/с. Показаны также данные для р 12С- и р 27 Al-соударений при 400 ГэВ/с /152/. Сплошные линии (настоящий эксперимент) и штриховые (данные работы /152/) проведены по соответствующим точкам для наглядности.

ГЛАВА ІУ. КОРРЕЛЯЦИИ ВТОРИЧНЫХ ПРОТОНОВ В рNe-ВЗАИМОДЕЙСТВИЯХ.

В настоящей главе рассмотрены двух- и трехчастичные коррешим вторичных протонов, образованных в рNе-соударениях при шульсе р = 300 ГэВ/с.

Для сравнения использовались также данные по п⁻С-взаимодейтвиям при импульсе 40 ГэВ/с /45, Г54/. Было проведено изучение пред пред вторичных протонов в зависимости от их импульсов и внаружен эффект усиления корреляций с ростом импульсов прото-

Для исследования корреляций вторичных протонов были отобрар Ne-взаимодействия, в которых имелось два и более протонов импульсами 0.13 ≤ р ≤ 1.0 ГэВ/с. Общее число проанализированных е-взаимодействий с h_P ≥ 2 составило 2226.

§ 4. І. ДВУХПРОТОННЫЕ КОРРЕЛЯЦИИ.

Двухпротонные корреляции в р N е-соударениях исследовались помощью распределений по переменным

во составило не менее 100 твене. Норыкровка фонових и экспр-

$$d = |\Delta \vec{p}| = |\vec{P}_1 - \vec{P}_2| \qquad (4.1)$$

$$Q_2 = M_{2p} - 2m_p$$
 (4.2)

те рі и рі - вектора импульсов вторичных протонов;

- эффективная масса двух протонов;

- масса протона.

Переменные (4.1) и (4.2) при малых относительных импульсах протонов связаны соотношением

$$Q_2 \simeq d^2/4m_{\rm p} \tag{4.3}$$

Отметим, что в настоящем эксперименте среднеквадратичная шибка в определении d составила: 5d = 0.008 ГэВ/с в области 04d ≤ 0.2 ГэВ/с и 5d = 0.030 ГэВ/с при d > 0.2 ГэВ/с.

На рис. 4. І и 4. 2 представлены распределения отношений

$$R(a) = N_{akc}(a)/N_{apoh}(a)$$
 (4.4)

$$R(Q_2) = N_{HC}(Q_2)/N_{\Phi OH}(Q_2) \qquad (4.5)$$

пя протонов с разными импульсами. Здесь $N_{\rm экс}(d,Q_2)$ и $N_{\rm фон}(d,Q_2)$ - соответственно экспериментальные и фоновые растределения по указанным переменным.

Фоновые распределения $N_{\phi OH}(cl,Q_2)$ получались путем случайного перемешивания протонов (с учетом вводимых ограничений на мипульсы) из разных событий, но имеющих одинаковое число протонов в конечном состоянии. Тем самым учитывалась небольшая, но истематическая разница в импульсных и угловых спектрах протонов в р N_{e} —соударениях с различным N_{e} (см. § 3.6). В каждом из триведенных на рис.4. I и 4.2 распределений число фоновых комбинаций составило не менее 100 тысяч. Нормировка фоновых и экспениментальных распределений по N_{e} 0 и N_{e} 0 проводилась на общую пловадь при N_{e} 1 гэВ/с и N_{e} 2 проводилась на общую плобусловлено тем, что при N_{e} 4 соответственно. Это обусловлено тем, что при N_{e} 4 смакс и N_{e} 6 ганцартная двухчастичная корреляционная функция N_{e} 6 гандартново ожидается равной нулю /III, II2/.

Из рис.4. I и 4.2 видно, что в области малых d (или Q_2) экспериментальные и фоновые распределения отличаются — это

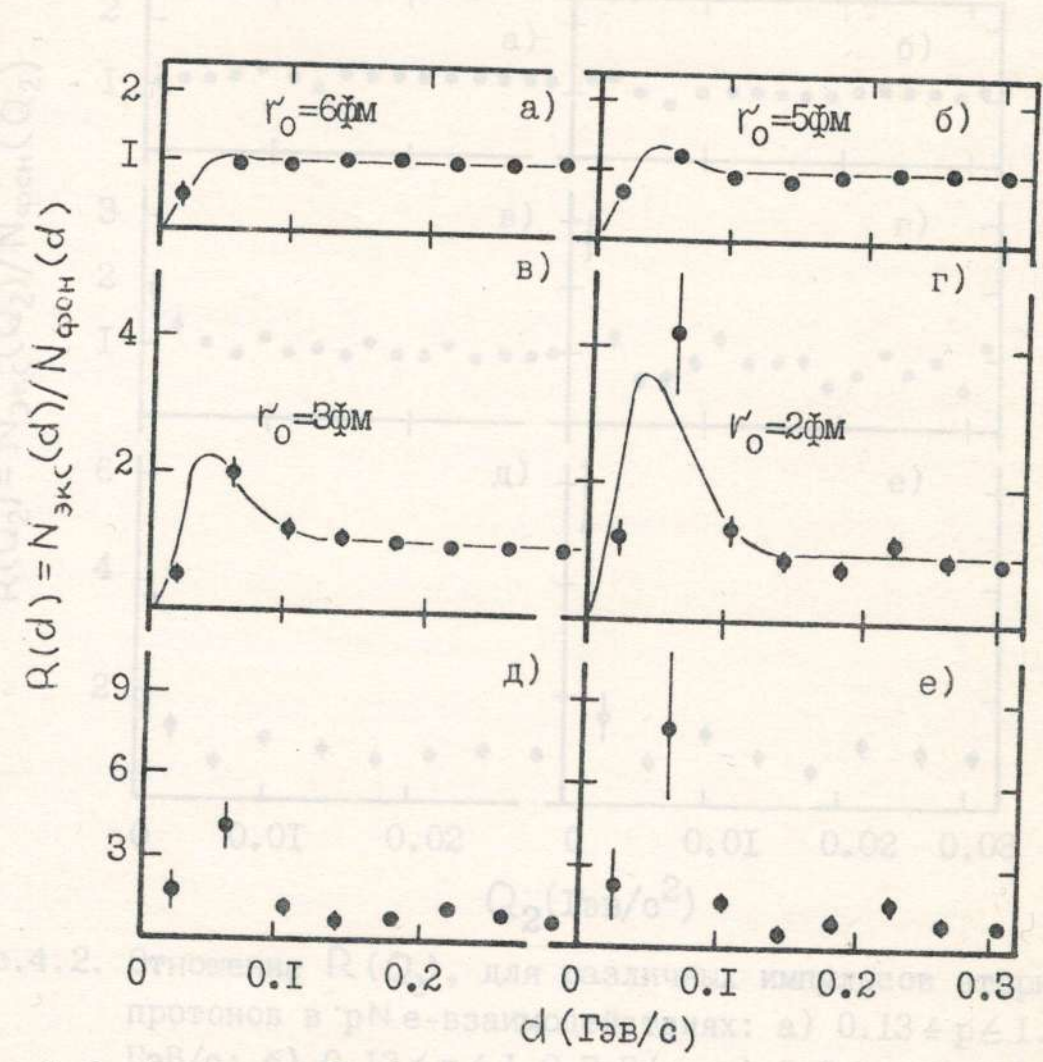


Рис.4.І. Отношение R(d), для различных импульсов вторичных протонов в pNe-взаимодействиях: a) $0.13 \le p \le 0.2$ ГэB/c; б) $0.13 \le p \le 1.0$ ГэB/c; в) $0.2 \le p \le 1.0$ ГэB/c; г) $0.3 \le p \le 1.0$ ГэB/c; д) $0.4 \le p \le 1.0$ ГэB/c; е) $0.5 \le p \le 1.0$ ГэB/c. Кривые – теоретические расчеты для разных размеров r_0 источников протонов (см., текст и работу /III/).

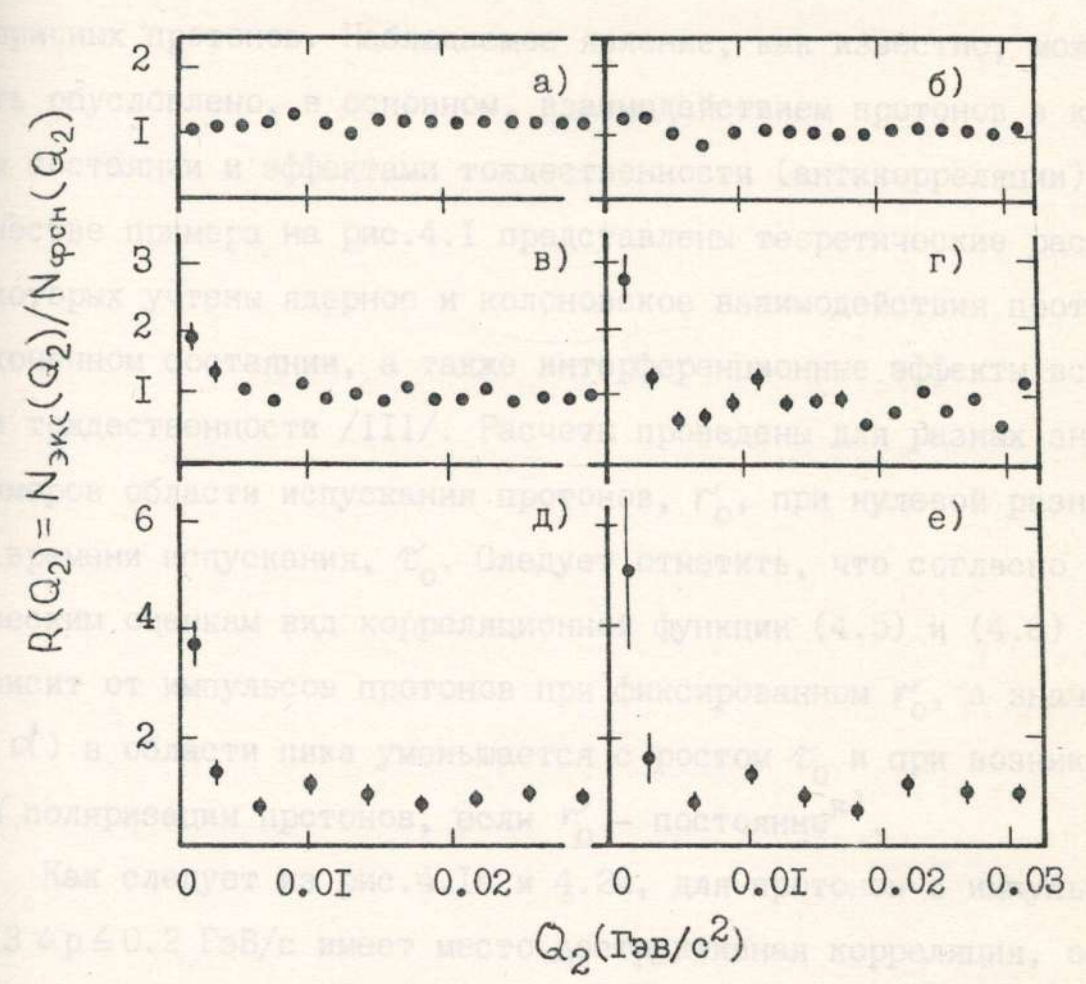


Рис.4.2. Отношение $R(Q_2)$, для различных импульсов вторичных протонов в pN е-взаимодействиях: a) $0.13 \le p \le 1.0$ ГэВ/с; б) $0.13 \le p \le 1.0$ ГэВ/с; в) $0.2 \le p \le 1.0$ ГэВ/с; г) $0.3 \le p \le 1.0$ ГэВ/с; д) $0.4 \le p \le 1.0$ ГэВ/с; е) $0.5 \le p \le 1.0$ ГэВ/с.

вторичных протонов. Наблюдаемое явление, как известно, может быть обусловлено, в основном, взаимодействием протонов в конечном состоянии и эффектами тождественности (антикорреляции). В вачестве примера на рис. 4. I представлены теоретические расчеты, в которых учтены ядерное и колоновское взаимодействия протонов в конечном состаянии, а также интерференционные эффекты вседствии тождественности /III/. Расчеты проведены для разных значений размеров области испускания протонов, Γ_0 , при нулевой разнице во времени испускания, \mathcal{C}_0 . Следует отметить, что согласно теоретическим оценкам вид корреляционной функции (4.5) и (4.6) слабо зависит от импульсов протонов при фиксированном Γ_0 , а значение Γ_0 0 в области пика уменьшается с ростом Γ_0 0 и при возникновении поляризации протонов, если Γ_0 0 — постоянно

Как следует из рис.4. Іа и 4.2а, для протонов с импульсами 0.13 \leq р \leq 0.2 ГэВ/с имеет место деструктивная корреляция, обусловленная главным образом кулоновским отталкиванием и эффектами тождественности. Наилучшее согласие с теоретическими расчетами получается при $V_0 = 6$ ферми, что, вообще говоря, не удивительно, так как протоны, имеющие импульсы р \leq 0.2 ГэВ/с являются в основном "испарительными" или продуктами распада возбужденных осколном

На кривые, показанные на рис. 4. I, не введена поправка, связанная с погрешностями определения d. Анализ показывает, что учет ошибок приводит к небольшому "размазыванию" (уменьшению) пика в области $d \leq 0$. I ГэВ/с. Таким образом, указанные на рис. 4. I значения размеров области испускания протонов на самом деле являются верхней границей оценки V_0 .

тояния порядка диаметра ядра неона, т.е. ~6 ферми /I53/*)

Для более энергичных протонов (p > 0.2 ГэВ/с), как следует рис.4. I(б-е) и 4.2(б-е), корреляции усиливаются, если сравните с теоретическими расчетами /III/ - это может свидетельство- об уменьшении характерных размеров области испускания про-

Эффект усиления корреляций с увеличением импульсов протонов штляднее продемонстрирован на рис. 4.3а, где показаны проинтегришванные в области 0 \(\leq d \) \(\leq 0.1 \) ГэВ/с значения R (d) в зависимости среднего импульса протонов. Для сравнения на рис. 4.3б показатеоретическая кривая интегральных значений R (d) в области \(\leq 0.1 \) ГэВ/с как функция размеров области испускания протонов Из сравнения экспериментальных данных и теоретических растов можно видеть, что верхняя граница значения V для протонов средними импульсами, например, \(\leq p \rightarrow \) 0.8 ГэВ/с составляет \(\leq 1 \div 1.3 \) ферми, что существенно меньше размеров ядра неона.

Обнаруженный в настоящей работе эффект усиления двухпротонжи корреляций был сопоставлен нами с данными по п⁻С-взаимодейстжим при 40 ГэВ/с, исследуемых в 2 метровой пропановой пузырьково жиере ЛВЭ ОИЯИ (Дубна)**). Следует отметить, что в этом экспериенте протоны эффективно идентифицировались в более узком импуль-

См., сноску на стр.28.

Использованный экспериментальный материал получен сотрудниеством АББВДКМСТТУ-БХ /45, I54/. Показанные на рис. 4.4 и 4.3в занные основаны на анализе 3424 п⁻С-взаимодействий, в которых реется два и более идентифицированных протона.

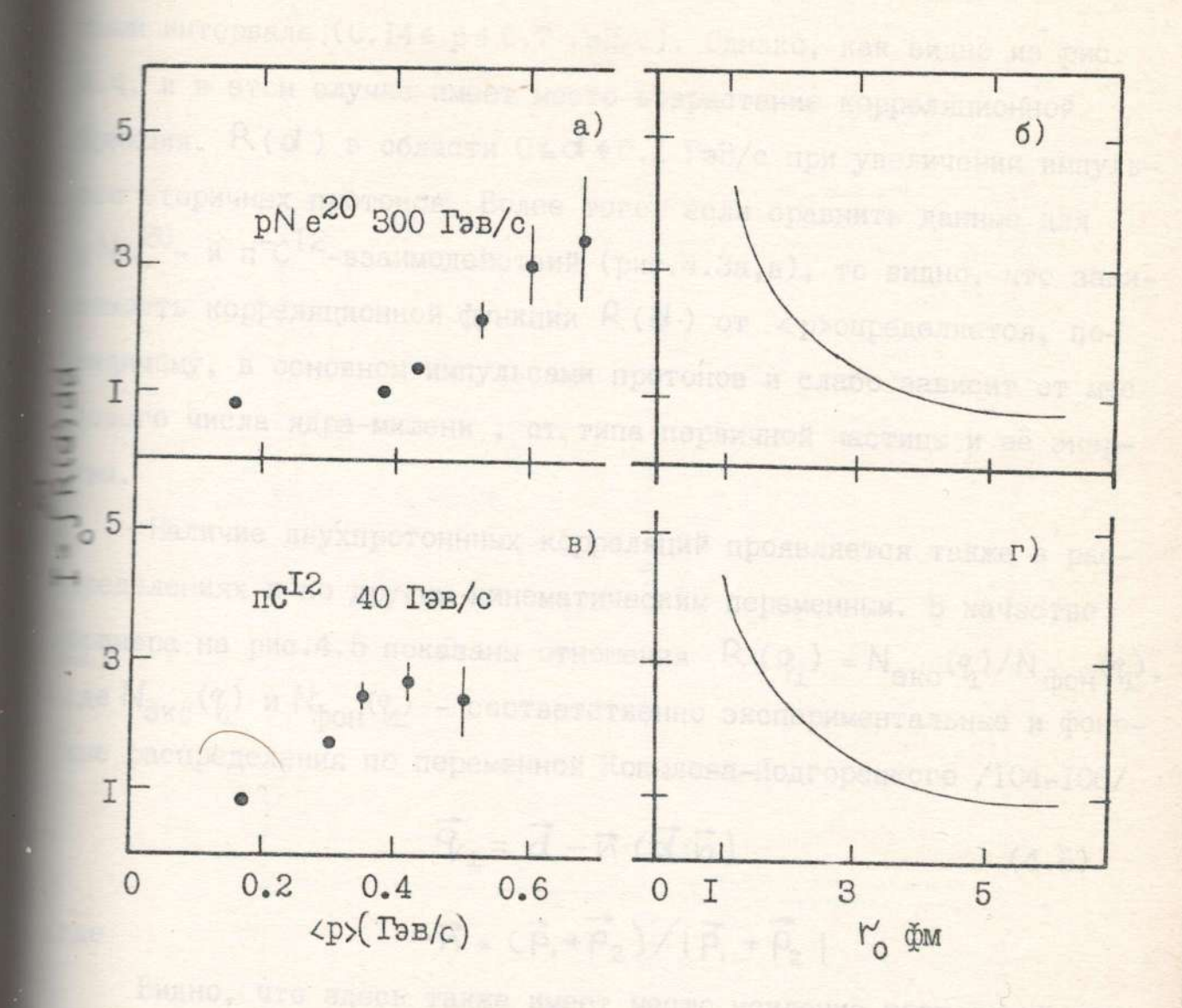


Рис.4.3. Значения R(d), проинтегрированные в области 0 ≤ d ≤ 0.1 ГэВ/с, для р N е-взаимодействий (а) и п С 2 взаимодействий (в) как функция от: среднего значения импульсов вторичных протонов (эксперимент) – а,в; размера области испускания протонов (теоретические расчеты /III/) - б,г.

сном интервале (0.14 \le p \le 0.7 ГэВ/с). Однако, как видно из рис. 4.4, и в этом случае имеет место возрастание корреляционной тункции R(d) в области $0 \le d \le 0.1$ ГэВ/с при увеличении импульсов вторичных протонов. Более того, если сравнить данные для P^{20} и P^{-12} взаимодействий (рис.4.3а,в), то видно, что зависимость корреляционной функции P^{-12} от P^{-12} от ср>определяется, повидимому, в основном импульсами протонов и слабо зависит от массового числа ядра-мишени, от типа первичной частицы и её энергии.

Наличие двухпротонных корреляций проявляется также в распределениях и по другим кинематическим переменным. В качестве примера на рис.4.5 показаны отношения $R(Q_L) = N_{\rm SKC}(Q_L)/N_{\rm фон}(Q_L)$, где $N_{\rm SKC}(Q_L)$ и $N_{\rm фон}(Q_L)$ — соответственно экспериментальные и фоновые распределения по переменной Копылова-Подгорецкого /104-106/

$$\vec{q}_{\perp} = \vec{d} - \vec{n} (\vec{d} \cdot \vec{n}) \tag{4.6}$$

где

Видно, что здесь также имеет место усиление корреляций протонов с ростом их импульсов.

Кривые, показанные на рис.4.5, соответствуют расчетам Ледницкого и Любощица /II2/, проведенным для разных размеров области испускания протонов V_0 и в предположени, что разница во временах испускания протонов составляет $C_0 = I$ ферми. Следует отметить, что расчеты, выполненые в /II2/, отличаются на 20-30% от результатов работы Кунина /III/ при одинаковых значениях V_0 и C_0 .

В заключение подчеркнем, что двухпротонные корреляции проявляются также и в угловых спектрах. Как видно из рис. 4.6 в распределениях по разнице азимутальных углов протонов, $\xi = (g_1 - g_2)$

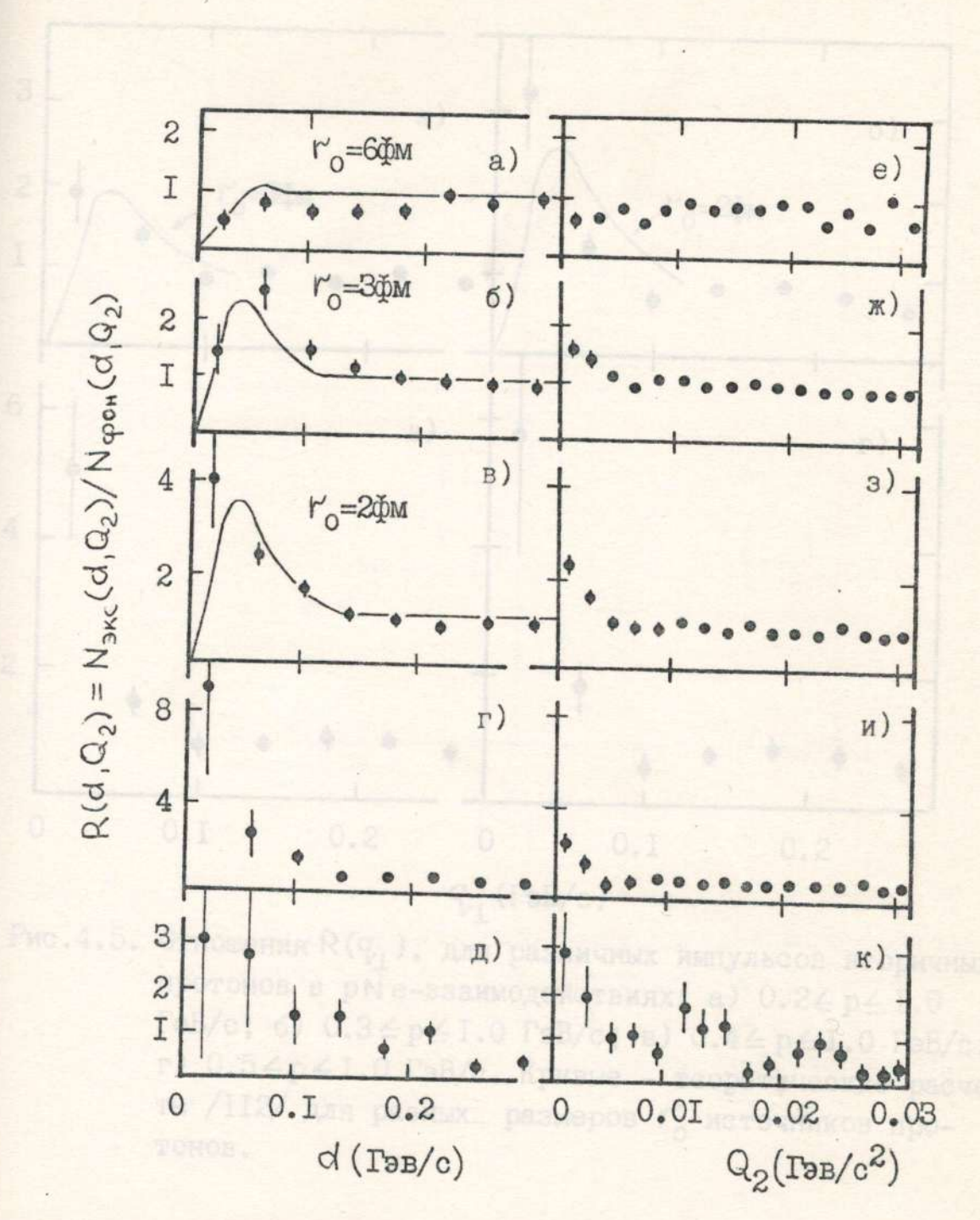


Рис.4.4. Отношения R(d) и $R(Q_2)$ для различных импульсов вторичных протонов в п C^{I2} -взаимодействиях при импульсе 40 ГэВ/с: a,e) $0.14 \le p \le 0.2$ ГэВ/с; б,ж) $0.14 \le p \le 0.7$ ГэВ/с; в,з) $0.2 \le p \le 0.7$ ГэВ/с; г,и) $0.3 \le p \le 0.7$ ГэВ/с; д,к) $0.4 \le p \le 0.7$ ГэВ/с. Кривые – теоретические расчеты /III/ для разных размеров r_0 области испускания протонов.

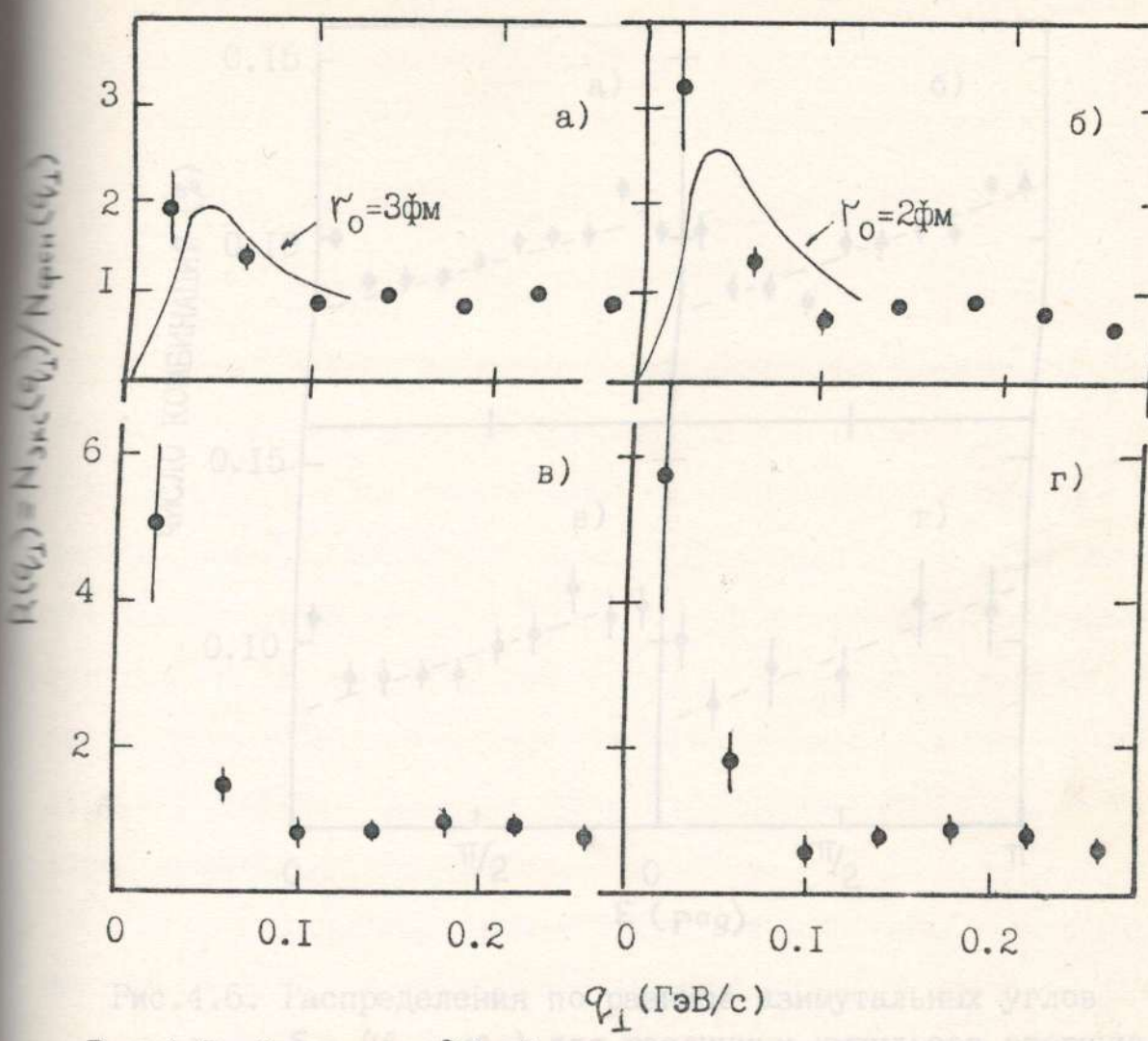


Рис. 4.5. Отношения $R(q_1)$, для различных импульсов вторичных протонов в pNe-взаимодействиях: а) $0.2 \le p \le 1.0$ ГэВ/с; б) $0.3 \le p \le 1.0$ ГэВ/с; в) $0.4 \le p \le 1.0$ ГэВ/с; г) $0.5 \le p \le 1.0$ ГэВ/с. Кривые – теоретические расчеты /II2/ для разных размеров V_0 источников протонов.

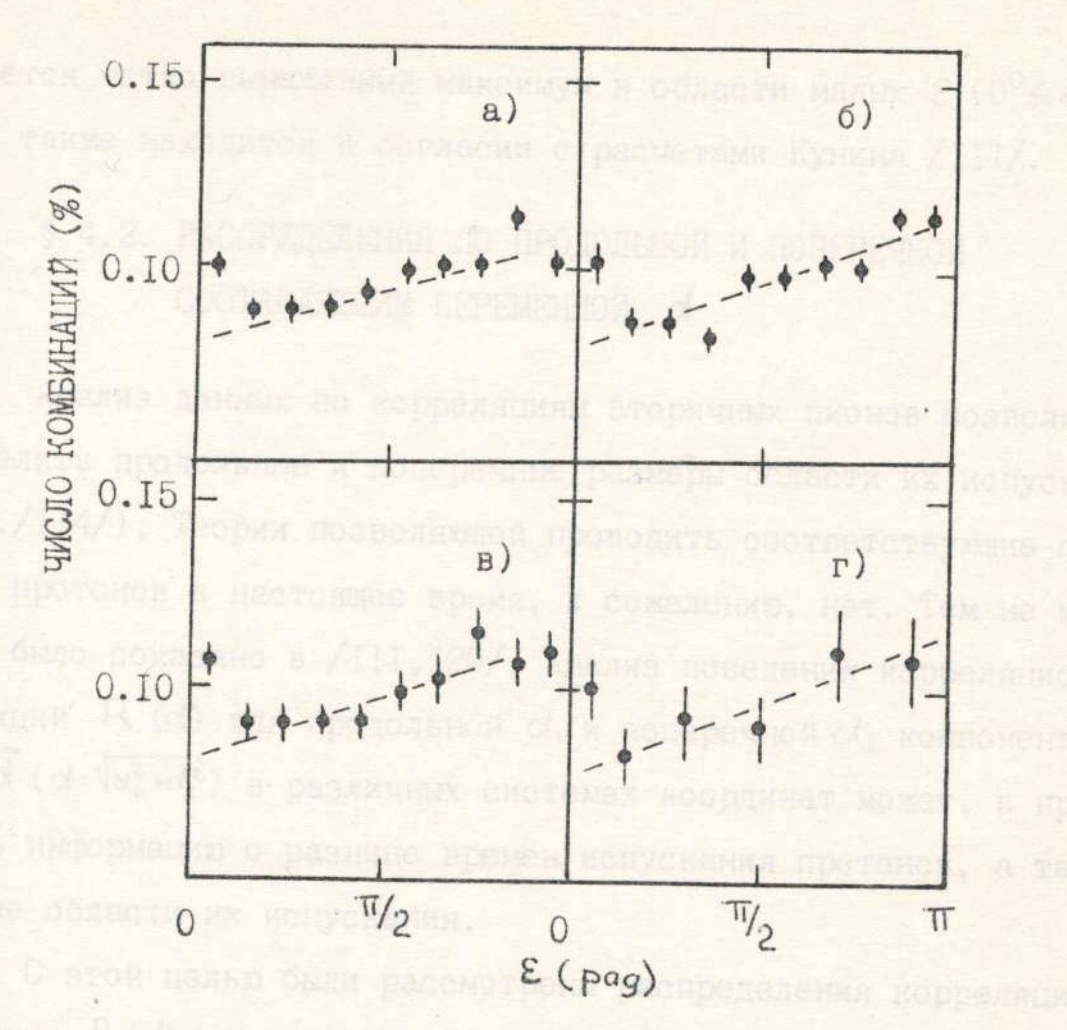


Рис.4.6. Распределения по разнице азимутальных углов $\mathcal{E} = (\mathcal{G}_{\bar{1}} - \mathcal{G}_{\bar{2}})$ для различных импульсов вторичных протонов в рNе-взаимодействиях: а) $0.2 \le p \le 1.0$ ГэВ/с; б) $0.3 \le p \le 1.0$ ГэВ/с; в) $0.4 \le p \le 1.0$ ГэВ/с; г) $0.5 \le p \le 1.0$ ГэВ/с. Штриховые линии проведены для наглядности.

имеется четко выраженный максимум в области малых ξ (0° \leq ξ \leq 18°), что также находится в согласии с расчетами Кунина /III/.

§ 4.2. РАСПРЕДЕЛЕНИЯ ПО ПРОДОЛЬНОЙ И ПОПЕРЕЧНОЙ СОСТАВЛЯЮЩИМ ПЕРЕМЕННОЙ d.

Анализ данных по корреляциям вторичных пионов позволил определить продольные и поперечные размеры области их испускания (см./II4/). Теории позволяющей проводить соответствующие оценки для протонов в настоящее время, к сожалению, нет. Тем не менее, как было показано в /III, I20/, анализ поведения корреляционных функций R (d) для продольной d_{η} и поперечной d_{\perp} компонент вектора \overrightarrow{d} ($d = \sqrt{d_{\parallel}^2 + d_{\perp}^2}$) в различных системах координат может, в принципе, дать информацию о разнице времен испускания протонов, а также о форме области их испускания.

С этой целью были рассмотрены распределения корреляционной тункции R(d) в зависимости от продольной d_{\parallel} и поперечной d_{\perp} компонент векторной разницы d. При этом распределения по d_{\parallel} и d_{\perp} строились в двух системах координат. В первом случае, величины d_{\parallel} и d_{\perp} определялись по отношению к вектору импульса первичного протона \overline{p}_{0} , а во-втором по отношению к суммарному вектору импульсов двух протонов \overline{S} . Схематически это пояснено на рис. 4.7.

Для того, чтобы уменьшить вклад фоновых событий, распределения по \mathcal{A}_{\perp} строились при условии $\mathcal{A}_{\parallel} \leq 0.1$ ГэВ/с, тогда как $\mathcal{A}_{\parallel} -$ распределения строились при условии $\mathcal{A}_{\perp} \leq 0.1$ ГэВ/с. Аналогичные критерии были введены также при получении фоновых распределений по \mathcal{A}_{\parallel} и \mathcal{A}_{\perp} .

На рис. 4.8 представлены отношения $R(d_L) = N_{\rm экс}(d_L)/N_{\rm фон}(d_L)$ (гистограммы) и $R(d_{ij}) = N_{\rm экс}(d_{ij})/N_{\rm фон}(d_{ij})$ (точки) для р $N = N_{\rm экс}(d_{ij})/N_{\rm фон}(d_{ij})$

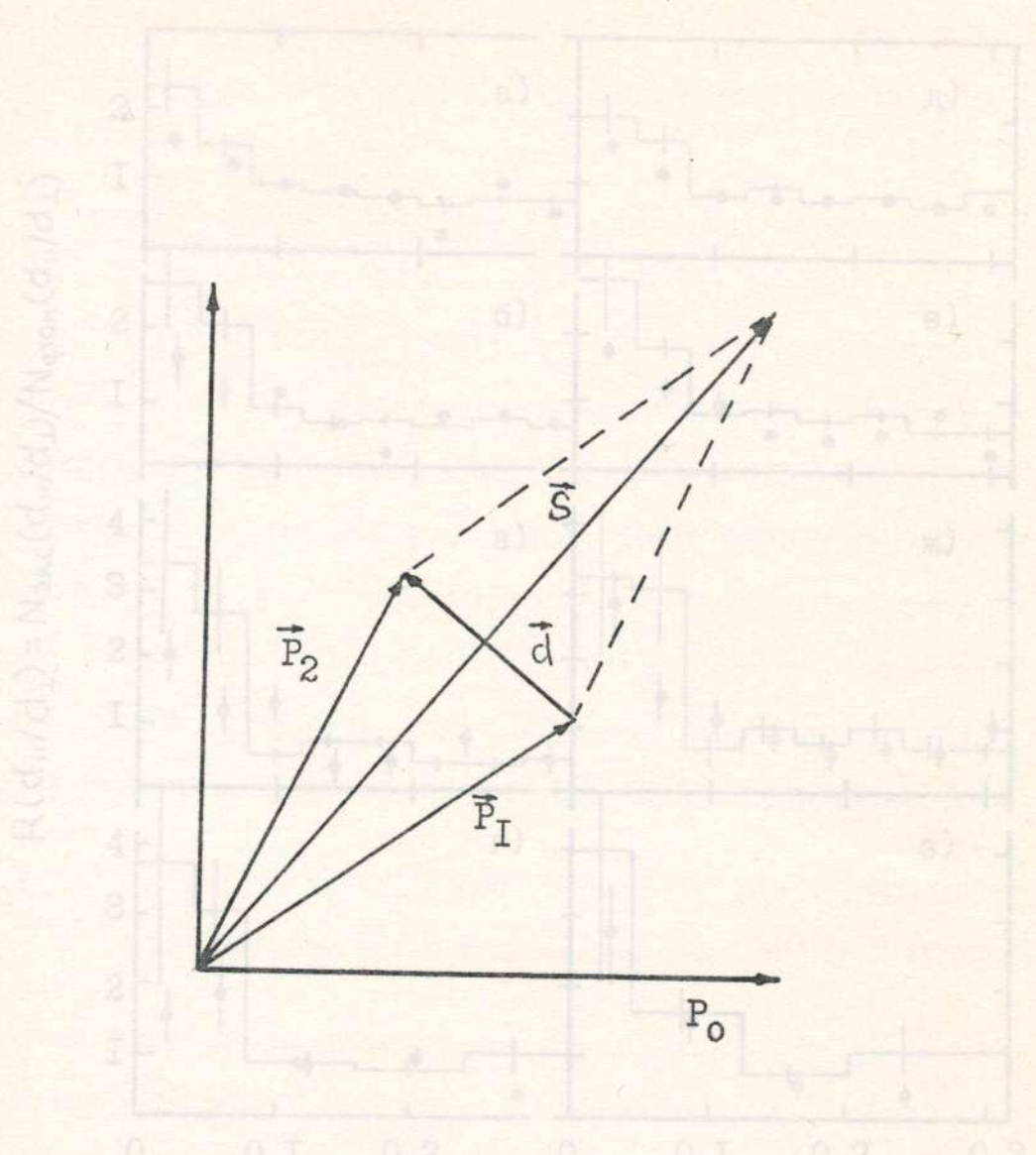


Рис. 4.7. Связь переменных \vec{d} , \vec{S} и p_0 .

Отношения $R(d_n)$ и $R(d_1)$ для различных инпульово вторичных протонов: a,a) $0.2 \le p \le 1.0$ ГаВ/с; b,e) $0.3 \le p \le 1.0$ ГаВ/с; e,x) $0.4 \le p \le 1.0$ ГаВ/с; e,x) $0.5 \ge p \le 1.0$ ГаВ/с. Гистограмия $-R(d_1)$ — расправления, точки $-R(d_n)$. Дамине на рис.(a-r) — проежция d_n выбрама на направление вентора суммарного импульса S; (A-a) — проежция d_n важине вентора перавичного протона D_n .

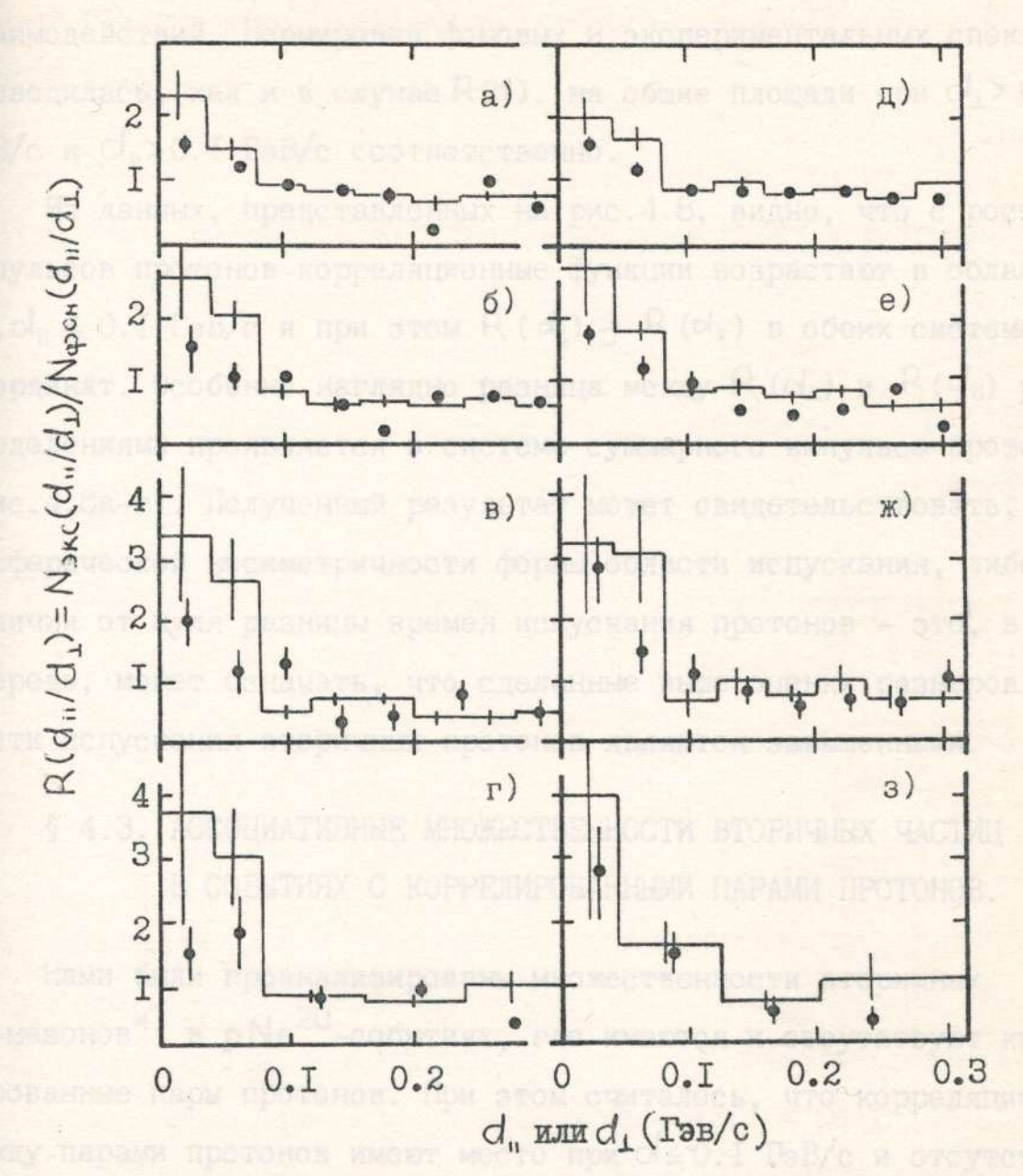


Рис. 4.8. Отношения $R(d_{\parallel})$ и $R(d_{\perp})$ для различных импульсов вторичных протонов: a, d) $0.2 \le p \le 1.0$ ГэВ/с; 6, e) $0.3 \le p \le 1.0$ ГэВ/с; 6, e) $0.3 \le p \le 1.0$ ГэВ/с; 6, e) $0.5 \le p \le 1.0$ ГэВ/с. Гистограммы $-R(d_{\perp})$ — распределения, точки $-R(d_{\parallel})$. Данные на рис. (a-r) — проекция d_{\parallel} выбрана на направление вектора суммарного импульса S; (d-s) — проекция d_{\parallel} взята на направление вектора первичного протона p_0 .

одилась, как и в случае R(d). на общие площади при $d_1 > 0.1$ и $d_1 > 0.1$ ГэВ/с соответственно.

Из данных, представленных на рис. 4.8, видно, что с ростом воов протонов корреляционные функции возрастают в области $d \leq 0.1$ ГэВ/с и при этом $R(d_1) \geq R(d_1)$ в обеих системах динат. Особенно наглядно разница между $R(d_1)$ и $R(d_1)$ раселениями проявляется в системе суммарного импульса протонов A.8a-r). Полученный результат может свидетельствовать, либо берической несиметричности формы области испускания, либо об ичии от нуля разницы времен испускания протонов – это, в свою редь, может означать, что сделанные выше оценки размеров обети испускания вторичных протонов являются завышенными.

§ 4.3. АССОЦИАТИВНЫЕ МНОЖЕСТВЕННОСТИ ВТОРИЧНЫХ ЧАСТИЦ В СОБЫТИЯХ С КОРРЕЛИРОВАННЫМИ ПАРАМИ ПРОТОНОВ.

Нами были проанализированы множественности вторичных —мезонов*) в р Ne^{20} -событиях, где имеются и отсутствуют коррежанные пары протонов. При этом считалось, что корреляции парами протонов имеют место при $d \le 0.1$ ГэВ/с и отсутству—для событий с d > 0.1 ГэВ/с. Это предположение, как видно рис.4.1, достаточно приемлемо, так как вклад фона при $d \le 0.1$ В/с не превышает 30% для протонов с импульсами $(0.2 \div 1.0)$ В/с и составляет менее 20% для протонов в импульсном интерва— $(0.4 \div 1.0)$ ГэВ/с.

В таблице 4. I приводятся средние множественности п-мезонов

1) Из-за примеси быстрых протонов (p>I.2 ГэВ/с) положительные заряженные пионы не рассматривались (см., также /I5/).

в pNе-взаимодействиях, где имеются и отсутствуют двухпроше корреляции.

действиях с коррелированными (d ≤ 0.1 ГэВ/с) и без коррелированных (d > 0.1 ГэВ/с) пар протонов.

мульсы		A ₀ = 300 tab c	THERE ALSO BE
тотонов	MACKAR CRAM CEAN	THE STATES AND RES	
TaB/c)	0.2 ÷ 1.0	0.3 + 1.0	0.4 ÷ I.0
4 0.I	6.48 ± 0.50	7.II ± 0.73	7.32 ± 0.90
=>0.I	6.67 ± 0.12	6.90 ± 0.14	7.08 ± 0.18

Видно, что <ип-> практически не зависит от присутствия или тсутствия двухпротонных корреляций в событиях. Трудно объяснить результат, если предполагать, что наблюдаемые корреляции возникают между парами протонов, рождающихся в результате возбуждения и последующего распада когерентной трубки нуклонов.

Действительно, если первичная частица сталкивается с трубкой нуклонов внутри ядра (в простейшем случае состоящей из двух нуклонов) то за счет увеличения массы мишени $-m_{\rm t}(m_{\rm t}\simeq 0\,{\rm m}_{\rm N})$, где $m_{\rm N}-$ масса нуклона, N- число нуклонов в когерентной трубке) должна возрастать средняя множественность пионов. Допустимо сделать следующие простые оценки. В pp-взаимодействиях в области ускорительных энергий /155/ средние множественности вторичных заряженных частиц ворастают с полной энергией в с.ц.м. соударения

≥2m, Eo(E_O - первичная энергия), как:

$$\langle n_{ch} \rangle_{pp} = 1.17 + 0.3 \ln S + 0.13 (\ln S)^2$$
 (4.7)

BIN

$$\langle nch \rangle_{pp} = -4.45 + 1.99 ens + 8.16 s^{-1/2}$$
 (4.8)

В простейшем случае, при соударении с когерентной двухнукшенной системой, $m_4 \simeq 2 \, M_N$ и $S \simeq 4 \, M_N \, E_0$. Подставляя это в (4.7)

ши (4.8), получим, что при $E_0 = 300$ ГэВ средняя множественность заряженных частиц (или отрицательных пионов, т.к. $< n_{\overline{u}} - \rho_{\rho} = \frac{< n_{con} - \rho_{\rho} - 2}{2}$)

полжна возрасти на 20-22% по сравнению с протонной мишенью. Анапогичный вывод справедлив и для любой другой двухнуклонной мише(рр, ри, ии). Однако экспериментальные данные, как видно
таблицы 4.1, не подтверждают этого.

Интересно также отметить, что коррелированные пары протовы наблюдаются, в основном, в событиях с большой множественостью вторичных протонов. Для примера укажем, что средние мноветвенности вторичных протонов с импульсами $0.2 \le p \le 1.0$ ГэВ/с
в рNе-взаимодействиях с $n_p \ge 2$ составляют: $\langle n_p \rangle = 4.2 \pm 0.3$ при $d \le 0.1$ ГэВ/с и $\langle n_p \rangle = 2.91 \pm 0.05$ для событий с d > 0.1 ГэВ/с.

Отметим также, что анализ п $^-$ С-взаимодействий при 40 ГэВ/с привел к аналогичным результатам: $\langle n_\pi \rangle = 3.87 \pm 0.17$ в событиях с $\langle n_\pi \rangle = 3.67 \pm 0.03$ в событиях с $\langle n_\pi \rangle = 3.67 \pm 0.03$ в событиях с $\langle n_\pi \rangle = 3.02 \pm 0.11$ в событиях с $\langle n_\pi \rangle = 3.02 \pm 0.11$ в событиях с $\langle n_\pi \rangle = 3.02 \pm 0.01$ в событиях с $\langle n_\pi \rangle = 3.02 \pm 0.01$ гэВ/с.

§ 4.4. ТРЕХПРОТОННЫЕ КОРРЕЛЯЦИИ.

В настоящем параграфе приводятся результаты анализа трех-

$$p + 20 Ne - mp + X, m \ge 3$$
 (4.9)

при 300 ГэВ/с и в реакциях

$$\pi^- + ^{12}C - mp + X, m \ge 3$$
 (4.10)

при первичном импульсе 40 ГэВ/с.

Трехпротонные корреляции в (4.9) и (4.10) изучались с по-мощью распределений $N_{\rm acc}(Q_3)$ по переменной

$$Q_3 = M(3p) - 3mp$$
 (4.11)

где М(Зр) - эффективная масса трех протонов.

Фоновые распределения $N_{\Phi OH}(G_3)$ получались случайным перемешиванием протонов из разных событий, но при фиксированном им $(m \geqslant 3)$. Импульсы вторичных протонов были ограничены интервалами: $0.2 \le p \le 1.0$ ГэВ/с в реакциях (4.9) и $0.2 \le p \le 0.7$ ГэВ/с в реакциях (4.10).

На рис. 4.9а, б представлены отношения $Q(Q_3) = N_{\rm ЭКС}(Q_3) / N_{\rm фон}(Q_3)$ в зависимости от Q_3 в реакциях (4.9) и (4.10). В обоих случаях нормировка экспериментальных и фоновых распределений по

проводилась на общую площадь при $Q_3 > 0.03$ ГэВ/с². Выбор такой нормировки основан на проведенном анализе, который показал, что в пределах статистических погрешностей отношение $R(Q_3)$ постоянно и не зависит от Q_3 при $Q_3 > 0.03$ ГэВ/с².

Показанные на рис. 4.9 ошибки являются статистическими. Среднеквадратичная ошибка в определении Q_3 , зависящая от погрешностей измерения углов и импульсов вторичных протонов, оказалась равной $SQ_3 = 1.5 \text{ МэВ/с}^2$ при $Q_3 \leq 30 \text{ МэВ/с}^2$ в рN е-взаимодействиях

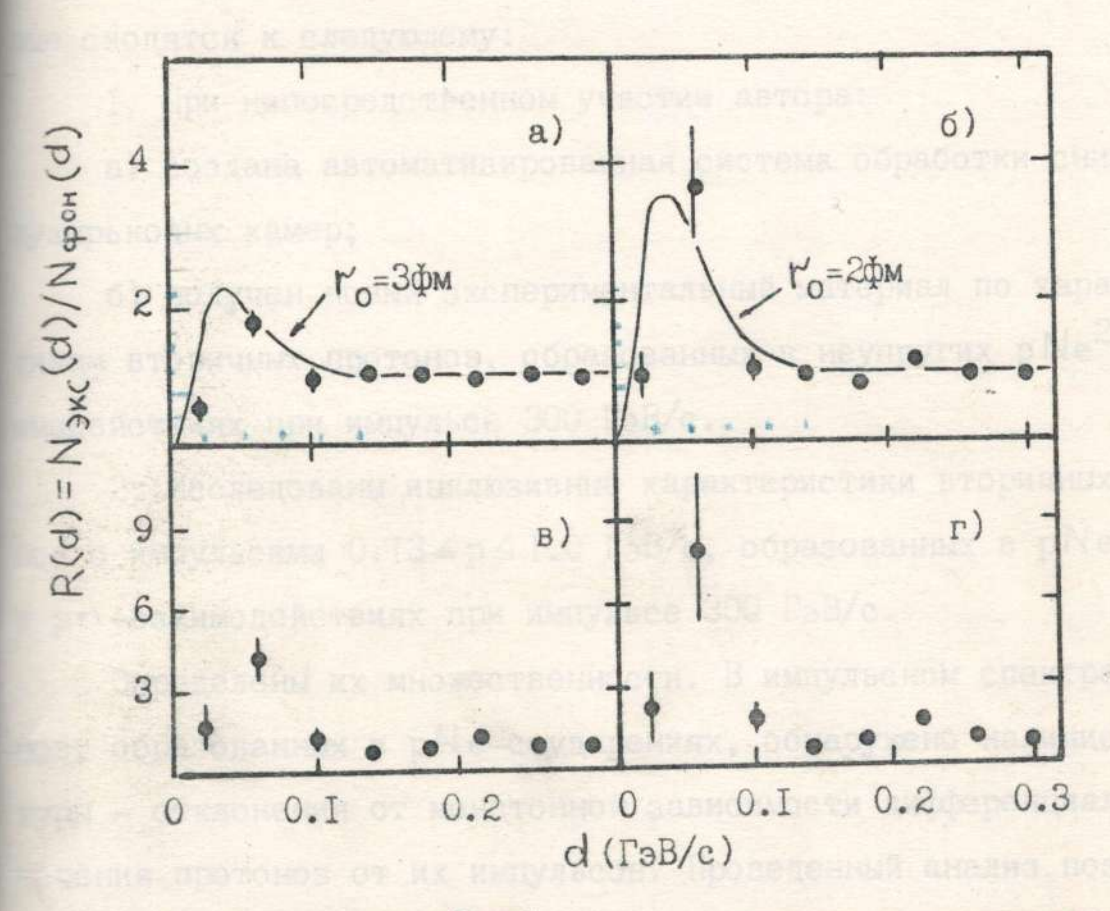
Как видно из данных, приведенных на рис. 4.9а, б в области $Q_2 \leq 0.03 \, \Gamma_9 B/c^2$ имеются отклонения экспериментальных распределений от фоновых как в р Ne^{20} -, так и в п $^-C^{12}$ -взаимодействиях. Этот результат указывает на существование трехпротонных корреляций в адрон-ядерных взаимодействиях.

2 (8) N=(8) N=(8)

Рис.4.9. Отношения $R(Q_3)$, для pNe-взаимодействий (а) и π^-C^{12} -взаимодействий (б).

Напомним, что трехпротонные корреляции с теоретической точви зрения не рассматривались. Учитывая это, а также ограниченность статистического материала, в настоящей работе мы воздерживаемся от возможной интерпретации полученных результатов.

В заключение отметим, что в область $Q_3 \le 0.03 \, \Gamma_9 \text{B/c}^2$ дают вклад сравнительно медленные протоны, имеющие импульсы $0.2 \le p \le 0.4 \, \Gamma_9 \text{B/c}$. Укажем также, что вклад трехпротонных корреляций в двухпротонные незначителен — исключение событий с $Q_3 \le 0.03 \, \Gamma_9 \text{B/c}^2$ практически не меняет, как это видно из рис. 4.10 корреляционную функцию R(A).



ЗАКЛЮЧЕНИЕ.

В заключение сформулируем основные результаты работы, кото-

- I. При непосредственном участии автора:
- а) создана автоматизированная система обработки снимков с пузырьковых камер;
- б) получен новый экспериментальный материал по характеристикам вторичных протонов, образованных в неупругих р Ne²⁰-вза-имодействиях при импульсе 300 ГэВ/с.
- 2. Исследованы инклюзивные характеристики вторичных протонов с импульсами 0.13 ≤ p ≤ 1.0 ГэВ/с, образованных в pNe-, pp-и pм-взаимодействиях при импульсе 300 ГэВ/с.

Определены их множественности. В импульсном спектре протонов, образованных в р N е-соударениях, обнаружено наличие структуры — отклонения от монотонной зависимости дифференциального сечения протонов от их импульсов. Проведенный анализ позволил выделить вклады от трех механизмов, играющих, по-видимому, основную роль в образовании вторичных протонов: возбуждение остаточного ядра с последующим распадом на нуклоны ("испарительный" механизм), процессы внутриядерного перерассеяния и реакции образования кумулятивных протонов. Полученные данные также указывают на наличие ощутимого вклада процессов перерассеяния в образование протонов с импульсами, значительно превышающими фермиевские (р > 0.5 ГэВ/с).

Показано, что различие в формах импульсных распределений протонов в рNе- и рN-соударениях обусловлено в основном про- дольной составляющей импульсов. Исследованы корреляции между про- дольными и поперечными импульсами протонов и обнаружено, что в

соударениях пионов и протонов с легкими ядрами эти корреляции имеют скейлинговый характер. Получено указание на существование A-зависимости поперечных импульсов (при $p_{\perp}^2 \geqslant 0.5 \; \Gamma_9 B^2/c^2$) вторичных протонов в pNe-соударениях.

В угловых распределениях протонов в р Ne-взаимодействиях не обнаружено статистически обеспеченных особенностей, свойственных, например, процессам образования ядерных "ударных" волн. Установлено, что в интервале первичных энергий (4-300 ГэВ) зависимость коэффициента угловой ассиметрии от импульсов вторичных протонов имеет универсальный характер в соударениях пионов и протонов с легкими ядрами.

- 3. Исследованы инклюзивные характеристики протонов, вылетающих в заднюю полусферу в л.с.к. (кумулятивные протоны). Определены их множественности. Получено указание на существование зависимости от множественности импульсных спектров кумулятивных протонов при р >0.4 ГэВ/с. Данные эксперимента указывают на существование нерегулярности в угловых распределениях в области $100^{\circ} \le \Theta_{\text{даб}} \le 120^{\circ}$ в л.с.к. в событиях со множественностью кумулятивных протонов, равной 2. Показано, что наблюдаемая в настоящем эксперименте зависимость импульсных спектров кумулятивных протонов от угла их вылета находится в хорошем согласии с результатами других экспериментов.
- 4. Детально исследованы двух- и трехчастичные корреляции вторичных протонов с близкими импульсами в рNе-взаимодействиях при 300 ГэВ/с.
- а) Обнаружено, что двухпротонные корреляции усиливаются с ростом импульсов вторичных протонов. Этот результат, подтвержденный также на примере п⁻С-взаимодействий при 40 ГэВ/с, свидетельствует об уменьшении характерных размеров области испускания про-

- тнов с увеличением их импульсов. Впервые показано, что для протнов с импульсами р > 0.5 ГэВ/с характерные размеры области спускания оказываются существенно меньше размеров ядра мишени.
- б) Анализ распределений по продольным и поперечным компоентам векторной разницы импульсов коррелированных пар протонов вказывает на существование различия в формах корреляционных ункций, что может быть связано со сферической несиметричностью бласти испускания протонов или с отличием от нуля разницы во временах их испускания.
- в) Данные по ассоциативным множественностям вторичных пиовов в событиях с коррелированными парами протонов не согласуются с представлениями о рождении коррелированных протонов во взамодействиях первичной частицы с внутриядерными когерентными
 нуклонными системами.
- 5. Впервые получено указание на существование трехпротонных корреляций в адрон-ядерных соударениях.

Автор выражает глубокую благодарность академику АН УзССР С.А.Азимову за внимание и поддержку при выполнении настоящей диссертации и как соавтору ряда работ вошедших в неё.

Искренне признателен своим научным руководителям доктору физико-математических наук А.А.Юлдашеву и доктору физико-математических наук Б.С.Юлдашеву за чуткое руководство, постоянный интерес и стимулирующие обсуждения.

Мне доставляет удовольствие выразить свою признательность М.Л.Аллабердину, С.О.Едгорову, К.Р.Игамбердиеву, Ш.В.Иногамову, Е.А.Косоновскому, С.Л.Лутпуллаеву, К.Олимову, Х.А.Ризаеву, Т.П.Тарасовой, К.Т.Турдалиеву, Т.М.Усманову, которые принимали участие в работах, вошедших в настоящую диссертацию.

За большую помощь выражаю глубокую благодарность сотрудникам лаборатории множественных процессов ФТИ АН УзССР, где была выполнена настоящая работа: Т.С.Поповой-Груич, Н.Кузнецовой, Х.Вахитовой, Д.Джолдасовой, А.Кобиловой, Л.Груич и др.

Автор признателен Р. Ловеллесу за помощь в получении снимков с 30-дюймовой пузырьковой камеры.

. Выполаев И.Н. Кварки во взаимодействики допеснов и априма темих анергий с адражи. УФН, 134, (1981), 369-430.

и вознараниях при вырокой амергии. ЗЧАЯ, 12, (1981), 1070-15

William productio on muchal. Proprint Ref. 18-2780, thus,

nelbar W. N. Interaction of high coursy particles with newled

Otterlund I. Mich energy reactions on mucleur, Mucl. Phys.

0. Animow Sadar Cylonov E.O., Chargeov Galla, Oylenov U.G.

Otion. I dy Workshop Ultra-Unitativistic Nuclear Collisions.

E-0957, US-140, Coart 2005107, Berkly, 1979,

- Ставинский В.С. Экспериментальная проверка гипотезы кумулявного эффекта и кварк-партонная структурная функция ядра.
- атериалах УІ международного семинара по проблемам физики вымх энергий. Дубна, (1981), 205-213.
- Frankfurt L.L., Strikman M.I. High-energy phenomena. Shortnuclear structure and QCD. Phys.Rep., 76, (1981), 217-347.
- В. Лексин Г.А. Новые данные о свойствах глубоконеупругих ядер-
- реакций. В материалах УІ международного семинара по пробле-
- физики высоких энергий. Дубна, (1981), 213-223.
- Нагамия Ш. Корреляции частиц во взаимодействиях ядер с прошнами и ядрами. ЭЧАЯ, I4, (I983), 578-610.
- В. Азимов С.А.,...,Липин В.Д.,...,Юлдашев Б.С. Сечения и множественность вторичных частиц в р Ne-взаимодействиях при 300 ГэВ/с. 33, (1981), 169-182.
- Б. Азимов С.А.,...,Липин В.Д.,...,Юлдашев Б.С. Наблюдение двухтотонных корреляций в р Nе-взаимодействиях при 300 ГэВ/с. мсьма в ЖЭТФ, 36, (1982), 349-351.
- Т. Азимов С.А.,...,Липин В.Д.,..., Юлдашев Б.С. Корреляции вторичных протонов в р № 20-взаимодействиях при импульсе 300 гэВ/с. Препринт ФТИ I3-83-ФВЭ, Ташкент, I983; ЯФ, 38, (I983), I461-I471.
- 18. Аллабердин М.Л.,,..,Липин В.Д.,...,Юлдашев Б.С. Характеристити вторичных протонов в неупругих взаимодействиях протонов с ядрами неона и нуклонами при импульсе р = 300 ГэВ/с. Препринт ФТИ 15-83-ФВЭ, Ташкент, 1983.
- 19. Каримов Р.Х., Липин В.Д., Юлдашев А.А. Обработка фильмовой информации в режиме мультидоступа. Вопросы кибернетики, 84, (1976), 109-114, Ташкент.

- 20. Каримов Р.Х., Липин.В.Д.,..., Юлдашев Б.С. Просмотрово-измерительный комплекс для обработки фильмовой информации с пузырыковых камер. В сб. "Множественные процессы при высоких энергиях", Ташкент, изд. "ФАН", (1976), 256-263.
- 21. Липин В.Д., Усманов Т.М., Юлдашев А.А. Автоматизированная система обработки снимков с пузырьковых камер на базе ЭВМ М-222. Вопросы кибернетики, IIO, (1980), I4-20, Ташкент.
- 22. Аллабердин М.Л.,..,Липин В.Д.,.., Юлдашев Б.С. Особенности импульсных и угловых спектров кумулятивных протонов в р N е-вза-имодействиях при 300 ГэВ/с. Препринт ФТИ 17-83-ФВЭ, Ташкент, 1983; ЯФ, в печати.
- 23. Барашенков Б.С., Тонеев В.Д. Взаимодействие высокоэнергетических частиц и атомных ядер с ядрами. М., Атомиздат, 1968.
- 24. Мурзин В.С., Сарычева Л.И. Космические лучи и их взаимодействия. М., Атомиздат, 1968.
- 25. Azimov S.A.,.., Lipin V.D.,.., Yuldashev B.S. Multiplisiti of charged particles in \(\pi \) Carbon interactions from 4 to 40 \(\text{GeV/c.} \) Nucl. Phys., B107, (1976), 45-66.
- 26. Азимов С.А.,..,Липин В.Д.,..,Юлдашев Б.С. Множественное образование частиц в п⁻С-взаимодействиях при 4 ГэВ/с. ЯФ, 32, (1980), 1560-1568.
- 27. Гришин В.Г., Канарек Т., Симич Л. Оценка среднего числа релятивистских протонов образованных в π^{-12} С и многонуклонных взачимодействиях. Препринт ОИЯИ PI-8I-676, Дубна, 1981.
- 28. A.G.M.T. collaboration. Preprint FIAN, 3, Moscow, 1977.
- 29. Баюков Ю.Д., и др. Выходы нейтронов и протонов под углами 90° под действием п $^{\pm}$ -мезонов из ядер C, C_{\circ} , PG, U. $<math>P\Phi$, $P\Phi$,

- 30. Баюков Ю.Д., и др. Энергетическая зависимость выходов кумудятивных протонов и нейтронов в п⁻А-взаимодействиях. ЯФ, 34, (1981), 785-789.
- 3I. Yeager W.M., et al. Investigation of TNe and TNe interactons at 10.5 GeV/c. Phys.Rev., D16, (1977), 1294-1357.
- 32. Rees C.D., et al. Hadron prodaction in and neon interactions at 30 and 64 GeV/c. Z.Physic.C, 17, (1983), 95-103.
- 33. Whitmore J., et al. Study of approach to scaling and factomisation in fragmentation into Π^{\pm} . Phys.Lett., 60B, (1976), 211-214.
- 34. Elliot J.R., et al., Multiple pion productio in Ne collisions at 10.5 and 200 GeV. Phys.Rev.Lett., 34, (1975), 607-613.
- 35. Fortney L.R., et al. Papers N A2-91/1046, A2-94/1049 presented at the 18th Intern. Conf. on High Energy Physics, Tbillisi, 1976.
- 36. Azimov S.A., et al. In Proc. of Meeting on Nuclear Production at Very High Energies, Trieste, June, 1976.
- 37. Гулямов К.Г., Гулямов У.Г., Чернов Г.М. Экспериментальные данные по множественному рождению на ядрах. ЭЧАЯ, 9, (1978), 554-601.
- 38. Andersson B., Otterlund I., Stenlund E. On the correlation beetwen fast target protons and the number of hadron-nucleon collisions in high-energy ha-reactions. Phys.Lett, 73B, (1978), 343-346.
- 39. Andersson B., In Proc.7th International Colloquium on Multiparticle Production, Tuizing, 1976, 109-124.
- 40. Yuldashev B.S., et al. Multiplisitiy of charged particles in Toneon interactions at 25 and 50 GeV/c. Acta Phys. Pol., B9,

513-524;

- 4I. Faessler M.A., et al. Inelastic hadron-nucleus interactions at 20 and 37 GeV/c. Nucl. Phys., B157, (1979), 1-22.
- 42. Баюков Ю.Д., и др. Разделение вкладов глубоконеупругих процессов на основании данных об образовании протонов в реакциях рА рХ и п⁻А рХ. Препринт ИТЭФ-85, Москва, 1982.
- 43. Баюков Ю.Д., и др. Угловая зависимость выхода и формы спектра протонов образованных в рА взаимодействиях при 7.5 ГэВ/с. Препринт ИТЭФ-90, Москва, 1981.
- 44. Юлдашев Б.С. Взаимодействия нейтрино и антинейтрино высоких энергий с ядрами неона. В сб. "Взаимодействия частиц с ядрами при высоких энергиях", Ташкент, изд. "ФАН", 1981; см., также автореферат докторской диссертации, Ташкент, 1981.
- 45. Азимов С.А.,..,Липин В.Д.,..., Янчо Г. Изучение реакции п⁻С →рХ при импульсе 40 ГэВ/с. Препринт ОИЯИ РІ-902І, Дубна, 1975; ЯФ, 23, (1976), 987-993.
- 46. Ангелов Н., и др. Изучение реакции $\pi^- + {}^{12}\text{C}$ при $p_{\pi^-} = 40$ ГэВ/с. Препринт ОИЯИ I-I2I08, Дубна, I979; ЯФ, 33, (I98I), I90-I96.
- 47. Стругальский З., и др. Экспериментальное исследование столкновений пион-ксенон при З.5 ГэВ/с. Препринт ОИЯИ РІ-8368, Дубна, 1983.
- 48. Аношин Л.И., и др. Структура угловых распределений протонов испущенных в событиях с полным развалом ядра углерода п—мезонами с р = 40 ГэВ/с, ЯФ, 33, (1981), 164—167; см., также Ремякету L.P., Perry D.G. Phys.Rev.Lett., 35, (1975), 361—363; Siemiarchuk T., Zielinski R. Phys.Rev., C13, (1976), 2439—2450.

- 49. Baumgardt H.G., et al. Shock waves and Mach cones in fast nucleus-nucleus collisions. Z.Physik, A273, (1975), 359-371.
- 50. Гудима К.Г., Тонеев В.Д. Наблюдались ли ударные волны в ядерных соударениях? В материалах У Международного семинара по проблемам физики высоких энергий. Дубна, (1978), 361-369.
- 51. Басова Е.С., и др. Поиск ударных волн в ядро-ядерных соударениях. Письма в ЖЭТФ, 24, (1976), 257-260.
- 52. Ставинский В.С. Предельная фрагментация ядер кумулятивный эффект (эксперимент). ЭЧАЯ, 10, (1979), 949-995.
- 53. Алаканян К.В., и др. Угловая зависимость выхода кумулятивных протонов, образованных в XA-взаимодействиях при $E_8^{max} = 4.5 \, \Gamma_9 B$. ЯФ, 37, (1983), 644-648.
- 54. Бургов Н.А., и др. Исследование инклюзивных реакций на ядрах с вылетом протонов назад в энергетическом интервале I.5-9.0 ГэВ/с. ЯФ, 24, (1976), II83-II88.
- 55. Охрименко Л.С. и др. Энергетические спектры протонов, испускаемых в п⁻Хе взаимодействиях при 3.5 ГэВ/с. Препринт ОИЯИ РІ-9692, Дубна, 1976.
- 56. Jakobsson J., et al. Proton emission in 58A and 86A MeV ¹²Cinduced heavy-ion reactions. Phys.Lett., 102B, (1981), 121-125.
- 57. Арефьев А.В., и др. Множественное образование адронов во взаимодействиях протонов и пионов с ядрами при 7 ГэВ/с. ЯФ, 28, (1978), 1534-1547.
- 58. Azimov S.A., et al. Nuclear Interactions of 21 GeV/c protons and 50 GeV/c negativ pions Emulsions exposed in strong magnetic field. Z.Physik, A300, (1981), 47-62.
- 59. Лейин Г.А. Новые данные о ядерном скейлинге. В Материалах У Международного семинара по проблемам физики высоких энергий.

- Дубна, 1978, 274-286.
- 60. Cronin J.W., et al. Production of hadrons at large transverse momentum at 200, 300, and 400 GeV. Phys.Rev., D11, (1975), 3105-3123; Donaldson J., et al. Phys.Rev.Lett., 36, (1976), 1110-1113.
- 61. Агакишев Г.Н., и др. Наблюдение барионов с большими поперечными импульсами во взаимодействиях с ядрами р, d, He. ЯФ, 37, (1983), 939-945; см., также Акименко С.А., и др., ЯФ, 26, (1977), 571-573; Абрамов В.В., и др. ЯФ, 31, (1980), 660-668.
- 62. Fredriksson S. On large transverse production in high-energy proton-nucleus collisions. Nucl. Phys., D111, (1976), 167-177.
- 63. Ефремов А.В. Поляризация в процессах с большим поперечным импульсом в кумулятивном рождении адронов. ЯФ, 28, (1978), 166-172.
- 64. Змушко В.В. А-зависимость инклюзивных сечений образования адронов при больших р в кварк-партонной модели. ЯФ, 32, (1980), 246-248.
- 65. Taminata I., et al. One and two protons inclusive spectra in 800 MeV proton-nucleus collisions and the mean free path of protons in nuclei. Phys.Lett., 100B, (1981), 121-125.
- 66. Taminata I., et al. Two-protons correlation measurements at 800 and 400 MeV/nucleon heavy-ion reactios. Phys.Lett., (1980) 363-367.
- 67. Ландау Л.Д., Беленький С.З. Гидродинамическая теория множественного образования частиц. Собрание сочинений Л.Д.Ландау изд., Наука, М., 1969, т. II, 259-302.
- 68. Розенталь И.А. Гидродинамическая теория множественных про-

- цессов. УФН, 116, (1975), 271-303.
- 69. Блохинцев Д.И. Замечания о применимости гидродинамического описания к квантовым системам. ЖЭТФ, 32, (1957), 350-352.
- 70. Тяпкин А.А. К статистической теории множественного рождения адронов. ЭЧАЯ, 8, (1977), 544-580.
- 7I. Afek Y., et al. The correlation-tube model for high energy particle-nucleus collisions and nucleus-nucleus collisions,

 Preprint Techion PH-76-87, Haifa, 1976.
- 72. Fredriksson S., Bergstrom L. Is the resently published countrproof of the tube model credible? Phys.Lett., 78B, (1978), 337-341.
- 73. Шуряк Э.В. О неупругих соударениях адронов с ядрами. ЯФ, 24. (1976), 630-640.
- 74. Жиров О.В., Шуряк Э.В. Простая модель коллективных эффектов в адрон-ядерных соударениях высоких энергий. ЯФ, 28, (1978), 485-495.
- 75. Елисеев С.М., Юлдашев Б.С. Нейтрино-ядерные взаимодействия и формирование вторичных частиц. Препринт ОИЯИ Р2-82-323, Дубна, 1982.
- 76. Барашенков В.С., и др. Механизмы взаимодействия быстрых частиц и легких ядер с ядрами. Препринт ОИЯИ Р2-12933, Дубна, 1979.
- 77. Nakamura T., et al. Multiparticle emission in the interactions of hadrons with complex nucleus at incident momenta from 2 to 4 GeV/c. Nucl. Phys., A365, (1981), 457-476.
- 78. Барашенков В.С., и др. Взаимодействие частиц и ядер высоких и сверхвысоких энергий с ядрами. УФН, IO9, (I973), 9I-I37.
 79. Artykov I.Z., Barashenkov B.S., Eliseev S.M. Inelastic interactions of cosmic ray particles with atomik nuclei at very

- high energies. Nucl. Phys., B3, (1966), 241-255.
- 80. Glayber R.I. Lecthere in Theoretical Phys. Int. New-York, 1959.
- 81. Грибов В.И. Глауберовские поправки и взаимодействия адронов с ядрами при высоких энергиях. ЖЭТФ, 56, (1969), 892-901.
- 82. Шабельский Ю.М., Юлдашев Б.С. Множественность вторичных частиц в п № е-взаимодействиях и модель многократного рассеяния. ЯФ, 31, (1980), 1646-1655.
- 83. Anisovich V.V., Shabelsky Yu.M., Shekhter V.M. Yelds of projectile fragments in hadron-nucleus interactions and the quark structure of hadrons. Nucl. Phys., B233, (1978), 477-489.
- 84. Шехтер В.М. Множественное рождение частиц в модели кварков. Труды ІУ Международного семинара по проблемам физики высоких энергий. Дубна, 1975, 277-307.
- 85. Cappella A., Krzywicki A. Theoretical model of hadron-nucleus interactions at high energies. Phys.Rev., D18, (1978), 3357-3371.
- 86. Nikolaev N.N., Ostapchuck A.Ya. Inelastic particle-nucleus interactions at high energies. Preprint Ref. TH-2541, Geneva, CERN, 1978.
- 87. Николаев Н.Н. Взаимодействие частиц высоких энергий с ядрами. В сб. Элементарные частицы. Тр.7-ой школы физиков ИТЭФ, М., Атомиздат, вып.2, 5-38.
- 88. Левченко Б.Б., Николаев Н.Н. Эксклюзивное описание множественного рождения на ядрах в кварковой модели. Взаимодействие кварков с ядрами. ЯФ, 37, (1983), 1016-1029.
- 89. Балдин А.М. Масштабная инвариантность адронных столкновений и возможность получения пучков частиц высоких энергий при реля-

- тивистском ускорении многозарядных ионов. Краткие сообщения пофизике, I, (1971), 35-39; см., также ЯФ, 20, (1974), I20I-I2I3. 90. Лукьянов В.К., Титов Л.И. Ядерные реакции с большой передачей импульса и гипотеза флуктонов в ядрах. ЭЧАЯ, I0, (1979), 818-849.
- 91. Копелиович В.Б. Образование релятивистских частиц на ядрах под большими углами и роль многократных процессов. ЯФ, 26, (1977), 168-180.
- 92. Amado R.D., Woloshin P.M. Mechanism for 180° proton production in energetic proton-nucleus collisions. Phys.Rev.Lett., 36, (1976), 1435-1457.
- 93. Frankel S. Quasi-two-body scailing a study of high momentum nucleons in nuclear meatter. Phys.Rev.Lett., 38, (1977), 1334-1341.
- 94. Weber H.J., Miller L.D. Backward proton productions and high-momentum components of nuclei. Phys.Rev., 16, (1977), 726-729.
- 95. Блохинцев Д.И. О флуктуациях ядерного вещества. ЖЭТФ, 33, (1957), 1295-1298; см., также Ефремов А.В. Кварк-партонная картина кумулятивного рождения. ЭЧАЯ, 13, (1982), 614-634.
- 96. Fyjita T. "Correlated Clasters" and inclusive spectra of energetic protons at 180° in proton-nucleus collisions.

 Phys.Rev.Lett., 39, (1977), 174-177.
- 97. Абдинов О.Б., и др. Образование кумулятивных протонов в пионуглеродных взаимодействиях при 5 ГэВ/с. Препринт ОИЯИ I-8373, Дубна, 1983.
- 98. Абдинов О.Б., и др. О механизме вылета протонов в заднюю полусферу в пион-углеродных взаимодействиях при 5 ГэВ/с. ЯФ, 30,

- (1979), 396-399.
- 99. Leksin G.A. Nuclear scaling. Proc. of the XVIII Int. conf. on high energy physics, Tbillisi, (1976); Preprint ITEP-147, Moscow, 1976.
- 100. Баюков Ю.Д., и др. Выходы протонов и нейтронов из легких ядер в том числе из изотопов лития и бора в рА- и пА-взаимодей-ствиях. Препринт ИТЭФ-8, Москва, 1983.
- IOI. Бургов Н.А., и др. Исследование поляризации кумулятивных протонов. Письма в ЖЭТФ, ЗІ, (1980), 700-704.
- IO2. Бургов Н.А., и др. Измерение поляризации кумулятивных протонов вылетающих под углами IIO^O и I35^O в лабораторной системе координат в реакции п⁻А −рХ при импульсе I.5 ГэВ/с. Првпринт ИТЭФ-7, Москва, I983.
- IO3. Belostotsky S.L., et al. Polarisation in inclusiv scattering of protons from nuclei at 1 GeV/c. Phys.Lett., 124B, (1983), 469-470.
- 104. Гришин В.Г., Копылов Г.И., Подгорецкий М.И. Интерференция частиц в процессах с участием возбужденных ядер. ЯФ, I4, (1971), 600-606; см., также ЯФ, I3, (1971), I16-I2I.
- 105. Копылов Г.И., Подгорецкий М.И. Множественное рождение и интерференция частиц, испускаемых движущимися источниками. ЯФ, 18, (1973), 656-667.
- IO6. Kopylov G.I. Like-particle correlations as a tool to study the multiple production mechanism. Phys.Lett., 50B, (1974), 472-473.
- 107. Hunbury-Brown R., Twiss R.Q. Nuture (London), 178, (1956), 1046. 108. Мигдал А.Б. Теория ядерных реакций с образованием медленых частиц. ЖЭТФ, 28, (1955), 3-9.

- IO9. Watson K.W. The effect of final state interactions on reaction cross-sections. Phys.Rev., 88, (1952), 1163-1171.
- IIO. Копылов Г.И. Интерференция тождественных частиц, которые взаимодействуют между собой. ЯФ, 25, (1977), IO9I-IIOI.
- III. Koonin S.E. Proton-pictures of High-Energy nuclear collisions. Phys.Lett., 70B, (1977), 43-47.
- II2. Ледницки Р., Любошиц В.Л. Влияние взаимодействия в конечном состаянии на парные корреляции частиц с малыми относительными импульсами. ЯФ, 33, (1981), I316-I328.
- II3. Siemiarchuk T., Zielinski P. Correlaited proton pairs in a high energy nuclear reaction. Phys.Lett., 24B, (1967), 675-676;
- Азимов С.А., и др. Изучение парных корреляций протонов в пионуглеродных взаимодействиях при импульсе 4.0 и 7.5 ГэВ/с. ЯФ, 19, (1974), 317-321.
- 114. Гришин В.Г. Многочастичные реакции при высоких энергиях.
 ЭЧАЯ, 10, (1979), 608-656.
- II5. Абдинов О.Б., и др. Изучение рр-корреляций в п⁻С-взаимодействиях при 5 ГэВ/с. ЯФ, 30, (1979), 1043-1046.
- II6. Горнов М.Г., и др. Пион-ядерные взаимодействия с образованием ∧-гиперонов и кумулятивных протонов. Препринт ОИЯИ, РІ-8055, Дубна, 1980; см., также Письма в ЖЭТФ, 28, (1978), 660-664; ЯФ, 25, (1978), 606-612.
- II7. Ангелов Н., и др. Двухчастичные корреляции вторичных протонов в π^{-12} С-взаимодействиях при 40 ГэВ/с. ЯФ, 32, (1980), I357-I363.
- II8. Баюков Ю.Д., и др. Исследование корреляций кумулятивных протонов с близкими импульсами, вылетающих из ядер АС, Сс, Рв. Препринт ИТЭФ-86, Москва, 1980; ЯФ, 34, (1981), 95-104.

- II9. Zarbakhsh F., et al. Correlation at small relativ momentum amang protons in collisions of 1-8 GeV/nucleon ⁴⁰Ar with KCl target. Phys.Rev.Lett., 46, (1981), 1268-1270.
- 120. Власов А.В., и др. Попытка определения формы области из которой вылетают кумулятивные протоны. Препринт ИТЭФ-53, Москва, 1981.
- 121. Баюков Ю.Д., и др. А-зависимость корреляций кумулятивных протонов с близкими импульсами. Препринт ИТЭФ-155, Москва, 1979.
- I22. Yuldashev B.S., et al. Fermilab Experimental Proposal N 504, Batavia, 1976.
- I23. Welfort W.I., et al. Buble Chamber Optics. Aplied Optics, 2, (1963), 20-25.
- I24. Leuts H., et al. Selected Physics Date on Neon Hydrogen Mixtures. Preprint CERN 74-20, Geneva, 1974.
- I25. Antinucoi M., et al. Multiplicities of charged particles up to ISR energies. Lett. Nuovo Cim., 6, (1973), 121-128.
- I26. Firestone A., et al. pp-interactions at 300 GeV/c; measurement of charged particle multiplicity and the total and elastic cross sections. Phys.Rev., D10, (1974), 2080-2083.
- I27. Boos E.G., et al. Diffractive coherent production in interactions of 400 GeV/c protons on emulsion nuclei. Nucl.Phys. B137, (1978), 37-45.
- I28. Carol A.S., et al. Absorption cross sections of Π^{\pm} , K^{\pm} , p and \bar{p} on nuclei between 60 and 280 GeV/c. Phys.Lett., 80B, (1979), 319-323.
- I29. Roberts T.J., et al. Inelastic neutron-nucleus cross sections from 160 to 375 GeV/c. Nucl. Phys., B157, (1979), 56-63;
 Nucl. Phys., B61, (1973), 62-76.

- I30. Sheng A., et al. Charged-particle multiplicity distribution in pd interactions at 300 GeV/c. Phys.Rev., D12, (1975), 1219-1230.
- 131. Абдуллаева К.А., Батраев С.П., Юлдашев А.А. Полуавтоматическое устройство для измерения снимков с пузырьковых камер.
- В сб. "Взаимодействие частиц высокой энергии с нуклонами и ядрами", изд. "ФАН", Ташкент, 1972, 192-197.
- 132. Усманов Т.М. Множественность вторичных частиц и инклюзивное рождение протонов в пион-углеродных взаимодействиях в интервале 4-40 ГэВ/с. Диссертация на соискание ученой степени канд., физ.-мат., наук, Ташкент, 1976.
- I33. Schwarzchild A., Zupancic C. Prodaction of tritons, deutrons, nucleons and mesons by 30 GeV protons on Al, Be and Fe targets. Phys.Rev., 129, (1963), 854-862;
- Frankel S., et al. Backward production of light ions in the interaction of 400 GeV protons with nuclei. Phys.Rev., 200, (1979), 2257-2266;
- Fimn J.E., et al. Nuclear fragment mass yields from high energy proton-nucleus interactions. Phys.Rev.Lett., 49, (1982), 1321-1325.
- I34. Крючкович Р.Я. Диспетчер ДМ-222. Техническое описание математического обеспечения ЭВМ М-222., Казань, 1972.
- 135. Материалы Второго Всесоюзного семинара по обработке физической информации., т.І,ІІ, Ереван, 1978; Тезисы Первого Всесоюзного семинара по автоматизации научных исследований в ядерной физике и смежных областях., Душанбе, 1980.
- 136. Марков Н.Ф., и др. Программа геометрической реконструкции треков измеренных на снимках с пузырьковых пропановых камер.

"I-6". Препринт ОИЯИ Р-IO-3768, Дубна, I968; Иванченко З.И., и др. Программа "2-4". Препринт ОИЯИ РI-II-3983, Дубна, I968.

I37. Лобанов Е.Б., Лян Б.И., Ташимов М.А. Анализ работы полу-автоматической системы для измерения и обработки трековой информации на базе ЭВМ БЭСМ-4. Препринт ИФВЭ 38-76, Алма-Ата, I976.

I38. Азимов С.А.,..., Липин В.Д.,..., Юлдашев Б.С. Множественность и корреляции вторичных протонов в адрон-ядерных взаимодей-

139. Элтон Л. Размеры ядер. М., ИЛ., 1962.

I40. Allaby J.V., et al. High energy particle spectra from proton interactions at 19.2 GeV/c. Preprint CERN, TH-70-12, Geneva, 1970:

ствиях при высоких энергиях. ЯФ, 33, (1981), 1562-1568.

Бондаренко А.М., и др. В кн. "Упругие и неупругие соударения большой энергии с нуклонами и ядрами", Ташкент, изд. "ФАН", 1975, 119-165; Гришин В.Г., и др. Исследование неупругих адрон-нуклон-ныхвзаимодействий при высоких энергиях в десятки и сотни гига-электроновольт. Препринт ОИЯИ, PI-82-531, Дубна, 1982.

I4I. Лутпуллаев С.Л., Юлдашев А.А., Юлдашев Б.С. Инвариантные свойства протонов, испущенных назад в лабораторной системе координат, в п⁻С-взаимодействиях при 4 и 40 ГэВ/с. ДАН УзССР, 3, (1980), 27-29.

142. Темников П.П., Шахбазян В.А. Испускание протонов назад в п⁻С и пС-взаимодействиях. Препринт ОИЯИ РІ-12139, Дубна, 1979. 143. Абдинов О.Б., и др. Инклюзивное распределение заряженных частиц в п⁻С-взаимодействиях при импульсе 5 ГэВ/с. Препринт ОИЯИ РІ-11820, Дубна, 1978.

I44. Findlay D.J., et al. The p-shell proton-momentym distribution in ¹⁶0 abov the fermi momentum. Phys.Lett., 74B, (1978), 305-308;

- Zabolitzky J.G., Ey W. Momentum distributions of nucleons in nuclei. Phys.Lett., 76B, (1978), 527-532.
- I45. Geaga J.W., et al. Observation of high momentum protons from limiting target fragmentation. Phys.Rev.Lett., 45, (1980), 1993-1996.
- I46. Андрейченко М.И., и др. Исследование импульсных распрелелений протонов, вылетающих назад в протон-ядерных взаимодействиях при энергии I ГэВ. Письма в ЖЭТФ, 37, (I983), 446-449.
- I47. Matthews J.L., et al. Short-range, high-momentum effects in the reactions $^{16}O(\chi,p)$ for E = 100-300 MeV. Phys.Rev. Lett., 38, (1977), 8-11.
- 148. Азимов С.А.,.., Липин В.Д.,.., Юлдашев Б.С. Изучение взаимодействий п—мезонов с ядрами углерода при импульсе 4 ГэВ/с. ЯФ, 28, (1978), 112-118.
- 149. Derrik M., et al. ANI/HEP 7332, Argon, 1973;
 нами также использованы данные измерений pp-взаимодействий при
 205 ГэВ/с, любезно присланные профессором М. Дерриком.
- I50. Leith D.W.G.S., in Proc. of Summer Institute on particle physics., v.1, SLAC Rep.N 179, Stanford, 1974; Whitmore J., NAL-Conf.-73/68-exp., Batavia, 1973.
- 151. Азимов С.А., и др. Общие характеристики протон- и пион-ядерных взаимодействий при 20-400 ГэВ/с с вылетом адронов в заднюю полусферу. ЯФ, 36, (1982), 906-914.
- I52. Baykov Y.D., et al. Backward production of protons in nuclear reactions with 400 Gev protons. Phys.Rev., 200, (1979), 764-772.
- 153. Бобченко Б.М., и др. Измерение полных неупругих сечений взаимодействий протонов с ядрами в диапазоне импульсов от 5 до

9 ГэВ/с и п мезонов с ядрами в диапазоне импульсов от I.75 до 6.3 ГэВ/с. ЯФ, 30, (1979), I553-I568.

154. Сотрудничество АБВВДКМСТТУ-БХ. Препринт ОИЯИ РІ-9792,Дубна, 1976; ЯФ, 24, (1976), 356-360.

I55. Albini E.L., et al. Mean charged hadron multiplisities in high-energy collisions. Nuovo Cim., 32A, (1976), 101-124.